

ՀԱՅԱՍՏԱՆԻ ԳԻՏՈՒԹՅՈՒՆՆԵՐԻ ԱԶԳԱՅԻՆ ԱԿԱԴԵՄԻԱՅԻ ԵՎ

ՀԱՅԱՍՏԱՆԻ ԱԶԳԱՅԻՆ ՊՈԼԻՏԵԽՆԻԿԱԿԱՆ ՀԱՄԱԼՍԱՐԱՆԻ

ՏԵՂԵԿԱԳԻՐ ИЗВЕСТИЯ

НАЦИОНАЛЬНОЙ АКАДЕМИИ НАУК АРМЕНИИ И
НАЦИОНАЛЬНОГО ПОЛИТЕХНИЧЕСКОГО УНИВЕРСИТЕТА
АРМЕНИИ

ՏԵԽՆԻԿԱԿԱՆ ԳԻՏՈՒԹՅՈՒՆՆԵՐԻ ՍԵՐԻԱ
СЕРИЯ ТЕХНИЧЕСКИХ НАУК

ԵՐԵՎԱՆ

ԵՐԵՎԱՆ

Журнал издается с 5.01.1948 г.
Выходит 4 раза в год

ԿԱՐՏԻՐՈՍՅԱՆ ԿՈԼԵԳԻԱ

Ռ.Մ. ՄԱՐՏԻՐՈՍՅԱՆ (գլխավոր խմբագիր), Հ.Ա. ԹԵՐՅԱՆ (գլխ. խմբ. տեղակալ),
Զ.Կ. ՍՏԵՓԱՆՅԱՆ (պատասխանատու քարտուղար), Ս.Գ. ԱՂԲԱԼՅԱՆ,
Ռ.Վ. ԱԹՈՅԱՆ, Վ.Վ. ԲՈՒՆԻԱՏՅԱՆ, Ժ.Դ. ԴԱՎԻԴՅԱՆ, Ս.Պ. ԴԱՎՏՅԱՆ, Ս.Մ. ԿԱԶԱՐՅԱՆ,
Ս.Մ. ՂԱԶԱՐՅԱՆ, Վ.Զ. ՄԱՐՈՒԽՅԱՆ, ՅՈՒ.Լ. ՍԱՐԳՍՅԱՆ, Վ.Ս. ՍԱՐԳԻՍՅԱՆ,
Ս.Հ. ՍԻՄՈՆՅԱՆ, Մ.Գ. ՇՏԱԿՅԱՆ, Վ.Ս. ԽԱՉԱՏՐՅԱՆ

РЕДАКЦИОННАЯ КОЛЛЕГИЯ

Р.М. МАРТИРОСЯН (главный редактор), А.А. ТЕРЗЯН (зам. глав. редактора),
З.К. СТЕПАНЯН (ответственный секретарь), С.Г. АГБАЛЯН,
Р.В. АТОЯН, В.В. БУНИАТЯН, Ж.Д. ДАВИДЯН, С.П. ДАВТЯН, С.М. КАЗАРЯН,
В.З. МАРУХЯН, Ю.Л. САРКИСЯН, В.С. САРКИСЯН,
С.О. СИМОНЯН, М.Г. СТАКЯН, В.С. ХАЧАТРЯН

EDITORIAL BOARD

R.M. MARTIROSSYAN (Editor-in-Chief), H.A. TERZYAN (Vice-Editor-in-Chief),
Z.K. STEPANYAN (Secretary - in - Chief), S.G. AGHALYAN,
R.V. ATOYAN, V.V. BUNIATYAN, Zh.D. DAVIDYAN, S.P. DAVTYAN,
S.M. GHAZARYAN, V.Z. MARUKHYAN, Y.U.L. SARGSYAN, V.S. SARKISSYAN,
S.H. SIMONYAN, M.G. STAKYAN, V.S. KHACHATRYAN

Հրատ. խմբագիր՝

ԺԱՌԱՆԱ ՍԵՅՐԱՆՅԱՆ

Համակարգչային շարվածքը
և ծնավորումը՝

ԼԻԼԻԹ ՄԱՐՏԻՐՈՍՅԱՆԻ

Խմբագիրներ՝

ԼԵՅԼԱ ՍՏԵՓԱՆՅԱՆ

ՆԵԼԼԻ ԱՆԱՅԱՆ

С.Г. АГБАЛЯН, Г.Х. КАРАПЕТЯН, А.А. ПЕТРОСЯН, А.С. АГБАЛЯН

КОМПАКТИРОВАНИЕ ИЗНОСОСТОЙКИХ АНТИФРИКЦИОННЫХ ПОРОШКОВЫХ МАТЕРИАЛОВ

Обоснована целесообразность компактирования износостойких антифрикционных порошковых материалов экструзией, работающих в условиях тяжелого нагружения в режиме сухого трения. Выявлен механизм процесса экструзии порошковых материалов, содержащих в структуре твердые смазывающие вещества.

Ключевые слова: порошок, прессование, пористость, экструзия, компактирование, смазывающие вещества, антифрикционный материал.

Теория и практика порошковой металлургии показывают, что какими бы большими ни были усилия формования и скорости их приложения, получить беспористый материал непосредственным (в состоянии насыпки) компактированием металлических порошков практически невозможно. Даже высокие температуры и длительное их воздействие не обеспечивают сплошности структуры. Полное компактирование металлических порошков может быть достигнуто только лишь поэтапно:

1. Предварительное формование их в пористую заготовку, со спеканием или без него.

2. Горячая обработка пористой заготовки давлением (формоизменение и уплотнение до $\theta \rightarrow 0$).

В связи с этим весьма эффективной является экструзия, которая не только обеспечивает формирование компактных структур, но и позволяет получить материал с повышенными физико-механическими и технологическими свойствами.

Исходя из вышесказанного, целью настоящей работы является исследование процессов компактирования износостойких антифрикционных порошковых материалов (ИАПМ) методами экструзии.

Жесткие требования к прессуемости, спекаемости и другим свойствам металлических порошков, зависящим от размеров и формы частиц, их физического состояния, предъявляемые при статическом прессовании без нагрева, утрачивают свое значение при горячей обработке, которая характеризуется большой скоростью и степенью деформации (60...90%). Процессы структурообразования в этом случае лимитируются не диффузией, как при обычном спекании, а высокотемпературной пластической деформацией частиц. Это значительно расширяет технологические возможности экструзии по компактированию порошков металлов и сплавов без строгого ограничения их свойств.

В работах [1-2] основные параметры экструзии рассматриваются только лишь на примерах однофазных материалов. Согласно [3], давление экструзии рассчитывают по формуле

$$P_0 = K b_B e^{R_f \ln \lambda p} \quad (1)$$

где K – коэффициент, равный 2,5 ... 3,5; b_B – предел прочности на разрыв при температуре экструзии, MPa ; f – коэффициент трения; L - длина заготовки; R_t – радиус контейнера (заготовки); $\lambda = F_k / F_m$ – коэффициент вытяжки; F_k – площадь поперечного сечения заготовки; F_m – площадь отверстия матрицы.

Для триботехнических материалов, относящихся к двух- и трехфазным структурам, формула (1) неприменима. Рассмотрим процесс экструзии сплавов, содержащих в качестве фазы твердые смазывающие вещества (рис. 1). Динамика процесса экструзии пористой заготовки с однофазной структурой состоит из четырех стадий (рис. 2). На первой стадии происходит уплотнение заготовки до 95...96 %. Соответственно, давление экструзии (P_0) и давление, возникающее в матрице (P_M), значительно возрастают, вследствие чего начинается вытеснение части металла в зону матричной воронки. На второй стадии P_0 и P_M достигают своих максимальных значений, заготовка уплотняется до 99...100%, т.е. практически до компактного состояния. На третьей стадии устанавливается ламинарное истечение металла из матрицы. Четвертая стадия является завершающей и отвечает нестационарному течению металла.

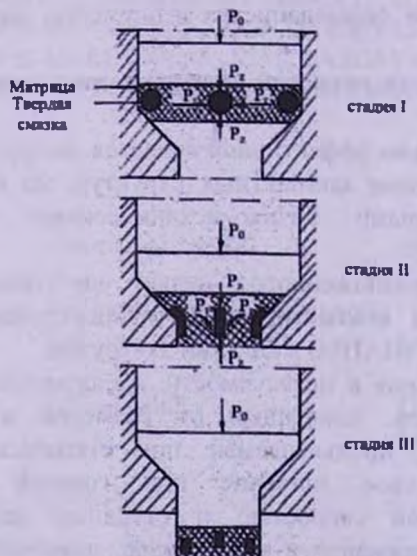


Рис. 1. Механизм процесса экструзии материала, содержащего в структуре твердые смазывающие вещества

Процессу экструзии материалов с многофазной структурой присущи иные закономерности. На первой стадии происходит уплотнение пористой заготовки до 93...95%, P_0 и P_m достигают максимальных значений. На второй стадии заготовка уплотняется до 97...98%, происходит поляризация концентраций напряжений (рис. 1, стадия II), превосходящих по величине предел текучести второй фазы и композиции в целом.

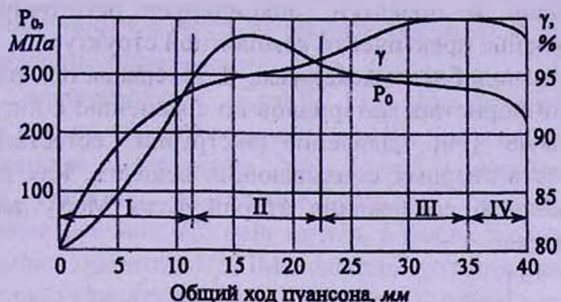


Рис. 2. Динамика уплотнения ИАПМ при экструзии пористой заготовки (материал Fe–Mo–MoS₂, $\lambda=4$)

В общем виде условие пластического деформирования характеризуется критерием пластичности:

$$f(b_1, K_n, q) = 0,$$

где b_i – компоненты тензора напряжений; K_n – параметр, определяющий свойства материала; q – коэффициент упрочнения.

Для наглядности f изображают в виде поверхности пластичности (в пространстве основных инвариантов тензора напряжений или главных напряжений b_1, b_2, b_3).

В теории пластичности компактных металлов используются в основном критерии пластичности Губера – Мизеса и Треска – Сен-Венана, с которыми в пространстве главных напряжений связаны поверхности пластичности в виде кругового цилиндра, равнонаклоненного к осям координат, и шестигранной призмы бесконечной длины, вписанной в этот цилиндр. Обе поверхности разомкнуты $b_1=b_2=b_3$ [4], т.е. компактные металлы неуплотняемы (несжимаемы).

Пористые металлы уплотняемы, т.е. сжимаемы. Поэтому поверхность пластичности пористых металлов должна быть замкнутой в направлении $b_1=b_2=b_3$. В литературе предложен ряд критериев пластичности, учитывающих эту особенность пористых материалов [5]. Лучшее согласие с экспериментом имеет критерий пластичности Куна и Дауни [6]:

$$f = \alpha I_1^2 + 3I_2' - \beta b_3^2 = 0,$$

где α, β – функции пористости; I_1 – первый инвариант тензора напряжений; I_2' – первый инвариант девиатора напряжений.

Критерию пластичности соответствует поверхность пластичности в виде эллипсоида вращения, равнонаклоненного к осям координат. При $\alpha=0$ и $\beta=1$ критерий пластичности переходит в критерий Губера – Мизеса.

В [7, 8] предложена обобщенная теория пластичности пористого тела, основанная на концепции среднеквадратичных вязких напряжений и скоростей деформации, развитой в [9].

Именно наличие девиатора напряжений, присущих только лишь процессам экструзии и прокатки, ликвидирует остаточную пористость и обеспечивает получение практически компактной структуры.

Правильность подобного механизма подтверждается выводом о том, что давление экструзии пористых материалов по сравнению с литыми материалами на 20...25% меньше [10]. Давление экструзии, естественно, зависит от количества и свойств твердых смазывающих веществ. Как видно из рис. 3, с увеличением объемного содержания второй фазы MoS_2 давление экструзии заметно уменьшается.

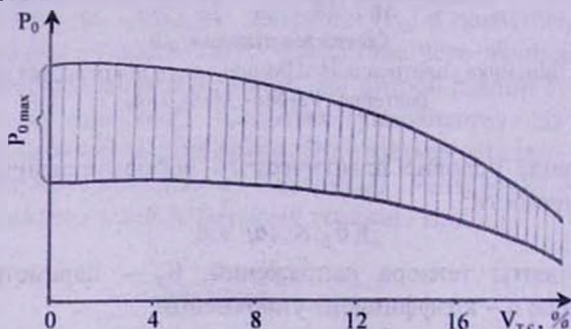


Рис. 3. Зависимость давления экструзии от содержания твердой смазки (материал – трехфазный ИЛПМ, твердая смазка – MoS_2)

Математической обработкой результатов экспериментов получена формула для расчета давления экструзии, учитывающая влияние второй фазы:

$$P_0 \geq K \left[(1-m) \bar{\sigma}_s e^{2f_l R_s} \cdot \ln \lambda + m \bar{\sigma}_{II\phi} e^{2f_l D R} \cdot \ln \frac{D^2}{R^2} \right], \quad (2)$$

где m – относительное содержание второй фазы; $\bar{\sigma}_s$ – предел прочности основной фазы при растяжении (при температуре экструзии); $\bar{\sigma}_{II\phi}$ – предел прочности второй фазы при растяжении в процессе экструзии; f_l – коэффициент трения второй фазы с основной фазой; D , R – соответственно диаметр и радиус зерна второй фазы.

Поскольку у антифрикционных материалов коэффициент трения (f_l) и предел прочности ($\bar{\sigma}_{II\phi}$) обычно меньше, чем у материала матрицы, то, естественно, давление экструзии будет меньше.

Как известно, основными факторами, непосредственно влияющими на процесс экструзии, являются: T , – температура нагрева, τ , – продолжительность нагрева, λ – коэффициент вытяжки, α_m – угол матрицы, V , – скорость экструзии. По результатам предварительных экспериментов нами выбрана математическая модель типа

$$\sigma_b = c \left(\frac{T_b}{100} \right)^x \tau^y \lambda^z, \quad (3)$$

где σ_b – предел прочности ИАПМ на разрыв, MPa ; c , x , y , z – неизвестные параметры, подлежащие определению.

Располагая зависимостью $\sigma_b = f(T_b, \tau, \lambda)$, можно оптимизировать параметры экструзии, но не прогнозировать свойства. Эксперименты показали, что экструдированные материалы не всегда приобретают наилучшие триботехнические свойства, выявление которых связано с проведением испытаний на трение и износ. На наш взгляд, к числу важных свойств, позволяющих качественно оценить ИАПМ, следует отнести внутреннее трение, являющееся основным структурно-чувствительным параметром.

Результаты исследований показали, что кривые внутреннего трения получают максимальные значения только при определенных деформациях (рис. 4), при которых материал приобретает наилучшие триботехнические свойства.

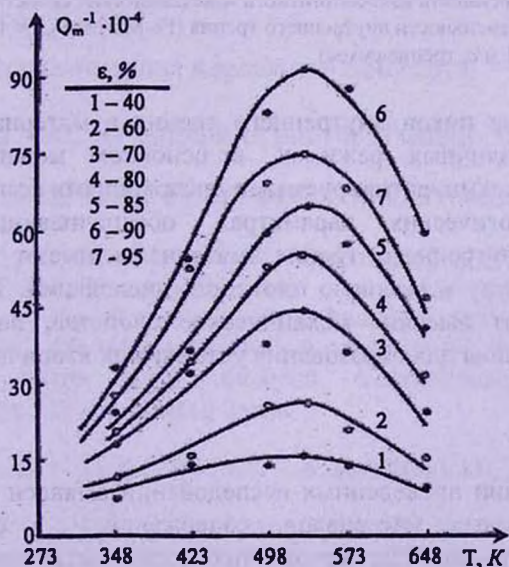


Рис. 4. Изменение интенсивности внутреннего трения от температуры при различных степенях деформации (Fe-Mo-MoS₂)

На рис. 5 показано изменение износостойкости материала в зависимости от пиков внутреннего трения. Как видно, с увеличением пиков износостойкость возрастает.

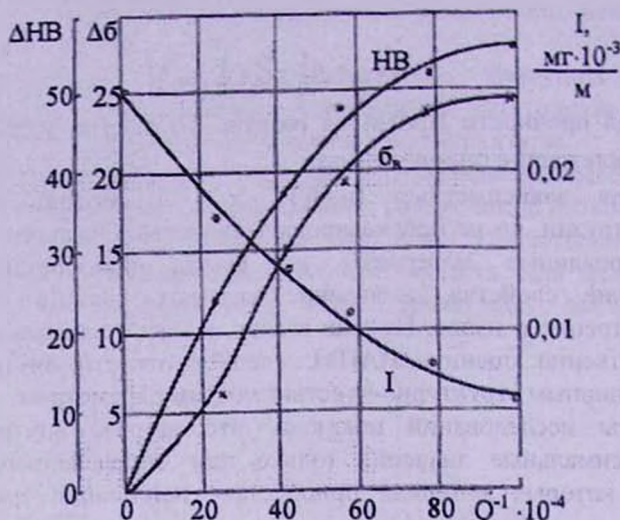


Рис. 5. Зависимость износостойкости и механических свойств НАПМ от интенсивности внутреннего трения (Fe-Mo-MoS₂, Q=1 MPa, V=1 м/с, трение сухое)

Возникновение пиков внутреннего трения в материалах, подвергшихся экструзии при различных режимах, в основном можно объяснить диффузионными процессами, активируемыми дислокациями большой плотности.

При технологических параметрах, обеспечивающих максимальные значения пиков внутреннего трения, материалы имеют более однородную химическую структуру и высокую плотность дислокаций. Такие материалы не только приобретают высокие механические свойства, но в них создаются благоприятные условия для образования устойчивых вторичных структур.

Выводы

1. На основании проведенных исследований выявлен механизм процесса экструзии порошковых материалов, содержащих в структуре твердые смазывающие вещества. Параметры процесса экструзии зависят как от механических свойств исходных компонентов, так и от объемного содержания структурных составляющих.

2. Выявлено, что кривые внутреннего трения получают максимальные значения только при определенных деформациях, при которых материал приобретает наилучшие триботехнические свойства.

СПИСОК ЛИТЕРАТУРЫ

1. Петросян Л.Г. Деформационная теория пластичности пористых материалов // Известия вузов. Сер. Машиностроение.- 1978.-№ 11.- С. 5 - 8.
2. Напряженно-деформированное состояние пористых композиционных материалов при сжатии / Н.В. Манукян, Г.Л. Петросян, Б.Ц. Минасян и др. // Порошковая металлургия.-1982.- № 1.- С. 84 - 88.
3. Манукян Н.В. Технология порошковой металлургии.- Ереван: Айастан, 1986.- 231 с.
4. Малинин Н.Н. Прикладная теория пластичности и ползучести.- М.: Машиностроение, 1975.- 399 с.
5. Лаптев А.И. Критерии пластичности пористых металлов // Порошковая металлургия.-1982.- № 7.- С. 12 - 18.
6. Kuhn H.A., Dawney C.L. Deformation characteristics and plasticity theory of sintered powder materials // Int. J. Powder met.- 1971.- 7, № 1.- P. 15 - 25.
7. Мартинова И.Ф., Штерн М.Б. Уравнение пластичности пористого тела, учитывающее истинные деформации материала основы // Порошковая металлургия.- 1978.- №1. - С. 23-29.
8. Феноменологические теории прессования порошков / М.Б. Штерн, Г.Г. Сердюк и др.-Киев: Наукова думка, 1982.- 140 с.
9. Скороход В.В. Реологические основы теории спекания.- Киев: Наукова думка, 1972.-148 с.
10. Аghбalyan C.G. Теоретические и технологические основы формирования структуры и свойств порошковых материалов при экструзии: Автореф. дис. ... докт. техн. наук.- Ереван, 1992.- 33 с.

ГИУА (П). Материал поступил в редакцию 26.09.2010.

Ա.Գ. ԱՂԲԱԼՅԱՆ, Գ.Խ. ԿԱՐԱՊԵՏՅԱՆ, Ա.Ա. ՊԵՏՐՈՍՅԱՆ, Ա.Ս. ԱՂԲԱԼՅԱՆ

ՍԱՀԱԿԱՅՈՒՄ ՀԱԿԱԾՓԱԿԱՆ ՓՈՇԵՎՈՒԹԵՐԻ ԽՏԱՑՈՒՄԸ

Դիմնավորվել է չոր շինան և ծանր բեռնվածության պայմաններում աշխատող մաշակայուն հակաշփական փոշենյութերի՝ տաք արտամղմանը խուացնան նպատակահարմարությունը: Բացահայտվել է կառուցվածքում պինդ քսանյութեր պարունակող փոշենյութերի տաք արտամղման գործընթացի մեխանիզմը:

Առանցքային բառեր. փոշի, մամլում, ծակուտկենյություն, արտամղում, խուացում, քսանյութեր, հակաշփական նյութ:

S.G. AGHBALYAN, G.X. KARAPETYAN, A.A. PETROSYAN, A.S. AGHBALYAN

COMPACTION WEARPROOF ANTIFRACTIONAL POWDER MATERIALS

The expediency compaction wearproof antifrictional powder material extrusion for dry friction working in the conditions of heavy loading is proved. The power material extrusion process mechanism containing in the structure of solid greasing substances is revealed.

Keywords: powder, pressing, porosity, extrusion, compaction, greasing substances, antifriction material.

353 669.21/23

ନେତ୍ରବିକାଳର ପରିଚୟ

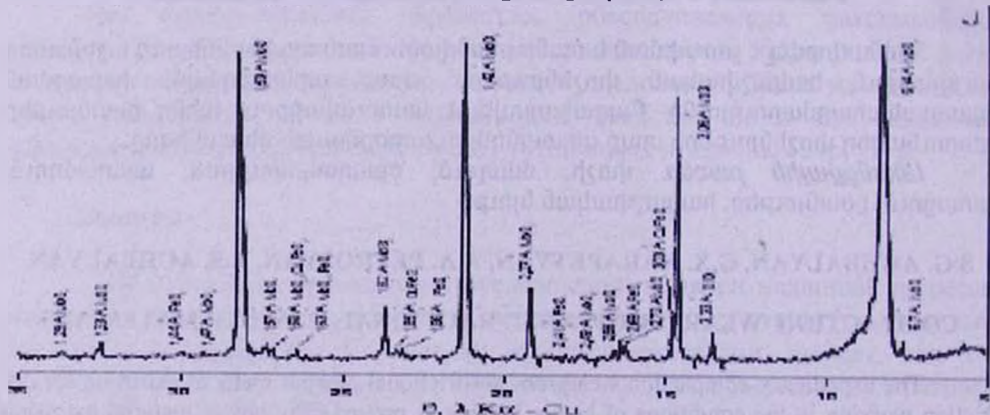
ԼԵ. ԱՐԳԱՎԱՆ, Վ.Ս. ՆՎԱՍԱՆՐԴՅԱՆ, Ա.Ա. ՔՈՎՃԱՆՆԻՒՅՑՅԱՆ,
Գ.Ա. ՇԱՀՆԱԶԱՐՅԱՆ

ՊՂՆՉԻ ԵՎ ԵՐԿԱԹԻ ՀԱՍՏԵՐ ԿՈՐԶՈՒՄ Mo/Fe/Cu/S
ԽՏԱՅԱՅԻԹԻՑ ՔԻԴՐՈԳԼՈՐԱՅԻՆ ՏԱՐՐԱԼՈՒԾԱՆ ԵՐԱՆԱԿՈՎ

Հետազոտվել է Mo/Fe/Cu/S միասնական խտանյութից հիդրօքլորային տարրալուծման եղանակով պղնձի ու երկարի համատեղ կորզման գործընթացը։ Ցույց է տրվել այրիտի կատալիտիկ ազետեռյունը պղնձի հիդրօքլորիդացման գործընթացի հնտենսիվացման վրա, ինչպես նաև մոլիբդենիտի անզգայնությունը հիդրօքլորային տարրոալուծման պղոցեսի նկատմամբ։

Առաջնագործությունը պահպանության մեջ կատարվի:

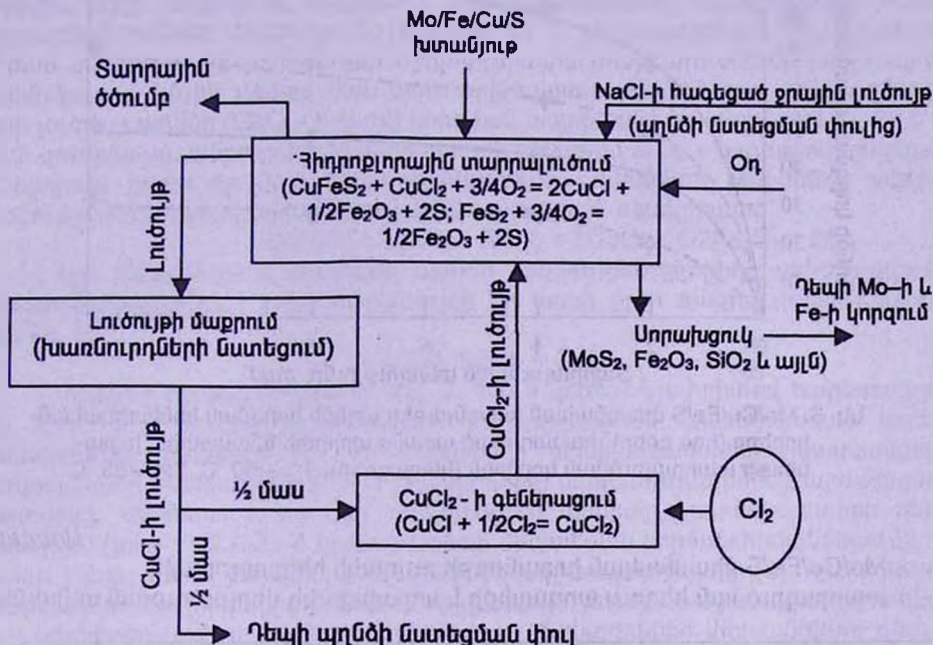
Հետազոտվող սուլֆիդային խտանյութի (39,14% Mo, 8,417% Fe, 3,84% Cu) հիմնական միներալային կազմը ըստ ռենտգենակառուցվածքային վերլուծության (ДРОН-2.0, CuКα-ճառագայթում, դիֆրակցիոն արտացոլումների վերծանումը [1]-ով) տվյալների (Ըկ. 1), բաղկացած է մոլիբդենիսից (65,27% MoS₂), պիրիտից (10,83% FeS₂), խալկոպիրիտից (11,20% CuFeS₂) և քվարցից (5,4% SiO₂): Մնացած միներալները (Cu₂S, Fe₂O₃, Al₂O₃, CaO, MgO, Au, Ag), իրենց փոքր քանակության պատճառով ռենտգենագրի վրա չեն երևակվել: Խտանյութում առկա է նաև 3,8% խոնավություն: Այստեղ մոլիբդենը հանդես է գալիս միայն մոլիբդենիսի տեսքով, երկաթը բաշխված է պիրիտում և խալկոպիրիտում, իսկ պղինձը՝ հիմնականում խալկոպիրիտում: Վերջինս առավել կայուն միներալն է, ու դրանից պղնձի կորզումը կապված է որոշակի դժվարությունների հետ (ինչպես պիրո-, այնպես էլ հիդրօմետալուրգիական վերամշակման գործընթացներում):



Նկ. 1. Mo/Fe/Cu/S միասնական խտանյութի ռենտգենագիրը

Աշխատանքի նպատակը խտանյութում պարունակվող պիրիտի (FeS_2) և խալկոպիրիտի ($CuFeS_2$) համատեղ հիդրօքլորային տարրալուծմամբ պղնձի և երկարի ընտրողական կորզումն է (միներալներից դեպի լուծույթ), մոլիբենը թողնելով անլուծելի սորախցուկում (MoS_2 տեսքով), դրանով իսկ ապահովելով նրա հետագա կորզումը ելանյութից համեմատաբար ավելի պարզ տեխնոլոգիայով և նվազագույն կորուստներով:

Խտանութիւն տարրալուծման գործընթացը հետագոտվել է N 2351 A արտոնագրում [2] մշակված մեթոդիկայով: Գործընթացի տեխնոլոգիական սխեման ընդգրկում է խտանյութի ուղղակի տարրալուծման, մայրակ-լուծույթի մաքրման և օքսիդիչ ազդանյութի գեներացման փուլեր (նկ. 2):

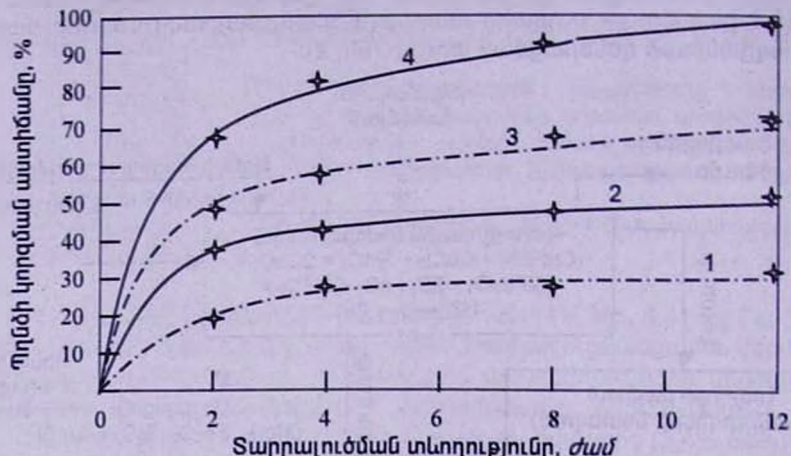


Նկ. 2. Mo/Fe/Cu/S միասնական խտանյութի հիդրօքլորային տարրալուծման տեխնոլոգիական սխեման

Վերամշակվող խտանյութը բեռնվում է նատրիումի քլորիդի հագեցած ջրային լուծույթով լցված ($\text{NaCl} : \text{H}_2\text{O} = 1:8$) տարրալուծման չափ, որում խյուսն անընդհատ խառնվում է ներմուկով օդի հոսանքով՝ ջերմաստիճանը պահելով 85°C : Լուծույթում մղվում է նաև առանձին անօրության քլոր գազի օգնությամբ պատրաստված տարրալուծման պրոցեսի հիմնական ազդանյութի՝ պղնձի երկվալենտ քլորիդի (CuCl_2) լուծույթը: Պրոցեսը շարունակվում է մինչև խալկոպիրիտի լոիվ տարրալուծումը, որի հետևանքով պղնձն ամբողջությամբ անցնում է լուծույթ:

Պարբերաբար չափված (AAS մեթոդով) պղնձի իոնային կոնցենտրացիայով որոշվել է դեպի լուծույթ դրա կորզման (խալկոպիրիտի տարրալուծման) աստիճանը: Միաժամանակ չափվել է նաև լուծույթի թթվայնության ցուցիչը (pH -

340 սարքի օգնությամբ): Երկարի, մոլիբդենի, ուսկու և արծաթի կոնցենտրացիաները չափվել են պղնձի ամբողջական տարրալուծնան լուծույթում: Չլուծված MoS_2 - ի, CuFeS_2 - ի, FeS_2 - ի, հնչան նաև երկարի տարրալուծնան արգասիքների (Fe_2O_3), SiO_2 - ի, Al_2O_3 - ի, CaO - ի և MgO - ի բաղադրությունները որոշվել են վերջնական սորախցուկում: Զուգահեռաբար տարրալուծնան է ենթարկվել նաև մոլիբդենիտ-խալկոպիրիտ խտանյութը, առանց պիրիտային բաղադրիչի: Փորձերի արդյունքները բերված են նկ. 3 – ում և աղյուսակում:



Նկ. 3. $\text{Mo}/\text{Cu}/\text{Fe}/\text{S}$ միասնական խտանյութից պղնձի կորզման կինետիկական կորերը (հոգ գծեր): համարված առանց պիրիտի նմանատիպ խտանյութի տարրալուծնան կորերին (կետագծեր). 1;2 – 60°C , 3;4 – 85°C

Աղյուսակ

$\text{Mo}/\text{Cu}/\text{Fe}/\text{S}$ միասնական խտանյութի ուղղակի հիդրօքլորային տարրալուծնան հեղուկ արգասիքի և սորախցուկի վերլուծության տվյալները

Ելային $\text{Mo}/\text{Cu}/\text{Fe}/\text{S}$ խտանյութ	Հիմնական միներալային կազմը (բացի Au, Ag), %								
	MoS_2	CuFeS_2	FeS_2	Cu_2S	Fe_2O_3	Al_2O_3	SiO_2	$\text{CaO} +$ MgO	H_2O
65,27	11,20	10,83	0,2	0,3	0,9	5,6	1,8	3,8	

Հեղուկ արգասիք (լուծույթ)	Հիմնական իոնային կոնցենտրացիան (100 գրամ խտանյութից, ֆիլտրված հեղուկ արգասիքում) 3,77 մգ/ Cu ⁺ , 0,1 մգ/ Cu ²⁺ , 0,51 մգ/ Fe ³⁺ , 0,01 մգ/ Au ³⁺ , 0,18 մգ/ Ag ²⁺ , Fe ³⁺ չի հայտնաբերված, Mo ⁿ⁺ չի հայտնաբերված								
Տարրա- լուծնան սորա- խցուկ	Հիմնական միներալային կազմը (Աս, Ագ չեն հայտնաբերված), %								
	MoS_2	CuFeS_2	FeS_2	Cu_2S	Fe_2O_3	Al_2O_3	SiO_2	$\text{CaO} +$ MgO	H_2O
76,26	հետք	հետք	չ.հ.	14,04	1,05	6,54	2,1	մն.	

Միակատային վերլուծությունը կատարված է ՀՀ ԳԱՍ ԵԳ ինստիտուտում:
Առողջապահության նախարարության կատարված է «ԼՄԻ» ՓԲԸ-ում:

Բերված տվյալներից երևում է, որ խալկոպիրիտային պղնձի կորզման ֆունկցիան պարագուային բնույթ ունի: Գործընթացն սկսվում է միանգամից բարձր արագությամբ, այնուհետև տարրալուծվող նյութի զանգվածի և տեսակարար մակերևույթի նվազմանը զուգընթաց կորզման արագությունն աստիճանաբար իշնում է՝ վերջում մոտենալով զրոյի: Ձերմաստիճանի բարձրացումը 60 °C – ից մինչև 85 °C հանգեցնում է պղնձի կորզման աստճանի կտրուկ ավելացման:

Պրոցեսի ընթացքում լուծույթի pH – ի արժեքները շատ քիչ են փոփոխվում: Այսպես, 60 °C-ում մեկնարկային pH – ը 2,874 – ից 6 ժամ հետո դառնում է 2,814, 12 ժամվա տարրալուծումից հետո՝ 2,702, իսկ 85 °C – ում՝ 2,545, 2,297 և 2,236, համապատասխանաբար: Դա նշանակում է, որ բոլոր դեպքերում լուծույթը մնում է թթվային, ինչը լավագույն պայման է համապատասխան ռեակցիաների կայուն զարգացման համար: Արդյունքում, լուծույթի 85 °C ջերմաստիճանի պայմաններում 12 ժամ տևողությամբ խտանյութի հիդրօքլորային տարրալուծմանը խալկոպիրիտային ֆազից (չնչին չափով նաև մյուս պղնձատար սուլֆիդային միներալներից) դեպի լուծույթ պղնձի (CuCl – ի ձևով) կորզման աստիճանը հասնում է 98,5...99,5 %: Դրան զուգընթաց, ամբողջ խալկոպիրիտային երկարը Fe₂O₃ – ի տեսքով անցնում է սորախցուկ, քանի որ նրա հիդրօքլորիդացումը ուղամդման թթվածնով տեղի է ունենում պղնձի հիդրօքլորիդացման միևնույն հայտնի ռեակցիայով՝



Այս ռեակցիայում ծախսվող պղնձի երկալենտ քլորիդը գեներացվում է ստացված միավալենտ քլորիդի լուծույթի մի մասի քլոր գազով վերամշակմամբ (տես նկ. 1):



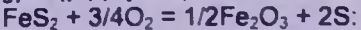
Պիրիտի բացակայությամբ (նկ. 3, 1 և 3 կորեր) և պիրիտով հարստացված (նկ. 3, 2 և 4 կորեր) խտանյութերի տարրալուծման կինետիկական կորերի համադրումից հետևում է, որ պիրիտը, անմիջականորեն չնաևնակցելով խալկոպիրիտի տարրալուծման (1) ռեակցիային, սակայն գգալիորեն արագացնում է պրոցեսը: Ակնհայտ է, որ այդ ռեակցիայում պիրիտը կատալիզատորի դեր է կատարում (տես 1 - 2 և 3 - 4 կորագույգերը, միատեսակ ջերմաստիճաններում): Դա կարելի է բացատրել նաև գալվանական էֆեկտի առկայությամբ [3], եթե խյուսում գտնվող երկու հաղորդակից միներալներից ավելի էլեկտրաքանական պոտենցիալով օժտվածը (տվյալ դեպքում CuFeS₂ – ը), էլեկտրոններ փոխանցելով մյուսսին (այսինքն FeS₂ – ին), ինչք քայլայվում է մեծ արագությամբ, իսկ մյուսը՝ ոչ:

Տարրալուծման արդյունքում պիրիտային ֆազի ամբողջովին անհետացումը համակարգից, երկարի ինների բացակայությունը հեղուկ արգասիջում, ինչպես նաև սորախցուկում Fe₂O₃ – ի քանակի համապատասխանությունը երկարի ելային բաղադրությանը խտանյութում, թույլ են տալիս հետևյալ կերպ բացատրել պիրիտի տարրալուծման և դեպի սորախցուկ եռավալենտ երկարի անցման գործընթացը:

Ակնհայտ է, որ երկարի կատիոնները երկվալենտ են պիրիտի ըլյուրենային վանդակում, իսկ նրա ինոնային կառուցվածքը $\text{Fe}^{2+}(\text{S}_2)^2-$ տեսքի է, այսինքն ճիշտ այնպես, ինչպես մանգանի երկսուլֆիդինն է ($\text{Mn}^{2+}(\text{S}_2)^2-$) [4]: Իսկ համաձայն Fe – S – H₂O համակարգի E_h – pH դիագրամի [5], բավականին բարձր թթվայնության լուծույթներում (ինչպիսին տվյալ դեպքում խտանյութի տարրալուծման լուծույթն է) Fe(II) տարրամասնիկներն օքսիդանում են մինչև Fe(III), պարզ կատիոնների տեսքով (տես նաև [3]):



Ուստի, քանի որ տվյալ դեպքում պիրիտի տարրալուծումը տեղի է ունենում ինտենսիվ օդամշման պայմաններում, օքսիդացման ռեակցիայում երկվալենտ երկաթը էլեկտրոն կփոխանցի օդի թթվածնին՝

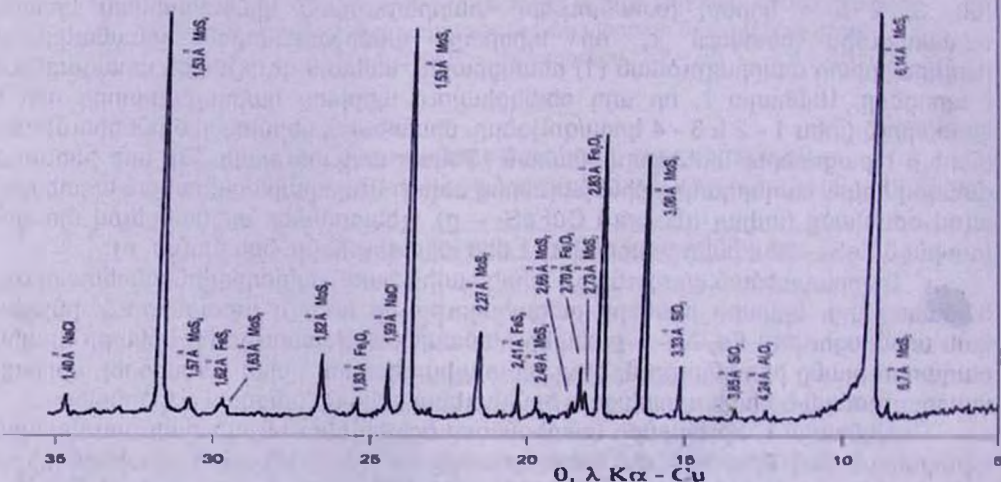


Գոյացած Fe_2O_3 -ը, խալկոպիրիտային երկաթի հիդրոօքսիդացումից անջատված հեմաթիտի հետ միասին անցնում է նստվածք (սորախցուկ):

Ընդ որում, պիրիտի հիդրոօքսիդացման (4) ռեակցիան, հավանաբար, ընթանում է (1) - ի հետ զուգահեռաբար, որովհետև այն, ինչպես հայտնի է [6], կարող է կատալիզվել Cu^{2+} իոններով (լուծույթում առկա CuCl_2 - ի ներդրությամբ):

Պրոցեսի հեղուկ արգասիքի հիմնական հինային բաղադրությունից պարզ երևում է, որ հիդրոօքսիդային օքսիդացմանը հակազդում են միայն պինձ պարունակող միներալները (CuFeS_2 և Cu_2S) և պիրիտ (FeS_2). ինչպես նաև ոսկին ու արծաթը (վերջիններս գոյացնելով համապատասխան ջրում լուծելի քլորիդներ):

Տարրալուծման մայրակ-լուծույթը, խառնուկներից մաքրվելուց հետո, ենթակա է NaOH - ի միջոցով պղնձի միավակենու օքսիդի ցեմենտացման (2 $\text{CuCl} + 2\text{NaOH} = \text{Cu}_2\text{O} + 2\text{NaCl} + \text{H}_2\text{O}$), որը ծառայում է որպես ելանյութ ջրածնային վերականգնումով մետաղական պղնձի ստացման համար: Պղնձօքսիդի ցեմենտացումից հետո, նատրիումի քլորիդի ջրային լուծույթն օգտագործվում է խալկոպիրիտի և պիրիտի հանատեղ տարրալուծման ցիկլերում: Գործնթացում անջատվող տարրային ծծումը կարող է օգտագործվել որպես ինքնուրույն ապրանքային արտադրանք:



Նկ. 4. Mo/Fe/Cu/S միասնական խտանյութի հիդրոօքսիդային տարրալուծման սորախցուկի (պինձ մնացորդի) ռենտգենագիրը

Սորախցուկը, որն ըստ ռենտգենաֆազային վերլուծության տվյալների (նկ. 4) պարունակում է հիմնականում մոլիբդենիտ (MoS_2) և հեմաթիտ (Fe_2O_3), ենթակա է հետագա երկիրով վերածակման մոլիբդենի և երկաթի կորզման համար:

Մշակված տեխնոլոգիայի հիմնական առավելություններն են՝ պղնձից բացի, երկարի կորզման հնարավորությունը, մետաղների բարձր կորզման աստիճանը, բացարձակապես տեղական նյութերի (ելանյութ-խտանյութ, կերակրի աղ, ջլոր գազ) օգտագործումը և շրջակա միջավայրի պաշտպանության ժամանակակից պահանջների առավելագույնս բավարարումը:

ԳՐԱԿԱՆՈՒԹՅԱՆ ՑԱՆԿ

1. ASTM Card File.- ASTM, Philadelphia, 1969.
2. Արտոնագիր N 2351 A . Պղնձի ստացման եղանակ / L.Ե. Սարգսյան, Ա.Ա Դուկիանիսյան, Վ.Ա. Շահնազարյան. - 25.02.2010.
3. Marsden J., House I. The Chemistry of Gold Extraction. - Chichester, England: Ellis Horward Limited, 1992.- 597 р.
4. Реми Г. Курс неорганической химии.- М.: МИР , 1966.-Т. 2.- 836 с.
5. Osseo-Asare K., Xue T.; Ciminoelli V.S.T. Solution chemistry of cyanide leaching Systems // In: Precious Metals: Min. Extr. and Proc. / Ed. by V. Kudryk, D.A. Corrigan, W. Liang. Metall. Soc. AIME.- 1984.- P. 173-197.
6. Peters E. Direct leaching of sulphides // In: Advances in Mineral Processing / Ed. by P. Somasundaran. - SME-AIME, 1976.- P. 445-462.

ՀՊԵՐ(Պ): Նյութը ներկայացվել է խմբագրություն 10.09.2010:

Լ.Ե. САРГСЯН, В.С. НАВАСАРДЯН, А.М. ОГАНЕСЯН, В.Ա. ШАХНАЗАՐՅԱՆ

СОВМЕСТНОЕ ИЗВЛЕЧЕНИЕ МЕДИ И ЖЕЛЕЗА ИЗ Mo/Fe/Cu/S КОНЦЕНТРАТА МЕТОДОМ ГИДРОХЛОРНОГО ВЫЩЕЛАЧИВАНИЯ

Исследован процесс совместного извлечения меди и железа из коллективного Mo/Fe/Cu/S концентрата методом гидрохлорного выщелачивания. Показано катализитическое влияние пирита на интенсификацию процесса гидрохлорирования меди, а также нечувствительность молибденита к процессу гидрохлорного выщелачивания.

Ключевые слова: сульфидный концентрат, молибденит, халькопирит, пирит, гидрохлорное выщелачивание.

L.YE. SARGSYAN, V.S. NAVASARDYAN, A.M. HOVHANNISYAN,
V.A. SHAHNAZARYAN

THE JOINT RECOVERY OF COPPER AND IRON FROM Mo/Fe/Cu/S CONCENTRATE BY THE METHOD OF HYDROCHLORIDE LEACHING

The joint recovery of copper and iron from a collective Mo/Fe/Cu/S concentrate by the method of hydrochloride leaching is investigated. The catalytic influence of pyrite on the process of copper hydrochloridation and insensitivity of molybdenite to the hydrochloride leaching process are shown.

Keywords: sulphide concentrate, molybdenite, chalcopyrite, pyrite, hydrochloride leaching.

Զ.Ա. ԳԵՂՂԱԿՅԱԼ, Բ.Վ. ՊԵՏՐՈՍՅԱՆ, Կ.Տ. ԳԵՂՂԱԿՅԱԼ, Ո.Վ. ԽՄՐԱՅԵԼՅԱՆ

ՍԱԳՆԵԶԻՈՒՄԻ ՀԻՂՐՈՍԻԼԻԿԱՏԱՅԻՆ ԱՊԱՐՆԵՐԻ ՀԻՄԱՆ ՎՐԱ ՁՐԱԿԱՅՈՒՆ ԿԱՊԱԿՑԱՆՅՈՒԹԻ ՍՏԱՑՈՒՄԸ

Սևանի ավազանի մագնեզիումի հիղրոսիլիկատային ապարների, մասնավորապես սերպենտինիտացված պերիդոլիտի հիման վրա $645\ldots715^{\circ}\text{C}$ -ի միջակայքում ջրագոկման ճանապարհով ստացվել է ջրակայուն հիղրավլիկ կապակցանյութ՝ սերպենտինիտային ցեմենտ: Որոշվել են սերպենտինիտային ցեմենտի ստացման օպտիմալ պայմանները, նրա և ցեմենտ-ավազային շաղախների հիմնական հատկությունները:

Առանձքային բառեր. սերպենտինիտային ցեմենտ, հիղրոսիլիկատային ապար, կապակցանյութ, շաղախ:

Նախկինում սերպենտինիտային ցեմենտի վերաբերյալ եղած գրական տվյալների վերլուծության արդյունքում մեր կողմից ցույց է տրվել, որ անհամենատ ցածր ջերմաստիճանային տիրույթում ($600\ldots750^{\circ}\text{C}$) հնարավոր է ստանալ ջրակայուն և միմույն ժամանակ ջերմային հարվածների ու բարձր ջերմաստիճանների նկատմամբ բարձր կայունությամբ օժտված կապակցանյութ՝ սերպենտինիտային ցեմենտ: Դայտնի կապակցանյութերի համեմատությամբ սերպենտինիտային ցեմենտն օժտված է նաև ստացման գործընթացի առավելագույն պարզությամբ, ելքի բարձր տոկոսով և ամրացման ընթացքում ծափալային փոփոխության աննշան մեծությամբ: Նրա առավելությունների թվին է պատկանում նաև սեղմնան և ծռման նկատմամբ ունեցած ամրության սահմանների համեմատական փոքր տարբերությունը, որը խստ կարևոր է հատկապես սեյսմակայուն շինարարության առումով, այն օժտված է նաև ծովային և հանքային ջրերի նկատմամբ բարձր կայունությամբ, որն անփոխարինելի է դարձնում այն ստորգետնյա կառուցների, մասնավորապես ջրատար թունելների, կառուցապատման համար: Նշված առավելությունների կողքին սերպենտինիտային ցեմենտին բնորոշ են նաև այնպիսի թերություններ, ինչպիսիք են՝ լցիչ:ցեմենտ հարաբերության ցածր սահմանը, դրանց հիման վրա ստացված շաղախների ու բետոնների սեղմնան նկատմամբ ունեցած ամրության ցածր սահմանը և երկարաժամկետ պահեստավորման ընթացքում որակական հատկությունների նվազեցմը, ինչպես նաև այդ հատկությունների կախվածությունը ստացման ջերմաստիճանի տատանումներից [1]: Նույն աշխատանքում ցույց է տրված նաև, որ Սևանի ավազանի ապարներից շատերն իրենց ջիմիական բաղադրությամբ և միներոլոգիական կազմով, ինչպես նաև պաշարներով լիովին պիտանի են սերպենտինիտային ցեմենտի ստացման համար, որն իր ցածր արժեքի և յուրահատուկ հատկությունների շնորհիվ կարող է հեռանկարային համարվել հանրապետության համար:

Վերոհիշյալից ելնելով՝ սույն աշխատանքում փորձ է արվել Սևանի ավազանի տարբեր տեղամասերից վերցրած մագնեզիումի հիղրոսիլիկատային ապարների հիման վրա ստանալ սերպենտինիտային ցեմենտ, որոշել նրա ստացման գործընթացների օպտիմալ պայմաններն ու նրա և նրա ու կվարցային ավազի հիման վրա պատրաստված շաղախների հատկությունները: Օգտագործվել են

Երկրաբանական տվյալների համաձայն առավել հեռանկարային համարվող Շորժայի գաբրոպերիդոտիտային զանգվածի [2, 3] չորս տարրեր տեղամասերից վերցված ապարանմուշներ, որոնց քիմիական բաղադրությունները բերված են աղյուսակ 1-ում:

Աղյուսակ 1

Օգտագործված ապարանմուշների քիմիական բաղադրությունները

Հ/Հ	Բաղադրամասերի պարունակությունը, զանգ. %							
	Ազատ ջուրը (25...150) °C	Աղոստրված ջուրը (150...400) °C	Քիմիապես կապված ջուրը և CO ₂ (400...900) °C	CaO	MgO	Al ₂ O ₃	Fe ₂ O ₃	SiO ₂
1	2,0	0,5	11,1	0,3	40,0	0,6	5,3	40,2
2	2,2	1,5	11,8	0,4	41,3	1,0	5,8	36,0
3	0,6	0,1	12,0	1,5	36,9	1,5	8,9	38,5
4	0,8	0,2	17,8	0,1	36,0	0,7	5,7	38,7

Ունտգենաֆազային (ДРОН-4, ЛОМО, РФ) հետազոտության համաձայն բոլոր չորս նմուշները բաղկացած են եղել հիմնականում սերպենտինիտային խմբի միներալներից (անտիգորիտ կամ կլինոխրիզոտիլ և լիզարդիտ), ֆորստերիտից և մագնեզիումի ֆերիտից (MgFe₂O₄): Չորրորդ նմուշում հայտնաբերվել է նաև շերբենիտ ($Mg_6Fe_2CO_3(OH)_16 \cdot 4H_2O$), որի, ինչպես նաև ֆորստերիտի համեմատական բարձր պարունակության պատճառով այդ նմուշը հետագա ուսումնասիրության չի ենթարկվել: Սերպենտինիտային միներալների և ֆորստերիտի հարաբերակցությունը առաջին 3 նմուշներում համաձայն դրանց առավել ինտենսիվ ռենտգենյան ռեֆլեքսների համեմատական ինտենսիվության, կազմում են 100:38:12, 100:59:10 և 100:41:11 համապատասխանաբար:

Դարկ է նշել, որ ռենտգենագրերում արտացոլված սերպենտինիտային միներալներից անտիգորիտի, կլինոխրիզոտիլի և լիզարդիտի ռենտգենյան ռեֆլեքսները նույն են միմյանց: Այսպես, անտիգորիտի I_{max} -ը գիտարկվում է $d/n=7,30$ -ի, կլինոխրիզոտիլինը՝ $7,30$ -ի և լիզարդիտինը՝ $7,33$ σ -ի տակ (տես ASTM 44-1447, 43-0662, 09-0444): Դրա պատճառով աղյուսակ 2 -ում բերված սերպենտինիտային միներալների հարաբերակցությունը նմուշներում կրում է պայմանական բնույթ:

Իրականացվել է նաև ընտրված ապարանմուշների դերիվատոգրաֆիկական (Q-1500, MOM, Չունգարիա) հետազոտություն, որի արդյունքները բերված են նկարում:

Ապարափոշիների վերջնական ջրագրկումը նկ.-ի համաձայն տեղի է ունենում. առաջին նմուշի դեպքում $560\ldots760$ °C, երկրորդի – $580\ldots720$ °C, երրորդի – $620\ldots800$ °C միջակայքերում: Պրոցեսների մաքսիմում արագությունը DTG կորերի համաձայն դիտվում է համապատասխանաբար 660 , 720 և 745 °C-ի տակ: Նմուշների վերջնական ջրագրկման ջերմաստիճանային միջակայքերի և պրոցեսների առավելագույն արագություններին համապատասխանող ջերմաստիճանների տարրերությունները, հավանաբար, պայմանավորված են դրանցում սերպենտինիտային տարրեր միներալների (անտիգորիտ, լիզարդիտ) տարրեր հարաբերակցությամբ: Բոլոր երեք նմուշների վերջնական ջրագրկումից հետո DTA կորերի վրա ի հայտ է գալիս բավականին ինտենսիվ էկզորեմիկ մաքսիմում (855 , 835 , 840 °C),

որը համաձայն գրական տվյալների, պայմանավորված է ջրագրկումից հետո սերպենտինիտային միներալների փոխարեն ֆորստերիտի ($2\text{MgO} \cdot \text{SiO}_2$) և էնտատիտի ($\text{MgO} \cdot \text{SiO}_2$) առաջացման [1]:

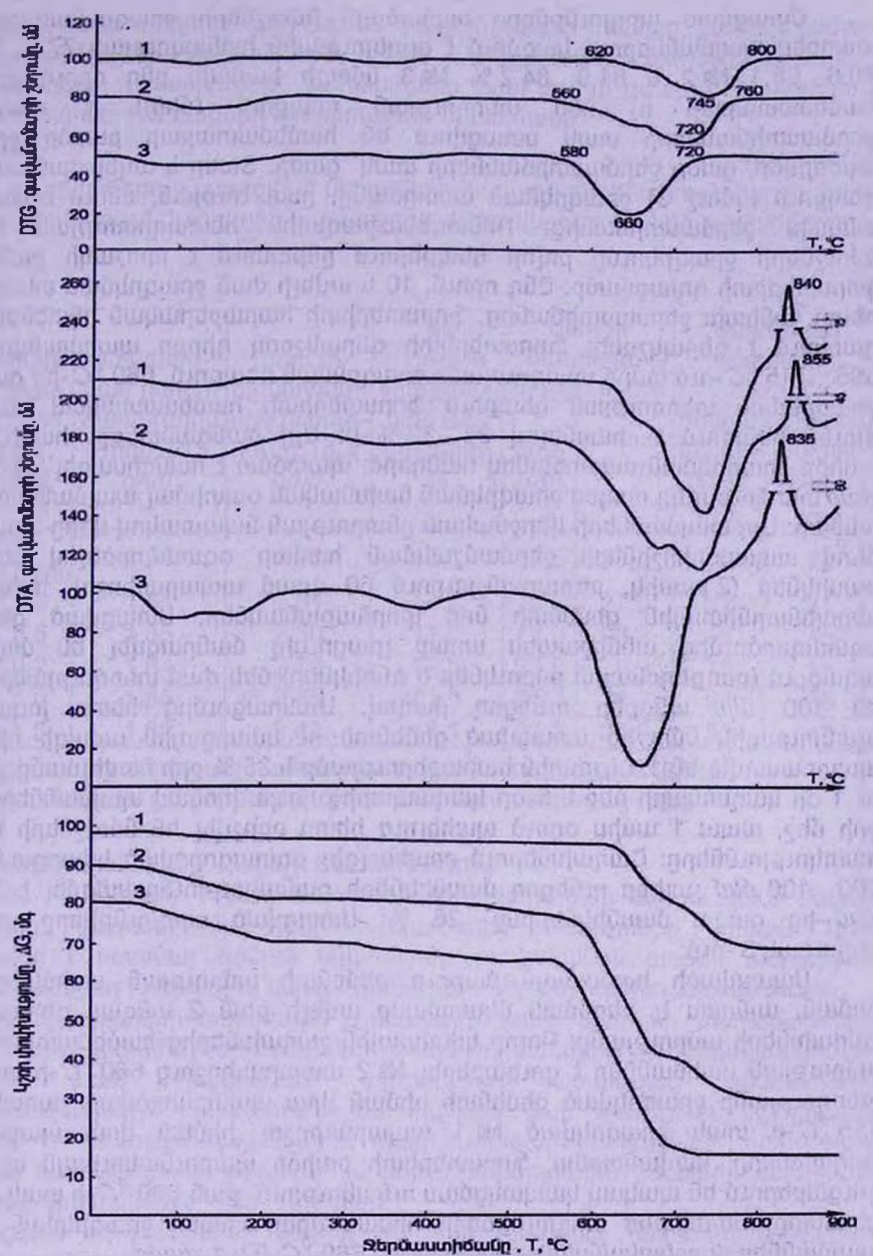
Նմուշների վերջնական ջրագրկման (սերպենտինիտային ցեմենտի ստացման) օպտիմալ պայմանների որոշման նպատակով ընտրված երեք ապարանմուշները ծնոտային, այնուհետև զլանային ջարդիչներով ջարդելուց հետո ենթարկվել են վերջնական մանրացման գնդային աղացում (ծենապակի): Մանրացումից հետո ապարափոշիներն անց են կացվել 200 մկմ անցքեր ունեցող մաղով և մագնիսական գոտումից հետո ենթարկվել են ջրագրկման մուֆելային բնույթի էլեկտրական վառարանում ($\text{CHOL}-1.6$; 2.5.1/9-ԱՅ. ԲՓ): Ջրագրկման ջերմաստիճանային տատանումների նվազեցման նպատակով պատրաստվել և օտագործվել է ջերմակայուն պողպատյա խցիկ՝ օժնված միջնահարթակով և դոնակով: Խցիկի և միջնահարթակի պատերի հաստությունը կազմել է 5 մմ, որը բավարար է եղել վառարանի համեմատությամբ նրա ներսում ջերմաստիճանային տարբերությունների բազմապատիկ նվազեցման համար: Թավոք, սեփական տաքացուցիչի բացակայության պատճառով չի հաջողվել նվազագույնի հասցնել խցիկի ներսում ջերմաստիճանային տատանումները, որոնց մեծությունը փորձերի ընթացքում կազմել է $\pm (10...12)^\circ\text{C}$. Դամապատասխան ջերմաստիճանների ընտրության համար փորձարկումների ընթացքում հիմք են հանդիսացել նկ.-ում բերված դերիվատոփրաֆիկական կորերը: Դաշվի առնելով այդ կորերի որոշակի ջերմային իներտության աստիճանը՝ որոշվել է ֆորստերիտի որոշակի առաջացումից խուսափելու նպատակով, աշխատել միայն DTA կորում վերցին էնդոքրմիային համապատասխանող տոն -ի ($\sim 720^\circ\text{C}$) ջերմաստիճանից ցածր ջերմաստիճաններով և ջրագրկման տարբեր ժամանակահատվածներում: Յուրաքանչյուր ապարափոշուց փորձարկվել են № 1 կորունդային հալանդումներում լցված ~ 1 գ զանգված ունեցող առնվազն 6 նմուշ: Ստացված արդյունքների միջնացված արժեքները բերված են աղյուսակ 2-ում:

Աղյուսակ 2

Ապարափոշիների ջրագրկման արդյունքները

Հ/Հ'	Ապարափոշու ջերմանշակման պայմանները, $^\circ\text{C}$, ժամ	Նմուշի քաշի կորուստը ջրագրկումից հետո, %	Ունտգենագրերում ֆագերի առաջականացումից հետո միջնահատական ինտենսիվությունները, %		
			անտիգորիտ	լիզարդիտ	ֆորստերիտ
1	715 \pm 8; 0,2	13,0	26	14	100
	695 \pm 10; 0,5	12,9	62	50	100
	660 \pm 5; 1,0	11,6	100	45	35
	645 \pm 7; 1,0	10,5	100	50	34
2	715 \pm 8; 0,2	15,1	13	25	100
	695 \pm 10; 0,5	15,2	22	26	100
	660 \pm 5; 1,0	13,5	100	60	33
	645 \pm 7; 1,0	12,5	100	62	32
3	645 \pm 5; 10	10,7	45	35	100
	620 \pm 5; 20	10,4	52	42	100
	600 \pm 7; 30	10,5	45	30	100

*Նմուշների համարակալումը համապատասխանում է աղյուսակ 1-ին:



Սկ. Ընտրված սերպենտինիտային ապարների ոերիշատոգրաֆիկական ուսումնասիրության արդյունքները:
 1 - Նմուշ N 3 ($G = 268 \text{ mg}$, աղ. 1),
 2 - Նմուշ N 1 ($G = 411 \text{ mg}$),
 3 - Նմուշ N 2 ($G = 418 \text{ mg}$):

Ստացված արդյունքների համաձայն նմուշների ջրագրկման աստիճանը տպարեն պայմաններում կազմում է Ելանյութային խոնավության 77.2...95.6 № 1, 80.6...98.1 № 2 և 81.9...84.2 % № 3 նմուշի համար. ընդ որում ջրագրկման համեմատաբար ոչ մեծ տևողության դեպքում (մինչև 1 ժամ) բարձր ջերմաստիճանների տակ ստացվում են համեմատաբար բարձր ջրագրկման արժեքներ. ցածր ջերմաստիճանների տակ՝ ցածր: Տասը և ավելի ժամ տևողության դեպքում (նմուշ 3) ջրագրկման աստիճանը ըստ էռթյան. մնում է հաստատուն անկախ ջերմաստիճանից: Ունտղենաֆազային հետազոտության համաձայն նմուշների ջրագրկումը բոլոր դեպքերում ընթանում է որոշակի քանակության ֆորստերիտի գոյացմամբ: Ընդ որում, 10 և ավելի ժամ ջրագրկման տևողությունից հետո, անկախ ջերմաստիճանից, ֆորստերիտի հարաբերական ինտենսիվությունը դառնում է գերակշռող: Ֆորստերիտի գերակշռող դիրքը պահպանվում է նաև $695\ldots715^{\circ}\text{C}$ -ում կարծ տևողությամբ ջրագրկման դեպքում, 660°C -ից ցածր 1 ժամ ջրագրկման տևողության դեպքում ֆորստերիտի համեմատական ինտենսիվությունը նվազում է՝ հասնելով $35\ldots32\%$ -ի: Այդ հանգամանքը՝ համեմատաբար բարձր ջրագրկման աստիճանով հանդերձ, պատճառ է հանդիսացել՝ 660°C -ը և 1 ժամ տևողությունը որպես ջրագրկման նախնական օպտիմալ պայմաններ ընտրելու համար: Այդ պայմանների վերջնական ընտրության նպատակով վերը նկարագրված ծևով ապարափոշիների ջերմանշակման համար օգտագործելով ճենապակյա թասիկներ (2 բասիկ, յուրաքանչյուրում 60 գրամ ապարափոշի), սինթեզել են սերպենտինիտային ցեմենտի նոր փորձաքանակներ: Ստացված ցեմենտները օգտագործումից անմիջապես առաջ լրացնուի մանրացվել են մոլորակային աղացում (քալքեղոնային թմբուկներ և գնդիկներ) մեկ ժամ տևողությամբ և մաղվել են 100 մկմ անցքեր ունեցող մաղով: Մանրացումից հետո յուրաքանչյուր ելանյութային նմուշից ստացված ցեմենտի ու կվարցային ավագի հիման վրա պատրաստվել են 1:1 կշռային հարաբերությամբ և 35 % ջրի հավելմամբ շաղախներ ու 1 օր կաղապարի մեջ և 6 օր կաղապարից դուրս խոնավ պայմաններում, 24 օր ջրի մեջ, ապա 1 ամիս օդում պահելուց հետո որոշվել են նմուշների հիմնական հատկությունները: Չաղախներում որպես լցիչ օգտագործված կվարցային ավագի 300...100 մկմ չափեր ունեցող մասնիկների քանակությունը կազմել է 74 %, 100 մկմ-ից ցածր, մասնիկներինը՝ 26 %: Ստացված արդյունքները բերված են այսուսակ 3 -ում:

Սպասվածի համաձայն մաքուր ցեմենտի ամրության սահմանը, ինչպես ծովան, այնպես էլ սեղմման նկատմամբ ավելի քան 2 անգամ գերազանցում է շաղախների ամրությանը: Բոլոր կվարցային շաղախներից համեմատաբար բարձր ամրության սահմաններ է ցուցաբերել № 2 ապարափոշուց 660°C -ի տակ 1 ժամ տևողությամբ ջրագրկված ցեմենտի հիման վրա պատրաստված շաղախը, 695 և 715°C -ի տակ ջրագրկված № 1 ապարափոշու հիման վրա պատրաստված շաղախները, հավանաբար, ֆորստերիտ բարձր պարունակության պատճառով, ցուցաբերում են պակաս կապակցման ունակություն, քան 660°C -ի տակ ստացված ցեմենտը: Ստացված արդյունքների հիման վրա, որպես ջրագրկման օպտիմալ պայմաններ վերջնականապես ընտրվել են 660°C -ն և 1 ժամը.

Ուշադրության է արժանի նաև շաղախների ծովան և սեղմման նկատմամբ ամրության սահմանների խիստ ցածր հարաբերակցությունը ջրագրկման 660°C -ի դեպքում ($1.5\ldots2.8$): Դաշտանաբար այդ հանգամանքը պայմանավորված է նրանով, որ ցեմենտ-պակազային շաղախների ամրության սահմանների որոշակ համար նախատեսված չափերի ($10\times10\times10$ սմ սեղմման և $4\times4\times16$ սմ ծովան նկատմամբ) փոխարեն ցեմենտի սահմանափակ քանակության պատճառով (120 գ), այդ

մեծությունները մեր կողմից որոշվել են խեցանյութերի համար նախատեսված չափսի փորձանմուշների վրա ($\varnothing = 35$, $h = 35$ մմ սեղման և $4,5 \times 4,5 \times 35$ մմ ծռման համար), որի դեպքում ամրության սահմանները շատ ավելի զգայուն են դառնում նմուշում ծակոտինների և ճաքերի առկայության նկատմամբ:

Աղյուսակ 3

Տարբեր պայմաններում ստացված սերպենտինիտային ցեմենտի ու կվարցային ավագի հիման վրա 1:1 կշռային հարաբերությամբ պատրաստված շաղախների հիմնական հատկությունները

Հ/Հ ¹⁾	Ցեմենտի ստացման պայման-ները, $^{\circ}C$, ժամ	Կապակց-ված նմուշի ծավալային կշռությունը, (d ₅₀), գ/սմ ³	Նմուշի պիկնոմետ-րիկ խտութ-յունը, (d ₅₀), գ/սմ ³	“Նմուշի ջրական-ման աս-տիճանը, %	Նմուշի ծակոտկե-նությունը, %		Ամրության սահմանը, կգ/սմ ²	
					բաց (ԲԾ)	ընդհա-նուր (ԸԾ)	ծռման նկատ-մամբ (σ_b)	սեղման նկատ-մամբ (σ_u)
1	660; 1 (առանց լցիչի)	1,71	2,45	16,1	27,5	30,2	47	75
	660; 1,0	1,81	2,51	14,3	25,9	27,9	21	31
	695; 0,5	1,85	2,60	11,9	22,0	28,9	16	16
	715; 0,2	1,84	2,70	12,5	23,0	28,9	15	16
2	660; 1,0	1,85	2,65	11,5	21,3	30,2	24	68
3	660; 1,0	1,68	2,42	13,1	22,0	30,9	30	43

“Նմուշների համարակալումը համապատասխանում է աղյուսակ 1-ին:

“Որոշված է սենյակային ջերմաստիճանում 24 ժամ պահելուց հետո:

Ի մի բերելով ասվածը՝ կարելի է արձանագրել.

- 645...660 $^{\circ}C$ -ի տակ 1 ժամ տևողությամբ ջրազրկման արդյունքում Սևանի ավագանի մագնեզիումի հիդրօսիլիկատային ապարների հիման վրա հնարավոր է ստանալ ծռման նկատմամբ բավականին բարձր ամրության սահման ունեցեն հիդրավլիկ կապակցանյութ – սերպենտինիտային ցեմենտ:
- Ծորժայի գարուպերիդոտիտային զանգվածի երեք տարբեր տեղամասերից վերցրած ապարանմուշների տարբեր ջերմաստիճանների ու ժամանակահատվածների տակ ջրազրկման արդյունքում ստացված ցեմենտների ռենտգենաֆազազային հետազոտության, ինչպես նաև դրանց ու կվարցային ավագից 1:1 հարաբերակցությամբ պատրաստված շաղախների ամրության որոշման ճանապարհով ընտովել են սերպենտինիտային ցեմենտի ստացման օպտիմալ պայմանները՝ $660^{\circ}C$, 1 ժամ.

Ստացված արդյունքները կարող են հիմք ծառայել հետագա ծավալուն հետազոտությունների համար՝ նպատակ ունենալով տեղական հումքի հիման վրա ստանալ նվազագույն էներգատարությամբ և հեռանկարային հատկություններով օժտված համեմատաբար նոր կապակցանյութ:

1. Геодакян Д.А., Петросян Б.В., Геодакян К.Д. Особенности серпентинитового цемента и возможность его производства в Армении // Տեղեկագիր Դաշտավայրի Ծինարարություն - 2009. - №12 (148). - Էջ 7-11:
2. Промежуточный отчет о поисково-технологических работах по установлению пригодности магнезиально-силикатных пород в качестве формовочного материала, проведенных Севанской партией в 1963-64 г. - Ереван, 1965.
3. Абоян С.Б. Ультраосновные и основные породы офиолитовой формации. - В кн.: Геология Армянской ССР. - Т. 3. - Ереван, 1966. - С 323-389.

Նյութաբանության գիտարտադրական ծեռարկություն (ՆԳԱՉ «ՓԲԸ»): Նյութը ներկայացվել է խմբագրություն 22.01.2010:

Д.А. ГЕОДАКЯН, Б.В. ПЕТРОСЯН, К.Т. ГЕОДАКЯН, Р.В. ИСРАЕЛЯН

ПОЛУЧЕНИЕ ВОДОСТОЙКОГО ВЯЖУЩЕГО НА ОСНОВЕ ГИДРОСИЛИКАТНЫХ ПОРОД МАГНИЯ

Путем обезвоживания гидросиликатных пород магния Севанского бассейна, в частности серпентинизированных перидотитов, в температурном интервале 645...715 °C получено водостойкое гидравлическое вяжущее – серпентинитовый цемент. Определены оптимальные условия получения серпентинитового цемента и основные свойства его растворов с кварцевым песком.

Ключевые слова: серпентинитовый цемент, гидросиликатная порода, вяжущее, бетон.

J.A. GEODAKYAN, B.V. PETROSYAN, K.T. GEODAKYAN, R.V. ISRAELYAN

WATER-RESISTANT CLUSTER OBTAINING BASED ON HYDROSILICATE ROCKS OF MAGNESITE

Based on hydrosilicate rocks of magnesite of Sevan basin, particularly serpentinitized peridotite, in the sphere of 645...715 °C through dehydration a water-resistant hydraulic cluster – serpentinite cement was obtained. The optimal conditions of serpentinite cement obtaining, the main properties of it and cement-sand mortars were determined.

Keywords: serpentinite cement, hydrosilicate rock, cluster, mortar.

Ո.Զ. ՄԱՐՈՒՄԵԱՍ, Ե.Պ. ՇԱՍԱՅԱՆ

**ՁԵԿ-ԵՐՈՒՄ ԼԱՎԱՐԿԱՅԻՆ ՎԱԿՈՒՈՒՄԻ ՈՐՈՇՄԱՆ ՄԵԹՈԴԻ ՄՇԱԿՈՒՄ
ՂԱՇՎԻ ԱՌԱՋԵԼՈՎ ԿՈՆԴԵՆՍԱՏՈՐԻ ՆԵՐՔԻՆ ՄԱԿԵՐԵՎՈՒՅԹԱՆԵՐԻՆ
ՆԱՏՎԱԾՔԱԳՈՅԱՑՄԱՆ ԴԻՆԱՄԻԿԱՆ**

Դետագուտվել են ՁԵԿ-Երի կոնդենսացիոն տեղակայանքների աշխատանքային լավարկային ռեժիմները: Մշակվել է մերոր կոնդենսատորում լավարկային վակուումի որոշման համար՝ կախված հովացման ներքին մակերևույթներին աղտոտման դիմամիկայի ազդեցությունից:

Առանձգային բաժեք. Լավարկային վակուում, հովացմող ջուր, շրջանառության պոմա, մակերևութային կոնդենսատոր, նստվածքային շերտի հաստություն, հիդրավլիկական դիմադրություն:

ՁԵԿ-Երի և ԱԵԿ-ների կոնդենսացիոն տեղակայանքներում վակուումի լավարկային արժեքների ապահովումը կայանի արդյունավետ աշխատանքի կարևորագույն պայմաններից է: Կոնդենսատորում լավարկային վակուում ասելով հասկանում ենք մնացած հավասար պայմանների դեպքում հովացնող ջրի ծախսի այնպիսի արժեքի ընտրում, որպեսզի բլոկի զարգացրած հզորության և շրջանառության պոնապերի վրա ծախսվող էլեկտրական հզորության միջև տարբերությունը լինի առավելագույնը: Այսինքն:

$$N_t - N_{2\omega} \Rightarrow \max \quad \text{կամ} \quad \Delta N_t - \Delta N_{2\omega} \Rightarrow \max, \quad (1)$$

որտեղ N_t և ΔN_t -ն են բարձրագույն զարգացրած հզորության և վերջինիս փոփոխության արժեքներն են, իսկ $N_{2\omega}$ և $\Delta N_{2\omega}$ -ը՝ շրջանառության պոնապի հզորությունը և վերջինի փոփոխությունը:

(1) առնչությունը դիտարկվող խնդրի մաթեմատիկական ամենաընդհանուր ձևակերպումն է: Այս խնդրին նվիրված աշխատանքներում [1-5] որոշվել են լավարկային վակուում ապահովող հովացնող ջրի ծախսերը տարբեր շոգեբեռնվածքներում և սկզբնական տարբեր ջերմաստիճաններում: Սակայն այդ աշխատանքների վերլուծությունը ցույց տվեց մեկ ընդհանուր թերություն, որը առկա էր գրեթե բոլոր աշխատանքներում: Խոսքը վերաբերում է կոնդենսատորում հովացման պրոցեսի ինտենսիվության վրա եական ազդեցություն ունեցող խողովակների ներսի պատերին նստվածքագոյացման ազդեցությունը հաշվի չափում: Կոնդենսատորների աղտոտման բնութագրի պարամետր ընտրելով նստվածքային շերտի միջին հաստությունը կամ ջերմաստիճանային թերտաքացման չափը՝ (1) առնչության միջոցով կարելի է հրականացնել խնդրի լուծումը՝ միայն տվյալ պահի համար, այսինքն՝ նստվածքային շերտի որոշակի արժեքին համապատասխան: Իրականում կոնդենսատորների աղտոտումն ունի դիմամիկ բնույթ, այսինքն՝ երկու հաջորդական մաքրումների միջև ընկած ժամանակահատվածում անընդհատ աճող ֆունկցիա է: Սակայն առավելացնելու համապատասխան համապատասխան աշխատանքների աղտոտման դիմամիկայի վրա: Ինչպես կարելի է համոզվել [6]-ում առաջարկվող էնպիրիկ բանաձևից, այդ ազդեցությունը եական է, և որքան փոքր է հովացնող ջրի արագությունը կամ առաջարկվող էական է, և որքան փոքր է հովացնող ջրի արագությունը կամ առաջարկվող էական է:

Թյունը կամ ծախսը, այնքան ավելի ինտենսիվ է դառնում նստվածքագոյացման պրոցեսը հովացման ներքին մակերևույթների վրա: Այստեղից կարելի է հետևություն անել, որ խնդրի առավել ամբողջական դիտարկման համար անհրաժեշտ է հովացնող ջրի լավարկային վակուում ապահովող ծախսը որոշել ոչ թե զարգացրած հզորությունների դեպքում, այլ որևէ բնութագրիչ ժամանակահատվածում արտադրված և շրջանառության պոմպերի վրա ծախսված էլեկտրական էներգիաների քանակությունների տարբերության առավելագույն արժեքի որոնման միջոցով, որը հնարավորություն կտա հաշվի առնել նաև ժամանակի ընթացքում աղտոտման դինամիկայի ազդեցությունը: Այսինքն՝ ընդհանուր դեպքում (1) արտահայտությունը կվերափոխվի հետևյալ կերպ:

$$\Theta_t - \Theta_{2\omega} \Rightarrow \max. \quad (2)$$

որտեղ Θ_t -ն կարելի է ներկայացնել տրված ժամանակահատվածում հովացնող ջրի սկզբնական միջին ջերմաստիճանին և շոգեբեռնվածքին համապատասխան էլեկտրաէներգիայի և այդ նույն ժամանակահատվածում աղտոտման հետևանքով էլեկտրաէներգիայի կորստի տարբերությամբ, այսինքն:

$$\Theta_t = N_t \cdot \tau - \int_0^t \Delta N_{\text{աղտ}} d\tau. \quad (3)$$

որտեղ τ -ն բնութագրիչ ժամանակահատվածն է, օրինակ՝ երկու մաքրումների միջև ընկած ժամանակը:

Շրջանառության պոմպերի վրա ծախսվող էլեկտրաէներգիան այդ նույն ժամանակում կլինի հավասար.

$$\Theta_{2\omega} = N_{2\omega} \cdot \tau: \quad (4)$$

Նետեաբար (2) առնչությունը կգրվի հետևյալ կերպ:

$$N_t \cdot \tau - \int_0^t \Delta N_{\text{աղտ}} d\tau - N_{2\omega} \cdot \tau \Rightarrow \max: \quad (5)$$

Տրված τ ժամանակում տեխնիկապես մաքրուր կոնդենսատորի շահագործման դեպքում (5) արտահայտության մեջ երկրորդ անդամը կիավասարվի 0-ի, և կունենանք մասնավոր դեպք՝ (1) առնչությունը: Սակայն հնարավոր է նաև հերթական մաքրումից հետո կրնենաստորի հովացման մակերևույթները չվերադառնան սկզբնական վիճակին, այսինքն՝ առկա լինի նստվածքի որոշակի քանակություն (որը հաճախակի պատահում է իրական շահագործման պայմաններում): Այս դեպքում (5)-ի առաջին և երկրորդ անդամները կորոշվեն՝ հաշվի առնելով տվյալ նստվածքային շերտի սկզբնական արժեքը:

Նշենք նաև, որ (5) արտահայտության էքստրեմումը գտնելու համար այն պետք է դիֆերենցենք ըստ հովացնող ջրի ծախսի, այսինքն՝ առնչության մեջ որպես փոփոխական կիանդիսանա հովացնող ջրի ծախսը կամ նրա հարաբերական չափը հաշվարկայինի նկատմամբ.

$$\beta_G = G_{hp} / G_{hp0}, \quad (6)$$

որտեղ G_{hp} և G_{hp0} հովացնող ջրի ծախսի ընթացիկ և հաշվարկային արժեքներն են:

(5)-ում N_t և $\Delta N_{\text{աղտ}}$ -ը կորոշվեն [7]-ում առաջարկվող մեթոդիկայի հիման վրա, որը հաշվի է առնում կոնդենսատորների աղտոտման հետևանքով ջերմային և հիդրավլիկական ռեժիմների փոփոխությունները աշխատանքային ցուցանիշների վրա:

Ինչպես կարելի է նկատել ($N_t \cdot \tau - \int_0^t \Delta N_{\text{աղտ}} dt$), տարբերությունը հմարավոր է ներկայացնել $\int_0^t N_{\text{աղտ}} dt$ տեսքով, որը կներառի աղտոտման հետևանքով հզորության

անկման մեջության չափը: Սակայն վերջինիս վերաբերյալ առանձին վերլուծության համար առավել նպատակահարմար է խնդրի (5) տեսքով ներկայացումը: Այսպիսով, N_t -ը կորոշենք առանձին, որտեղ տրված շոգեբեռնվածքի դեպքում հիմնական փոփոխականներն են հովացնող ջրի սկզբնական ջերմաստիճանը, նստվածքային շերտի հաստության ելակետային արժեքը և հովացնող ջրի բացարձակ կամ հարաբերական ծախսը.

$$N_t = f(t_{1h}, \delta_0, \beta_G): \quad (7)$$

(5)-ում երկրորդ անդամը ներկայացնում է $\Delta N_{\text{աղտ}}$ մեջության ինտեգրալային արժեքը $0 \dots \tau$ սահմաններում: Այսինքն՝ անհրաժեշտություն է առաջանալու ինտեգրելի բանաձև: [8]-ում հիմք ընդունելով [9]-ը՝ մշակվել է կոնդենսատորների աղտոտման հետևանքով հզորության անկման չափի որոշման եռագործություն մաթեմատիկական մոդել՝ կանված հովացնող ջրի սկզբնական ջերմաստիճանից, նստվածքային շերտի հաստությանց և հովացնող ջրի հարաբերական ծախսից:

$$\Delta N_{\text{աղտ}} = f(t_{1h}, \delta, \beta_G): \quad (8)$$

(8)-ը բազմանդամային տեսքով հետևյալն է.

$$\begin{aligned} \Delta N_{\text{աղտ}} &= E_2 \delta + E_{12} t_{1h} \delta + E_{22} \delta^2 + E_{23} \delta \beta_G + E_{112} t_{1h}^2 \delta + \\ &+ E_{122} t_{1h} \delta^2 + E_{123} t_{1h} \delta \beta_G + E_{223} \delta^2 \beta_G + E_{233} \delta \beta_G^2 + E_{1122} t_{1h}^2 \delta^2 + \\ &+ E_{1123} t_{1h}^2 \delta \beta_G + E_{1223} t_{1h} \delta^2 \beta_G + E_{1233} t_{1h} \delta \beta_G^2 + E_{2233} \delta^2 \beta_G^2 + \\ &+ E_{11223} t_{1h}^2 \delta^2 \beta_G + E_{11233} t_{1h}^2 \delta \beta_G^2 + E_{12233} t_{1h} \delta^2 \beta_G^2 + E_{112233} t_{1h}^2 \delta^2 \beta_G^2 : \end{aligned} \quad (9)$$

Իրականացված մաթեմատիկական ձևափոխությունների արդյունքում [10] առաջարկվում է կոնդենսատորների աղտոտման հետևանքով, ժամանակից կախված հզորության անկման չափի որոշվող ինտեգրելի արտահայտություն, որի տեսքը հետևյալն է:

$$\Delta N_{\text{աղտ.}} = M \cdot \left(\frac{\frac{Y_1 X_2 - Y_2 X_1}{X_2 - X_1} \cdot \frac{Y_2 - Y_1}{X_2 - X_1}}{\rho_{\text{նստ.}}} \right)^2 + K \cdot \left(\frac{\frac{Y_1 X_2 - Y_2 X_1}{X_2 - X_1} \cdot \frac{Y_2 - Y_1}{X_2 - X_1}}{\rho_{\text{նստ.}}} \right), \quad (10)$$

որտեղ M և K ներկայացնում են.

$$M = (E_{112233} t_{1hg}^2 \beta_G^2 + E_{11233} t_{1hg} \beta_G^2 + E_{11223} t_{1hg}^2 \beta_G + E_{11233} \beta_G^2 + \\ + E_{1123} t_{1hg}^2 \beta_G + E_{1122} t_{1hg}^2 + E_{113} \beta_G + E_{112} t_{1hg} + E_{11}),$$

$$K = (E_{12233} t_{1hg}^2 \beta_G^2 + E_{1223} t_{1hg}^2 \beta_G + E_{1233} t_{1hg}^2 \beta_G + E_{122} t_{1hg}^2 + E_{123} t_{1hg} \beta_G + \\ + E_{133} \beta_G^2 + E_{12} t_{1hg} + E_{13} \beta_G + E_{11}).$$

իսկ $Y_1 = \lg \bar{J}_{1(3000)}$, $Y_2 = \lg \bar{J}_{2(6000)}$, $X_1 = \lg 3000$, $X_2 = \lg 6000$:

(10) արտահայտության ինտեգրալը 0-ից τ տիրություն հավասար է.

$$\int_0^{\tau} \Delta N_{\text{արդ}} d\tau = \frac{M \cdot 10}{(\rho_{\text{նախ.}})^2} \cdot \frac{1}{2 \cdot \frac{Y_2 - Y_1}{X_2 - X_1} + 1} \cdot \left[\tau_{\text{opt}} \cdot \left(2 \cdot \frac{Y_2 - Y_1}{X_2 - X_1} + 1 \right) + \frac{K \cdot 10}{\rho_{\text{նախ.}}} \cdot \frac{Y_1 X_2 - Y_2 X_1}{X_2 - X_1} \cdot \frac{1}{\frac{Y_2 - Y_1}{X_2 - X_1} + 1} \cdot \tau_{\text{opt}} \cdot \left(\frac{Y_2 - Y_1}{X_2 - X_1} + 1 \right) \right]; \quad (11)$$

(11) բանաձևը վերաբերում է այն դեպքին, եթե ժամանակի սկզբնապահին կոնդենսատորը գտնվում է մաքուր վիճակում, սակայն ինչպես նշվեց վերևում, իրական պայմաններում առկա է որոշակի δ_0 նստվածքային շերտ, որը հաշվի առնելով, կը նրանի հետևյալ տեսքը.

$$\int_{\tau_0}^{\tau} \Delta N_{\text{արդ}} d\tau = \frac{M \cdot 10}{(\rho_{\text{նախ.}})^2} \cdot \frac{1}{2 \cdot \frac{Y_2 - Y_1}{X_2 - X_1} + 1} \left[\left(\tau \cdot \left(2 \cdot \frac{Y_2 - Y_1}{X_2 - X_1} + 1 \right) - \tau_0 \cdot \left(2 \cdot \frac{Y_2 - Y_1}{X_2 - X_1} + 1 \right) \right) + \right. \\ \left. + \frac{K \cdot 10}{\rho_{\text{նախ.}}} \cdot \frac{Y_1 X_2 - Y_2 X_1}{X_2 - X_1} \cdot \frac{1}{\frac{Y_2 - Y_1}{X_2 - X_1} + 1} \left(\tau \cdot \left(\frac{Y_2 - Y_1}{X_2 - X_1} + 1 \right) - \tau_0 \cdot \left(\frac{Y_2 - Y_1}{X_2 - X_1} + 1 \right) \right) \right]; \quad (12)$$

որտեղ τ_0 -ն կորոշվի՝ կախված δ_0 մեծությունից.

$$\tau_0 = \left(\frac{\delta_0 \cdot \rho_{\text{նախ.}}}{\frac{Y_1 X_2 - Y_2 X_1}{X_2 - X_1}} \right)^{\frac{X_2 - X_1}{Y_2 - Y_1}};$$

(11) և (12) արտահայտություններով կարող ենք հաշվել տրված τ ժամանակամատվածում կոնդենսատորների աղտոտման հետևանքով չարտադրված էլեկտրականացման պարամետրին, ապա այն որպես փոփոխական հաշվի է առնվում

$Y_1 = \lg \bar{J}_{1(3000)}$, $Y_2 = \lg \bar{J}_{2(6000)}$ արտահայտություններում, որոնց որոշվում են.

$$\left\{ \begin{array}{l} Y_1 = \lg \bar{J}_{1(3000)} = \lg \frac{0,6 \cdot \left(\frac{L}{d_0} \right)^{0,25} w^{-1,875} \times 0,288 \cdot 57,8}{2 \left(\bar{t}_I^{0,37} + \bar{t}_{II}^{0,37} \right)}, \\ Y_2 = \lg \bar{J}_{2(6000)} = \lg \frac{0,6 \cdot \left(\frac{L}{d_0} \right)^{0,25} w^{-2,36} \times 0,38 \cdot 77,5}{2 \left(\bar{t}_I^{0,44} + \bar{t}_{II}^{0,44} \right)}; \end{array} \right. \quad (13)$$

(13)-ում w հովացնող ջրի արագությունը ըստ անխօելիության հավասարման կորոշվի.

$$w = \frac{4\beta_G G_{hg0} Z}{\rho_g \pi d_0^2 N}, \quad (14)$$

որտեղ Z -ը կոնդենսատորում ջրի քայլերի թիվն է, ρ_g -ը՝ ջրի խտությունը, G_{hg0} , N -ը՝ կոնդենսատորում խողովակների թիվը:

(5)-ում երրորդ անդամը շրջանառության պոմպերի վրա ծախսվող էլեկտրական էներգիայի քանակությունն է: Կախված ջրամատակարարման համակարգի տեսակից (ուղղահոս, շրջապտույտային), պոմպերի քանակից, ջրի մատուցման անհատական կամ կենտրոնական (ընդհանուր կոլեկտորով) եղանակից, $N_{2\mu}$ -ը կունենա տարբեր արժեքներ և կորոշվի տարբեր կերպ: Ընդհանուր դեպքում $N_{2\mu}$ -ը կորոշվի՝ ըստ շրջանառության կոնտուրի հիդրավլիկական դիմադրության և մովող ջրի ծախսի.

$$N_{2\mu} = \frac{kG_{hg} \Delta H \cdot 10}{\rho_g \eta_{\mu}}, \quad (15)$$

որտեղ k -ն գործակից է, որը հաշվի է առնում յուղա և գազահովացուցիչների, առանցքակալների հովացման, հիդրոխարամահեռացման և այլ նպատակներով ծախսվող ջրի քանակները: Այդ գործակիցը միջին և բարձր հզորության էներգաբլոկների համար կազմում է կոնդենսատորի հովացման համար անհրաժեշտ ջրի քանակության 3...7 %-ը, ΔH -ը հիդրավլիկական դիմադրությունները հաղթահարելու համար ճնշման էջըն է, η_{μ} -ը պոմպի օ.գ.գ.-ն:

ΔH -ը որոշվում է.

$$\Delta H = \Delta H_{\mu} + \Delta H_{2\mu} + h, \quad (16)$$

որտեղ ΔH_{μ} -ն կոնդենսատորի հիդրավլիկական դիմադրությունն է, h , $\Delta H_{2\mu}$ -ը՝ մատակարարող և հետադարձ խողովակագծերում հիդրավլիկական դիմադրությունը, h -ը ջրի վերհանման գեղեցիկական բարձրությունը, որը հավասար է ջրնետման և ջրընդունման մակարդակների տարբերությանը, ΔH_{μ} -ն կորոշվի [11]-ում առաջարկվող բանաձևով: Ընդ որում, բանաձևում միակ փոփոխվող մեծությունը հովացնող ջրի արագությունն է, որը արտահայտելով

ջրի ծախսով և մնացած պարամետրերի ամբողջությունը նշանակելով Q_1 տառով, կարող ենք գրել.

$$\Delta H_{\text{լ}} = Q_1 \beta_G^{\frac{1}{2}} : \quad (17)$$

Ծոչանառության կոնտուրի հիդրավլիկական դիմադրությունը կորոշվի Դարսի-Վեյսբախի բանաձևով, որը կարելի է նույնպես ներկայացնել հետևյալ կերպ.

$$\Delta H_{\text{զ}} = Q_2 \beta_G^{\frac{1}{2}} : \quad (18)$$

(17) և (18)-ը տեղադրելով (15)-ում՝ կարող ենք գրել.

$$N_{\text{շպ}} = \frac{kG_{\text{հց}} \beta_G (Q_1 \beta_G^{\frac{1}{2}} + Q_2 \beta_G^{\frac{1}{2}} + h) \cdot 10}{P_g \eta_{\text{պ}}} : \quad (19)$$

(19)-ում միակ փոփոխականը հովացնող ջրի ծախսն է, այսինքն՝ տվյալ պարագայում.

$$N_{\text{շպ}} = f(\beta_G) : \quad (20)$$

Արդյունքում (5) առնչությունը դիֆերենցելով ըստ β_G -ի, հավասարեցնելով 0-ի և լուծելով՝ կորոշենք հովացնող ջրի ծախսի այն արժեքը, որը կապահովի սպառողներին բաց թողնվող էլեկտրաէներգիայի առավելագույն քանակություն՝ հաշվի առնելով կոնդենսատորի հովացման ներքին մակերևույթներին նստվածքային շերտի առկայությունը և տրված բնութագրիչ ծամանակահատվածում նստվածքագոյացման դինամիկան:

ԳՐԱԿԱՆՈՒԹՅԱՆ ՑԱՍԿ

1. Егоров В.Е. Оптимизация с помощью вычислительной машины режима циркуляционного водоснабжения // Электрические станции.-1975.- № 11.-С. 71-73.
2. Кикиш О.В. Оптимизация работы системы технического водоснабжения Приднепровской ГРЭС // Электрические станции.-1982.- № 6.- С. 40-53.
3. Бернштейн В.А., Клямкин С.Л., Рывкин М.И. Определение оптимального вакуума конденсационных паровых турбин с индивидуальными циркуляционными насосами // Промышленная энергетика.-1986.- № 3.- С. 36-37.
4. Зустманович Л.Б., Федотов В.И. Определение оптимального расхода циркуляционной воды на блоке мощностью 800 МВт // Теплоэнергетика.-1984.- № 2.- С. 27-30.
5. Завидин А.П. Расчет на ЭВМ оптимальных режимов работы конденсационной установки турбины К-300-240 ХТГЗ // Электрические станции.-1986.- № 2.- С. 72-73.
6. Буглаев В.Т., Лифшиц М.Н., Татаринцева Т.Н. Некоторые особенности процесса отложения в трубках конденсаторов ППУ // Известия вузов. Серия Машиностроение.-1983.- № 7.-С. 56-59.
7. Մարուխյան Ռ.Զ., Շամամյան Ե.Ռ. ՁԵԿ-երի մակերևութային կոնդենսատորների աղտոտման հետևանքով ջերմային ռեժիմի փոփոխության հաշվարկի մեթոդ // ՀՀ ԳԱԱ և ԴՊԲՀ Տեղեկագիր. Տեխն. գիտ. սերիա.-2009.-Դ.62, № 2.- էջ 163-170:
8. Շամամյան Ե.Ռ. ՁԵԿ-երի մակերևութային կոնդենսատորների աղտոտման հետևանքով էլեկտրական հզորության աճկման մաքեմատիկական մոդելի մշակումը // ՀՀՍ ԼՐՄԲԵՐ.-2009.-Դ.6, № 3.-էջ 377-380:

9. Баласанян Б.С., Акопян М.Г., Баласанян А.Б. Методика разработки виртуального прибора в среде LabView для моделирования трехфакторных экстремальных технологических процессов // "Технологии и техника автоматизации - 2008": Сб. тр. Междунар. науч.-техн. конф., посвящ. 75-летию ГИУА. -2008.-С.183-195.
- 10.Մարտիկյան Ռ.Զ., Չամամյան Ե.Ռ. ՁԵԿ-երի մակերևութային կոնդենսատորների պարբռական նաքրումների արդյունավետ ժամանակացույցի որոշման մեթոդի մշակում // ՀՀ ԳԱԱ և ՀՊԲՀ Տեղեկագիր. Տեխն. գիտ. սերիա. -2009.-Դ.62, № 3.-էջ 318-329:
- 11.Технико-экономические основы выбора параметров КЭС / Под ред. Л.С. Стермана. - М.: Высшая школа, 1970.- 280 с.

ՀՊԲՀ(Պ). Նյութը ներկայացվել է խմբագրություն 13.09.2010:

В.З. МАРУХЯН, Е.Р. ШАМАМЯН

РАЗРАБОТКА МЕТОДА ОПРЕДЕЛЕНИЯ ОПТИМАЛЬНОГО ВАКУУМА НА ТЭС С УЧЕТОМ ДИНАМИКИ НАКИПЕОБРАЗОВАНИЯ НА ВНУТРЕННИХ ПОВЕРХНОСТЯХ КОНДЕНСАТОРА

Исследованы оптимальные режимы работы конденсационных устройств ТЭС. Разработан метод определения оптимального вакуума в конденсаторах, который учитывает влияние динамики загрязнения на внутренних охлаждаемых поверхностях.

Ключевые слова: оптимальный вакуум, охлаждающая вода, циркуляционный насос, поверхностный конденсатор, толщина слоя накипи, гидравлическое сопротивление.

V.Z. MARUKHYAN, YE.R. SHAMAMYAN

A METHOD FOR DEFINING THE OPTIMAL VACUUM DEVELOPMENT IN TPP DUE TO SCALE FORMATION DYNAMICS ON INNER SURFACES OF CONDENSER

The optimal operation regimes of TPP condensers are studied. A method defining the optimal vacuum in condensers which includes the influence of the pollution dynamics on inner cooling surfaces is developed.

Keywords: optimal vacuum, cooling water, circulating pump, surface condenser, thickness of scale formation, hydraulic resistance.

Л.В. ЕГИАЗАРЯН, В.С. САФАРЯН, Л.О. КАРАХАНЯН, А.С. АРУТЮНЯН

ИССЛЕДОВАНИЕ ЭЛЕКТРИЧЕСКОГО ПОЛЯ ТРЕХФАЗНОЙ ЛИНИИ С РАСПОЛОЖЕННЫМИ В ГОРИЗОНТАЛЬНОЙ ПЛОСКОСТИ ПРОВОДАМИ

На основе аналитического метода расчета напряженности электрического поля (ЭП) трехфазной воздушной линии проанализирована интенсивность ЭП в пространстве между фазными проводами и землей. По результатам численного расчета напряженности ЭП показано, что вектор напряженности никогда не обращается в нуль, а описывает в течение одного периода синусоидальных фазных напряжений эллипс. Определены экстремальные значения напряженности (большая и малая оси эллипса).

Ключевые слова: высоковольтные воздушные линии, электрическое поле, вертикальная и горизонтальная составляющие вектора напряженности.

В настоящее время всё большее внимание уделяется биологическому и физиологическому влиянию высоковольтных линий (ВЛ) электропередачи. Основным показателем указанного влияния является напряженность ЭП, посредством которой определяется степень её влияния на обслуживающих электроустановки людей и окружающую среду [2-4]. В связи с этим важной задачей является получение профилей распределения напряженности ЭП в пространстве между фазными проводами ВЛ и поверхностью земли с учётом вращающегося характера ЭП трехфазной линии, чтобы выяснить, опасны ли эти поля для людей и жизни живых организмов. При этом вектор напряженности ЭП ВЛ в течение периода синусоидально изменяющихся фазных напряжений не обращается в нуль, описывая эллипс (в некоторых точках — окружность).

В настоящей статье приводятся результаты аналитического расчета вертикальной и горизонтальной составляющих вектора напряженности электрического поля ВЛ и дается анализ полученных численных значений напряженности на примере реальных геометрических параметров линии 220 кВ.

На рис. 1 показаны сечения трехфазных проводов радиуса r_n с расстоянием между фазами D и высотой геометрических центров фаз над землей, равной H. Показаны также зеркальные отображения центров фаз в плоскости земли. Линейные плотности зарядов фазных проводов обозначены через t_1 , t_2 , t_3 , а зеркальных отображений — через $-t_1$, $-t_2$ и $-t_3$.

Вектор напряженности ЭП в точке, находящейся на расстоянии x по горизонтальной оси и у по вертикальной оси (рис. 1), определяется геометрическим суммированием его составляющих от зарядов t_1 , t_2 , t_3 , $-t_1$, $-t_2$, $-t_3$, соответствующих фазам А, В, С.

Мгновенные значения вертикальной (E_y) и горизонтальной (E_x) составляющих напряженности ЭП в рассматриваемой точке равны соответственно:

$$E_y(t) = \frac{\tau_1}{2\pi\epsilon_0} \frac{H-y}{(H-y)^2+x^2} + \frac{\tau_2}{2\pi\epsilon_0} \frac{H-y}{(H-y)^2+(D+x)^2} + \frac{\tau_3}{2\pi\epsilon_0} \frac{H-y}{(H-y)^2+(2D+x)^2} + \\ + \frac{\tau_1}{2\pi\epsilon_0} \frac{H+y}{(H+y)^2+x^2} + \frac{\tau_2}{2\pi\epsilon_0} \frac{H+y}{(H+y)^2+(D+x)^2} + \frac{\tau_3}{2\pi\epsilon_0} \frac{H+y}{(H+y)^2+(2D+x)^2}, \quad (1)$$

$$E_x(t) = -\frac{\tau_1}{2\pi\epsilon_0} \frac{x}{(H-y)^2+x^2} - \frac{\tau_2}{2\pi\epsilon_0} \frac{D+x}{(H-y)^2+(D+x)^2} - \frac{\tau_3}{2\pi\epsilon_0} \frac{2D+x}{(H-y)^2+(2D+x)^2} + \\ + \frac{\tau_1}{2\pi\epsilon_0} \frac{x}{(H+y)^2+x^2} + \frac{\tau_2}{2\pi\epsilon_0} \frac{D+x}{(H+y)^2+(D+x)^2} + \frac{\tau_3}{2\pi\epsilon_0} \frac{2D+x}{(H+y)^2+(2D+x)^2}. \quad (2)$$

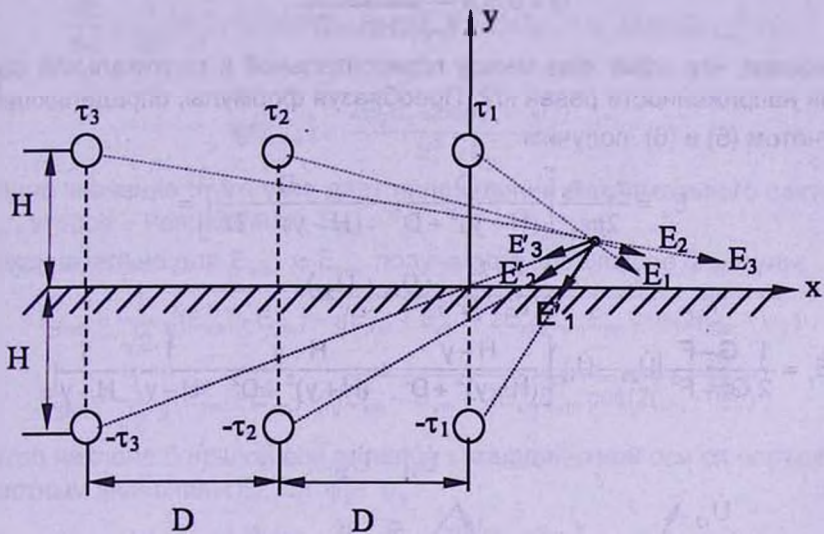


Рис. 1. К определению вектора напряженности ЭП трехфазной линии

Предполагается, что сумма зарядов всех фаз равна нулю:

$$\tau_1 + \tau_2 + \tau_3 = 0. \quad (3)$$

Выразив τ_2 через τ_1 и τ_3 , уравнение (2) принимает следующий вид:

$$E_x(t) = \frac{\tau_1}{2\pi\epsilon_0} \left[\frac{x}{(H-y)^2+x^2} - \frac{D+x}{(H-y)^2+(D+x)^2} - \frac{x}{(H+y)^2+x^2} + \right. \\ \left. + \frac{D+x}{(H+y)^2+(D+x)^2} \right] + \frac{\tau_3}{2\pi\epsilon_0} \left[\frac{2D+x}{(H-y)^2+(2D+x)^2} - \frac{D+x}{(H-y)^2+(D+x)^2} + \right. \\ \left. + \frac{D+x}{(H+y)^2+(D+x)^2} - \frac{2D+x}{(H+y)^2+(2D+x)^2} \right]. \quad (4)$$

В комплексной форме E_x и E_y выражаются аналогично, заменив мгновенные значения τ_1, τ_2, τ_3 на их комплексы $\hat{\tau}_1, \hat{\tau}_2, \hat{\tau}_3$.

Комплексные значения линейных плотностей зарядов можно выразить через линейные напряжения \dot{U}_{12} , \dot{U}_{23} и \dot{U}_{31} [1]:

$$\dot{\tau}_1 = \pi \epsilon_0 \frac{\dot{U}_{12} F + \dot{U}_{23} G}{F^2 - G^2}, \quad \dot{\tau}_2 = \pi \epsilon_0 \frac{\dot{U}_{23} - \dot{U}_{12}}{F + G}, \quad \dot{\tau}_3 = -\pi \epsilon_0 \frac{\dot{U}_{23} F + \dot{U}_{12} G}{F^2 - G^2}.$$

где постоянные F и G определяются геометрическими параметрами r_n , D , H следующими выражениями:

$$F = L n \frac{2DH}{r_n \sqrt{(2H)^2 + D^2}}, \quad (5)$$

$$G = 0.5 L n \frac{2DH \sqrt{H^2 + D^2}}{r_n \sqrt{(2H)^2 + D^2}}. \quad (6)$$

Покажем, что сдвиг фаз между горизонтальной и вертикальной составляющими напряженности равен $\pi/2$. Преобразуя формулы, определяющие E_x и E_y , с учетом (5) и (6) получим

$$\begin{aligned} E_x &= \frac{\tau_1 - \tau_3}{2\pi\epsilon_0} \left[\frac{D}{(H+y)^2 + D^2} - \frac{D}{(H-y)^2 + D^2} \right] = \\ &= \frac{F+G}{2(F^2-G^2)} (\dot{U}_{12} + \dot{U}_{23}), \end{aligned} \quad (7)$$

$$E_y = \frac{1}{2} \frac{G-F}{G^2-F^2} (\dot{U}_{23} - \dot{U}_{12}) \left[\frac{H-y}{(H-y)^2 + D^2} + \frac{H+y}{(H+y)^2 + D^2} - \frac{1}{H-y} - \frac{1}{H+y} \right]. \quad (8)$$

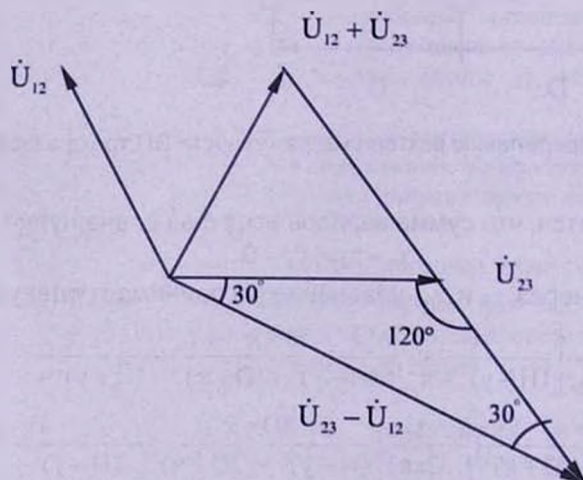


Рис. 2. Векторная диаграмма линейных напряжений

На рис. 2 представлены векторы симметричных напряжений \dot{U}_{12} , \dot{U}_{23} , а также $\dot{U}_{12} + \dot{U}_{23}$ и $\dot{U}_{23} - \dot{U}_{12}$ (при условии $\dot{U}_{23} = U_{23}$).

Из диаграммы следует, что

$$u_{12} + u_{23} = \sqrt{2} U \sin(\omega t + 60^\circ),$$

$$u_{23} - u_{12} = \sqrt{2} U \sin(\omega t - 30^\circ).$$

Таким образом, векторы E_x и E_y перпендикулярны и сдвинуты по фазе на 90° , что подтверждает врачающийся характер ЭП трехфазной линии.

Углы направления вектора напряженности ψ_m , соответствующие его экстремальным модулям, получаем из равенства нулю производной \dot{E} по углу ψ :

$$\frac{dE}{d\psi} = \frac{1}{2E} [(E_y^2 - E_x^2) \sin(2\psi_m) + 2E_y E_x \cos(\psi_x - \psi_y) \cos(2\psi_m)] = 0, \quad (9)$$

откуда

$$\operatorname{tg}(2\psi_m) = \frac{2E_y E_x \cos(\psi_x - \psi_y)}{E_x^2 - E_y^2}. \quad (10)$$

Одно значение этого угла дает направление максимального вектора поля E_{\max} , второе — направление E_{\min} .

Окончательно для E_{\max} и E_{\min} получаются следующие формулы:

$$E_{\max} = \frac{1}{\sqrt{2}} \sqrt{(E_{xm}^2 + E_{ym}^2) + \sqrt{E_{xm}^4 + E_{ym}^4 + 2E_{xm}^2 E_{xm}^2 E_{ym}^2 \cos(2(\psi_x - \psi_y))}}, \quad (11)$$

$$E_{\min} = \frac{1}{\sqrt{2}} \sqrt{(E_{xm}^2 + E_{ym}^2) - \sqrt{E_{xm}^4 + E_{ym}^4 + 2E_{xm}^2 E_{ym}^2 \cos(2(\psi_x - \psi_y))}}. \quad (12)$$

Угол наклона большой оси эллипса к координатной оси ox определяется по известным значениям E_x , E_y , ψ_x , ψ_y :

$$\gamma = \frac{1}{2} \operatorname{arctg} \frac{2E_{xm} E_{ym} \cos(\psi_x - \psi_y)}{E_{xm}^2 - E_{ym}^2}. \quad (13)$$

Результаты расчета распределения вертикальной и горизонтальной составляющих напряженности электрического поля ВЛ 220 кВ по формулам (7) и (8) для разных высот u над землей приведены на рис. 3-5. Для указанной ВЛ геометрические параметры имели следующие значения: $r_n=1,51$ см, $D=7$ м, $H=7,5$ м. Согласно (7), на поверхности земли ($u=0$) горизонтальная составляющая напряженности равна нулю, и имеется только составляющая E_y . В связи с этим графики зависимости E_x и E_y от координаты x , построены начиная с $u=0,2$ м.

С увеличением высоты над землей возникает составляющая E_x , имеющая максимумы в точках a и b , отстоящих от проекции крайней фазы на 10 и 3 м соответственно. Вертикальная составляющая E_y в этих же точках имеет наименьшее значение.

Как видно из рис. 3-5, существуют две точки расчетного промежутка между фазными проводами, в которых вертикальная составляющая прини-

мает максимальные значения (точки с и d). Абсциссы этих точек равны 15 и 1 м соответственно.

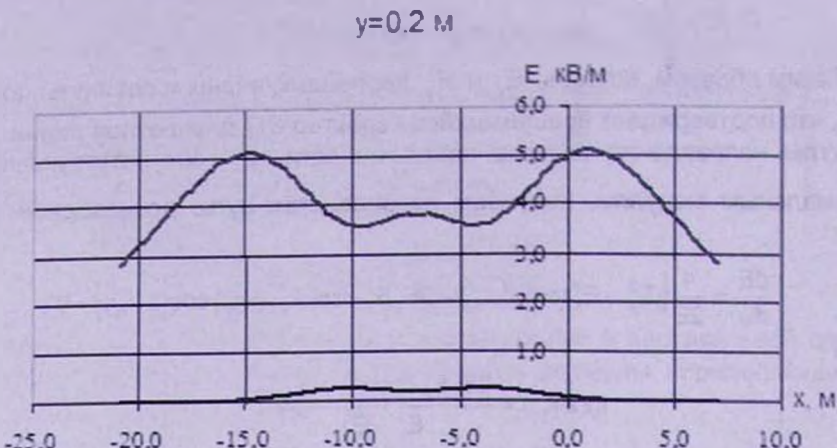


Рис. 3. Зависимость вертикальной и горизонтальной составляющих напряженности от координаты x при $y=0,2 \text{ м}$

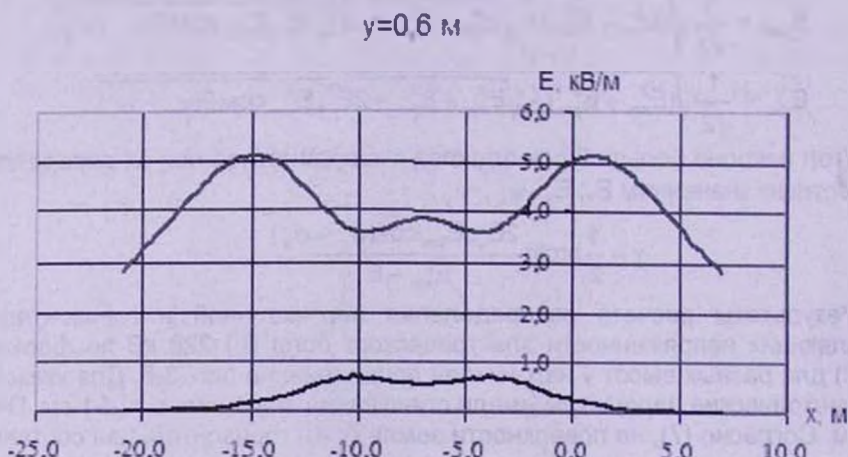


Рис. 4. Зависимость вертикальной и горизонтальной составляющих напряженности от координаты x при $y=0,6 \text{ м}$

В середине между крайними фазами горизонтальная и вертикальная составляющие принимают экстремальные значения: $E_{y\max}$ и $E_{x\max}$. С удалением от поверхности земли к фазным проводам наблюдается существенное возрастание горизонтальной составляющей E_x и сближение к значениям вертикальной составляющей E_y .

На рис. 6 представлен эллипс – геометрическое место конца вектора напряженности в точке с координатами $y=2,4 \text{ м}$ и $x=0$ (под первой фазой).

Длины полуосей эллипса соответственно равны $E_{\max} = 5,894 \text{ кВ/м}$ и $E_{\min} = 1,046 \text{ кВ/м}$. Угол наклона длинной оси к горизонту составил $\gamma = 0,214 \text{ рад}$.

$$y=1.8 \text{ м}$$

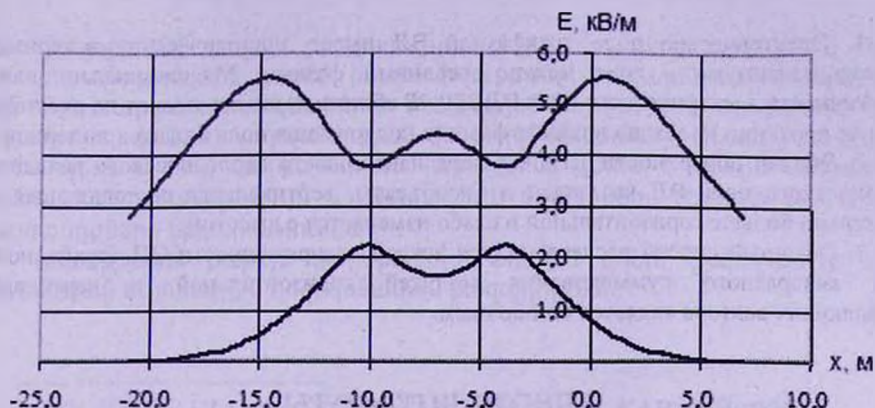


Рис. 5. Зависимость вертикальной и горизонтальной составляющих напряженности от координаты x при $y=1,8 \text{ м}$

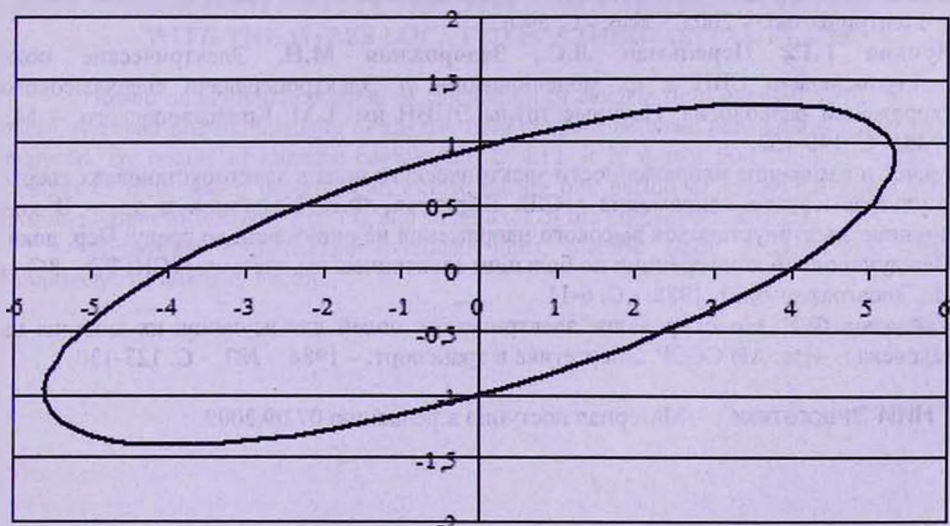


Рис. 6. Геометрическое место конца вектора напряженности в точке с координатами $y = 2,4 \text{ м}$ и $x = 0$

По результатам численного расчета составляющих напряженности электрического поля ВЛ 220 кВ E_x , E_y и экстремальных значений вектора из рис. 6 построен описанный им эллипс для точки с координатами $x=0$, $y=2,4$ м от поверхности земли (под первой фазой).

Выводы

1. Электрическое поле трехфазной ВЛ имеет эллиптическую поляризацию, достигая максимума в зоне между соседними фазами. Максимальные значения напряженности электрического поля ВЛ 220 кВ вблизи земли возникают на расстояниях 1...2 м от проекции на землю крайних фаз, где поляризация поля близка к линейной.
2. Вблизи поверхности земли, в зоне наибольшего экологического воздействия электрического поля ВЛ на людей и биообъекты, вертикальная составляющая поля значительно больше горизонтальной и слабо изменяется с высотой.
3. Обычный способ расчета модуля вектора напряженности ЭП трехфазной ВЛ путем квадратного суммирования модулей горизонтальной и вертикальной составляющих вектора является ошибочным.

СПИСОК ЛИТЕРАТУРЫ

1. Цицикан Г.Н. Расчет электрического поля высоковольтной линии на уровне земли // Электричество. – 2005. - № 6. - С. 59-63.
2. Пучков Г.Г., Перепьман Л.С., Задорожная М.Н. Электрические поля электропередачи СВН и их моделирование // Электропередачи сверхвысокого напряжения и экология: Научные труды ЭНИИ им. Г.М. Кржижановского. – М., 1988. - С. 140-153.
3. Расчет и измерение напряженности электрического поля в электроустановках сверх- и ультравысокого напряжения / С.В. Бирюков, Ф.Г. Кайданов и др. – В кн.: Влияние электроустановок высокого напряжения на окружающую среду: Пер. докл. Международной конференции по большим электрическим системам (СИГРЭ – 86). – М.: Энергоатомиздат, 1988. - С. 6-11.
4. Кайданов Ф.Г. Моделирование электрических полей для изучения их влияния на человека // Изв. АН СССР. Энергетика и транспорт. – 1984. - №1. - С. 123-130.

ЗАО "НИИ Энергетики". Материал поступил в редакцию 07.09.2009.

L.Վ. ԵՂԻԱԶԱՐՅԱՆ,

Վ.Ս. ՍԱՖԱՐՅԱՆ, L.Հ. ԿԱՐԱԽԱՆՅԱՆ, Ա.Ս. ՀԱՐՈՒԹՅՈՒՆՅԱՆ

ՐՈՒԴՅՈՆՆԱԿԱՆ ՋԱՐԹՈՒԹՅԱՆ ՄԵԶ ԴԱՍԱՎՈՐՎԱԾ ՔԱՂՈՐԴԱԼԱՐԵՐՈՎ
ԵԿԱՆԱԶ ԳԾԻ ԷԼԵԿՏՐԱԿԱՆ ԴԱԾԻ ԴԵՏԱՑՈՒՆՈՒԾ

Ելեկտրական դաշտի լարվածության (ԵՎ) հաշվարկի անալիտիկ մեթոդի հիման վրա վերլուծվել է դաշտի հնտենսիվությունը՝ ֆազային հաղորդալարերի և գետնի միջև տարածության կետերում: ԵՎ թվային հաշվարկի արդյունքների հիման վրա ցույց է տրված, որ լարվածության վեկտորը ժամանակի ընթացքում գործում է էլիպս: Որոշված են լարվածության առավելագույն և նվազագույն արժեքները (էլիպսի մեծ և փոքր կիսաառանցքների երկարությունները):

Առանձքային բառեր. բարձրավոլտ օդային գծեր, էլեկտրական դաշտ, լարվածության ուղղաձիգ և հորիզոնական բաղադրիչներ:

L.V. YEGHIAZARYAN,

V.S. SAFARYAN, L.H. KARAKHANYAN,

A.S. HARUTYUNIAN

RESEARCH OF ELECTRIC FIELD OF A THREE-PHASE LINE WITH THE WIRES LOCATED IN A HORIZONTAL PLANE

Based on analytical method of calculation of electric field intensity (EFI) for a three-phase overhead line the intensity of electric field in space between phase wires and the earth is analysed. By results of numeric calculations of EFI, it is shown that intensity vector never changes to zero, and it describes an ellipse during one period of sinusoidal phase voltages. Extreme values of intensity (the big and small axes of the ellipse) are defined.

Keywords: high-voltage overhead lines, electric field, vertical and horizontal components of intensity vector.

Г.А. БУРНАЧЯН, М.Ф. ЭЛБАКЯН

ОПТИМИЗАЦИЯ ВНУТРИСТАНЦИОННЫХ РЕЖИМОВ ТЭЦ, РАБОТАЮЩЕЙ В ТЕПЛОВОЙ ЭНЕРГОСИСТЕМЕ

Исследуются вопросы оптимального распределения электрических и тепловых нагрузок между агрегатами теплоэлектроцентрали (ТЭЦ) с учетом оптимизации электрических режимов со станциями энергосистемы. Рассмотрен пример оптимального распределения электрической и тепловой нагрузок между агрегатами ТЭЦ и энергетической системой.

Ключевые слова: энергетика, энергетическая система, относительный прирост расхода топлива, оптимальное распределение нагрузки.

Выбор оптимальных режимов работы агрегатов ТЭЦ должен быть тесно взаимосвязан с режимами работы станций тепловой энергосистемы по электрическим мощностям. Однако при оптимизации внутристанционных режимов ТЭЦ необходимо распределить не только электрическую, но и, в первую очередь, тепловую нагрузку, что создает определенные трудности при взаимоувязке с режимами энергосистемы. Поэтому при выборе оптимальных режимов тепловых станций энергосистемы электрические режимы работы ТЭЦ часто принимаются заведомо заданными исходя из условий работы по теплофикационному режиму. Такой подход в реальных условиях неприемлем, поскольку в ряде энергосистем доля ТЭЦ доходит до 30%. В этих случаях выбор оптимальных внутристанционных режимов ТЭЦ с учетом ее работы в энергосистеме для покрытия электрических нагрузок позволит значительно повысить эффективность этих станций.

Постановка задачи. Рассматривается некоторая гипотетическая концентрированная энергосистема, состоящая из "m" конденсационных станций и одной ТЭЦ, оборудованной производственно-теплофикационной (ПТ), теплофикационной (Т) и противодавленческой (Р) турбинами, питаемыми котлами одинаковой паропроизводительности (рис. 1).

При оптимизации режима энергосистемы, включая и ТЭЦ, в качестве критерия оптимальности принимается минимум расхода условного топлива [1]. В этом случае минимизируемая функция может быть представлена в виде

$$B = \sum_{i=1}^m B_{x_i} + \sum_{j=1}^n B_{x_j} \rightarrow \min. \quad (1)$$

Если конденсационные станции энергосистемы (КЭС) представить в виде одной эквивалентной станции, то выражение (1) можно записать в виде

$$B = B_k + \sum_{j=1}^n B_{\tau_j} \rightarrow \min. \quad (2)$$

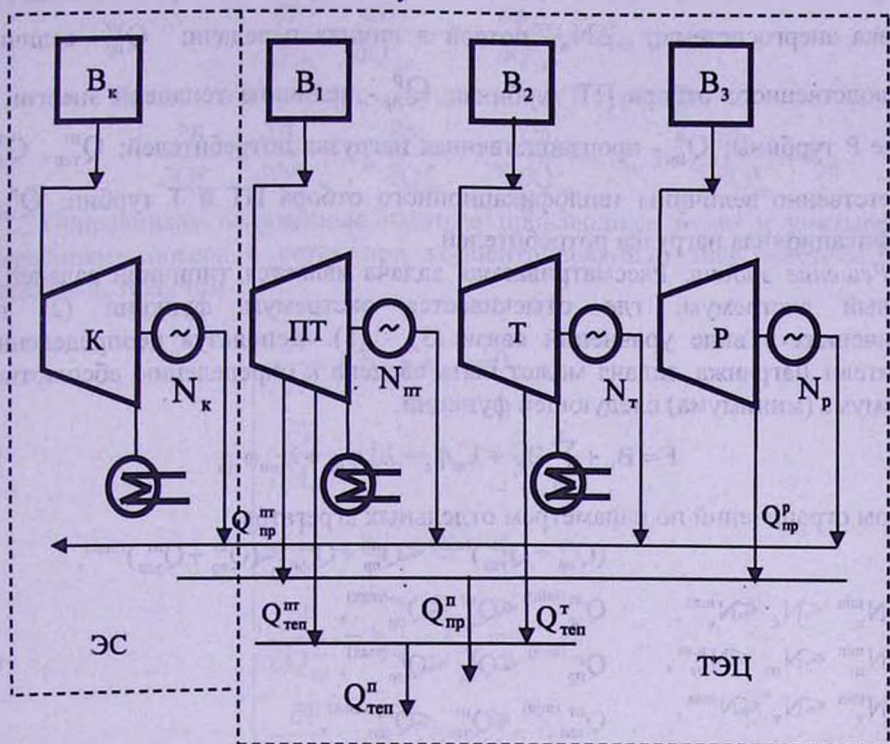


Рис.1. Термовая схема энергетической системы

В выражениях (1), (2) B_{τ_i} , B_k и B_{τ_j} - часовой расход условного топлива соответственно i -й КЭС, эквивалентной конденсационной станции, j -го агрегата ТЭЦ.

Условие (2) должно выполняться при соблюдении следующих ограничений:

- баланс нагрузок энергосистемы:

$$\Phi_C = N_k + \sum_{j=1}^n N_{\tau_j} - N_c - \Delta N_s = 0; \quad (3)$$

- балансы промышленной тепловой и теплофикационной нагрузок по ТЭЦ:

$$\Phi_{np} = Q^{pt}_{np} + Q^p_{np} - Q^n_{np} = 0, \quad (4)$$

$$\Phi_{tep} = Q^{mt}_{tep} + Q^m_{tep} - Q^n_{tep} = 0, \quad (5)$$

где N_{T_j} и N_c - соответственно электрическая мощность j -го теплофикационного агрегата и конденсационных агрегатов энергосистемы; N_c - нагрузка энергосистемы; ΔN_s - потери в линиях передачи; Q_{np}^{mt} - величина производственного отбора ПТ турбины; Q_{np}^p - величина тепловой энергии на выходе Р турбины; Q_{np}^t - производственная нагрузка потребителей; Q_{ten}^{mt} , Q_{ten}^t - соответственно величины теплофикационного отбора ПТ и Т турбин; Q_{ten}^p - теплофикационная нагрузка потребителей.

Решение задачи. Рассматриваемая задача является типичной задачей на условный экстремум, где отыскивается экстремум функции (2) при ограничениях в виде уравнений связи (3) - (5). Используя неопределенные множители Лагранжа, задача может быть сведена к определению абсолютного экстремума (минимума) следующей функции:

$$F = B_k + \sum_{j=1}^n B_j + \lambda_m \varphi_c + \lambda_{np} \varphi_{np} + \lambda_{ten} \varphi_{ten} \quad (6)$$

с учетом ограничений по параметрам отдельных агрегатов:

$$\begin{aligned} & (Q_{np}^{mt} + Q_{ten}^{mt})^{(max)} \leq Q_{np}^{mt} + Q_{ten}^{mt} \leq (Q_{np}^{mt} + Q_{ten}^{mt})^{(min)}, \\ & N_s^{min} \leq N_s \leq N_s^{max}, \quad Q_{np}^{mt(min)} \leq Q_{np}^{mt} \leq Q_{np}^{mt(max)}, \\ & N_{np}^{min} \leq N_{np} \leq N_{np}^{max}, \quad Q_{np}^{p(min)} \leq Q_{np}^{p} \leq Q_{np}^{p(max)}, \\ & N_T^{min} \leq N_T \leq N_T^{max}, \quad Q_{ten}^{mt(min)} \leq Q_{ten}^{mt} \leq Q_{ten}^{mt(max)}, \\ & Q_{ten}^t(min) \leq Q_{ten}^t \leq Q_{ten}^t(max). \end{aligned} \quad (7)$$

Дифференцируя целевую функцию по независимым переменным, получим следующую систему уравнений:

- по электрической мощности эквивалентной конденсационной станции:

$$\frac{\partial F}{\partial N_s} = \frac{dB_s}{dN_s} + \lambda_m \left(1 - \frac{\partial \Delta N_s}{\partial N_s} \right) \quad (8)$$

- по электрическим мощностям ПТ и Т турбин:

$$\frac{\partial F}{\partial N_m} = \frac{dB_1}{dN_m} + \lambda_m \left(1 - \frac{\partial \Delta N_s}{\partial N_m} \right) \quad (9)$$

$$\frac{\partial F}{\partial N_T} = \frac{dB_2}{dN_T} + \lambda_m \left(1 - \frac{\partial \Delta N_s}{\partial N_T} \right) \quad (10)$$

- по нагрузке производственного отбора ПТ турбины:

$$\frac{\partial F}{\partial Q_{np}^{mt}} = \frac{dB_1}{dQ_{np}^{mt}} + \lambda_{np} \frac{\partial \varphi_{np}}{\partial Q_{np}^{mt}} = b_{np}^{mt} + \lambda_{np}; \quad (11)$$

- по нагрузке теплофикационных отборов ПТ и Т турбин:

$$\frac{\partial F}{\partial Q_{\text{ten}}^{\text{tt}}} = \frac{dB_1}{dQ_{\text{ten}}^{\text{tt}}} + \lambda_{\text{ten}} \frac{\partial \Phi_{\text{ten}}}{\partial Q_{\text{ten}}^{\text{tt}}} = b_{\text{ten}}^{\text{tt}} + \lambda_{\text{ten}}; \quad (12)$$

$$\frac{\partial F}{\partial Q_{\text{ten}}^{\tau}} = \frac{dB_2}{dQ_{\text{ten}}^{\tau}} + \lambda_{\text{ten}} \frac{\partial \Phi_{\text{ten}}}{\partial Q_{\text{ten}}^{\tau}} = b_{\text{ten}}^{\tau} + \lambda_{\text{ten}}; \quad (13)$$

- по тепловой энергии, отпущенное из Р турбины:

$$\frac{\partial F}{\partial Q_{\text{np}}^p} = \frac{dB_3}{dQ_{\text{np}}^p} + \lambda_{\text{зп}} \frac{\partial N_p}{\partial Q_{\text{np}}^p} + \lambda_{\text{np}} \frac{\partial \Phi_{\text{np}}}{\partial Q_{\text{np}}^p} = b_{\text{np}}^p + \lambda_{\text{зп}} \frac{\partial N_p}{\partial Q_{\text{np}}^p} + \lambda_{\text{np}}. \quad (14)$$

Приравнивая полученные частные производные нулю и учитывая, что изменениями потерь в сетях при концентрированной энергосистеме можно пренебречь, получим

$$\left\{ \begin{array}{l} \frac{\partial F}{\partial N_k} = b_k + \lambda_{\text{зп}} = 0, \\ \frac{\partial F}{\partial N_{\text{tt}}} = b_{\text{tt}} + \lambda_{\text{зп}} = 0, \\ \frac{\partial F}{\partial N_{\tau}} = b_{\tau} + \lambda_{\text{зп}} = 0, \\ \frac{\partial F}{\partial Q_{\text{np}}^{\text{tt}}} = b_{\text{np}}^{\text{tt}} + \lambda_{\text{np}} = 0, \\ \frac{\partial F}{\partial Q_{\text{ten}}^{\text{tt}}} = b_{\text{ten}}^{\text{tt}} + \lambda_{\text{ten}} = 0, \\ \frac{\partial F}{\partial Q_{\text{ten}}^{\tau}} = b_{\text{ten}}^{\tau} + \lambda_{\text{ten}} = 0, \\ \frac{\partial F}{\partial Q_{\text{np}}^p} = b_{\text{np}}^p + \lambda_{\text{зп}} \frac{\partial N_p}{\partial Q_{\text{np}}^p} + \lambda_{\text{np}} = 0. \end{array} \right. \quad (15)$$

Внося определенные преобразования в (15), получим условие для оптимизации рабочих режимов агрегатов в энергосистеме по электрическим и тепловым нагрузкам:

$$\left\{ \begin{array}{l} b_{\text{pt}} = b_{\text{T}} = b_k, \\ b_{\text{ten}}^{\text{pt}} = b_{\text{ten}}^T, \\ b_{\text{np}}^{\text{pt}} = b_{\text{np}}^P - \frac{\partial N_p}{\partial Q_{\text{np}}^P} b_k, \end{array} \right. \quad (16)$$

где b_{pt} , b_T - относительный прирост топлива котла по электрической мощности соответственно ПТ и Т турбин; b_k - относительный прирост топлива К энергоблоков; $b_{\text{ten}}^{\text{pt}}$, b_{ten}^T - относительный прирост топлива котла по нагрузке теплофикационного отбора соответственно ПТ и Т турбин; $b_{\text{np}}^{\text{pt}}$, b_{np}^P - относительный прирост топлива котла по нагрузке производственного отбора соответственно ПТ и Р турбин.

Замечание. В случае, если одна из найденных величин $N_{\text{pt}}, N_k, N_T, Q_{\text{np}}^{\text{pt}}, Q_{\text{np}}^P, Q_{\text{ten}}^{\text{pt}}, Q_{\text{ten}}^T$ не удовлетворяет ограничению (7), необходимо в алгоритме расчета эту величину заменить максимальным или минимальным значением.

Пример. В ТЭЦ установлены турбины 2 x Р-50-130, 4 x ПТ-60-130/13. Турбины Р-50-130 и ПТ-60-130/13 питаются из котлов ТГМ-84. В энергосистеме работают 2 x К-160-130, 4 x К-200-130 и 2 x К-300-130 конденсационных станций.

Задана потребность электрической нагрузки N_c по системе. Также заданы потребности $Q_{\text{np}}^{\text{pt}}$ производственной и $Q_{\text{ten}}^{\text{pt}}$ теплофикационной энергий. Энергетические характеристики турбоагрегатов и котлоагрегатов известны.

Требуется данные нагрузок оптимально распределить между турбоагрегатами.

Известно, что по энергетическим характеристикам котла ТГМ-84 можно получить аналитическое уравнение часового расхода условного топлива [2]:

$$B = 8,8331 + 0,0457Q_0 + 0,0003Q_0^2, \quad (17)$$

где Q_0 - теплопроизводительность котла.

Из энергетических характеристик турбин ПТ-50-130/13 и Р-50-130-13 можно получить аналитические уравнения мощности и часового расхода тепла по турбинам [2-5]:

1) для противодавленческой турбины Р-50-130-13:

$$N_{\text{ten}} = -12,6485 + 0,3325Q_{\text{np}}, \quad (18)$$

$$Q_0^{\text{ten}} = 0,4680 + 0,2125N_{\text{ten}} + Q_{\text{np}}. \quad (19)$$

где $N_{\text{теп}}$ - электрическая нагрузка турбины; $Q_0^{\text{теп}}$ - расход тепла на турбину;
 $Q_{\text{пр}}$ - тепловая нагрузка;

2) для производственно-теплофикационной турбины ПТ-50-130/13:

$$N_{\text{теп}} = -3,4165 + 0,0473Q_{\text{пр}} + 0,5277Q_{\text{теп}}, \quad (20)$$

$$Q_0 = 14,4932 + 0,9130N_{\text{теп}} + 0,4572Q_{\text{пр}} + 1,2057Q_{\text{теп}} + 1,8102(N_m - N_{\text{теп}}), \quad (21)$$

где N_m - электрическая мощность турбины; $N_{\text{теп}}$ - электрическая мощность турбины на тепловом потреблении; Q_0 - расход тепла на турбину; $Q_{\text{пр}}$ - производственная тепловая нагрузка; $Q_{\text{теп}}$ - теплофикационная тепловая нагрузка.

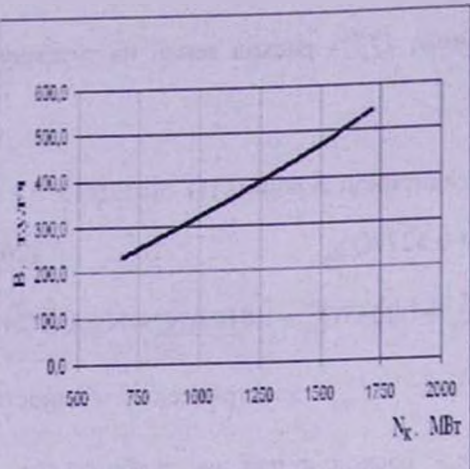
Используя аналитические уравнения энергетических характеристик турбинных и котельных агрегатов, можно получить аналитические уравнения расхода условного топлива котлов (ПГМ-84) $B = f(N_m, Q_{\text{пр}}, Q_{\text{теп}})$, которые присоединены к противодавленческой (Р-50-130-13) и производственно-теплофикационной (ПТ-60-130/13) турбинам (потери переноса тепла не учитываем):

$$B_p = 8,73313 + 0,0475Q_{\text{пр}} + 0,00034Q_{\text{пр}}^2, \quad (22)$$

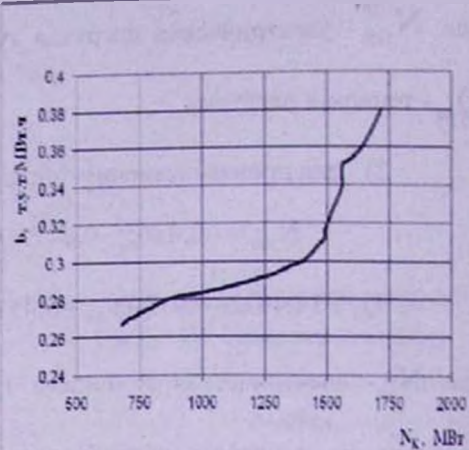
$$B_m = 9,7280 + 0,0234Q_{\text{пр}}^m + 0,0411Q_{\text{теп}}^m + 0,1018N_m + 0,001(N_m)^2 + \\ + 0,0001(Q_{\text{пр}}^m)^2 + 0,0002(Q_{\text{теп}}^m)^2 + 0,0002Q_{\text{пр}}^mQ_{\text{теп}}^m + 0,0004N_mQ_{\text{пр}}^m + 0,0008N_mQ_{\text{теп}}^m. \quad (23)$$

Используя уравнения (22) и (23), получим относительные приrostы расхода топлива по электрической мощности и производственному отбору.

С помощью энергетических характеристик конденсационных энергоблоков К-160-130, К-200-130 и К-300-130 построены эквивалентные энергетические характеристики системы (рис. 2).



a)



б)

Рис. 2. Эквивалентные энергетические характеристики системы: а- расходная характеристика, б- относительный прирост расхода топлива

Ограничения для отдельных агрегатов следующие:

$$35 \leq N_{\text{пп}} \leq 60,$$

$$60 \leq N_{K-160} \leq 160, \quad 0 \leq Q_{\text{пп}}^{\text{HT}} + Q_{\text{теп}}^{\text{HT}} \leq 100+54, \quad 0 \leq Q_{\text{пп}}^P \leq 220. \quad (24)$$

$$80 \leq N_{K-200} \leq 200, \quad 0 \leq Q_{\text{пп}}^{\text{HT}} \leq 172, \quad 0 \leq Q_{\text{теп}}^{\text{HT}} \leq 86.5.$$

$$120 \leq N_{K-300} \leq 300.$$

Включив в систему (16) полученные относительные приrostы агрегатов, можно оптимально распределить заданные электрическую и тепловую нагрузки между агрегатами.

Для произвольных $N_C, Q_{\text{пп}}^n, Q_{\text{теп}}^n$ результаты решения задачи приведены в табл. 1.

Между однотипными турбинными установками, энергетические характеристики которых совпадают, электрическую и тепловую мощности можно распределить равномерно.

Таблица 1

N_C , MW	Q_{np}^a , Гкал/ч	Q_{tep}^n , Гкал/ч	$4N_{pt}$, MW	$2N_p$, MW	N_K , MW	$4Q_{np}^n$, Гкал/ч	$2Q_{np}^p$, Гкал/ч	$4Q_{tep}^n$, Гкал/ч	B_{Σ} , т.у.т
1014	450	100	240	74	700	150	300	100	382,6
1150	500	100	240	80	830	184	316	100	422,2
1500	600	100	240	86	1174	264	336	100	526,0
1561	750	100	240	93	1228	394	356	100	554,3
990	400	120	240	70	680	114	286	120	375,5
948	500	120	200	68	680	220	280	120	370,9
930	600	120	180	70	680	312	288	120	372,8
1681	700	120	240	94	1347	341	359	120	588,6
1101	400	140	240	76	785	96	304	140	407,2
1740	500	140	240	87	1413	162	338	140	596,6
908	600	140	160	68	680	320	280	140	369,3
1000	700	140	206	84	710	372	328	140	399,3
1700	750	140	240	97	1363	382	368	140	601,5
1758	500	160	240	88	1430	159	341	160	603,3
1201	600	160	240	87	874	262	338	160	450,3
1530	700	180	236	94	1200	341	359	180	551,4
1000	550	200	210	80	710	232	318	200	396,2
1680	750	200	234	99	1347	377	373	200	601,7

Между конденсационными станциями электрическая нагрузка распределяется с помощью эквивалентной энергетической характеристики (табл. 2).

Таблица 2

N_K , MW	$2N_{K-160}$,	$4N_{K-200}$,	$2N_{K-300}$,
	MW	MW	MW
700	120	320	260
830	160	320	350
1174	207	507	460
1228	215	533	480
680	120	320	240
1347	237	610	500
785	145	320	320
1413	250	640	523
710	120	320	270
1363	240	620	503
1430	250	640	540
874	174	320	380
1200	210	520	470

СПИСОК ЛИТЕРАТУРЫ

- Горнштейн В.М., Мирошниченко Б.М. Методы оптимизации режимов энергосистем. -М.: Энергоиздат, 1981.-335с.
- Нормативные характеристики удельных расходов топлива Ереванской ТЭЦ (разработано фирмой ОРГРЭС). -1993.
- Типовая нормативная характеристика турбоагрегата ПТ-60-130/13 ЛМЗ. -М., 1975.
- Типовая энергетическая характеристика турбоагрегата Р-50-130-1 ЛМЗ. -М., 1972.
- Արշակյան Դ.Թ. Ձերմային էլեկտրական կայաններ. -Երևան: Լուս, 1981.-597 էջ:

ГИУА (П). Материал поступил в редакцию 15.10.2010.

Դ.Ա. ԲՈՒՆԱՉՅԱՆ, Մ.Ֆ. ԷԼԲԱԿՅԱՆ

ԶԵՐՄԱՅԻՆ ՀՆԵՐԳԱԿԱՍՏԱԿԱՐԳՈՒՄ ԱՇԽԱՏՈՒ ՁԵԿ-Ի ՆԵՐԿԱՅԱՆԱՅԻՆ ՌԵԺԻՄՆԵՐԻ
ՕՊՏԻՄԱԼԱՑՈՒՄԸ

Դիտարկվել է ՁԵԿ-Ի ագրեգատների միջև էլեկտրական և ջերմային բեռների օպտիմալ բաշխումը՝ հաշվի առնելով էներգահամակարգում կայանների էլեկտրական ռեժիմների օպտիմալացումը: Տրված է էներգետիկական համակարգի և ՁԵԿ-Ի ագրեգատների միջև էլեկտրական և ջերմային բեռների օպտիմալ բաշխումը օրինակ:

Առանցքային բառեր. էներգետիկա, էներգետիկական համակարգ, հարաբերական աճ, վառելիքի ծախս, բեռների օպտիմալ բաշխում:

H.A. BURNACHYAN, M.F. EBAKIAN

OPTIMIZATION OF INTERNAL MODES OF TPP OPERATING IN THERMAL POWER SYSTEM

Optimal distribution problems of electric and thermal loads between TPP units in view of optimizing electrical modes with power system plants are studied. An example of optimal distribution of electric and thermal loads between TPP and power system units is discussed.

Keywords: energetics, power system, relative growth, fuel consumption, optimal load distribution.

С.А. ГЕВОРКЯН, А.Л. МАИЛЯН

ПУТИ УВЕЛИЧЕНИЯ СВЕТООТДАЧИ КОМПАКТНЫХ ФЛУОРЕСЦЕНТНЫХ ЛАМП

Обобщен десятилетний опыт исследования компактных флуоресцентных ламп, которые заменяют традиционные лампы накаливания. Показано, что для получения высокой светоотдачи необходимо использовать акустоплазменное взаимодействие, люминофоры с малой долей излучения в ИК области и электронные драйверы с малым потреблением.

Ключевые слова: флуоресцентные лампы, акустоплазменное взаимодействие, светоотдача, люминофоры, электронные драйверы.

Как известно, светоотдача компактной флуоресцентной лампы (КФЛ) зависит от КПД преобразования электрической энергии в ультрафиолетовое (УФ) излучение разряда, поглощаемого люминофором, и эффективности преобразования люминофором УФ излучения в излучение видимого диапазона - свет, излучаемый люминесцентной лампой [1,2].

Вопрос эффективности преобразования электрической энергии в разряд был рассмотрен в [3-6]. К сказанному в этих статьях можно добавить, что простые транзисторные схемы электронной пускорегулирующей аппаратуры (ЭПРА) имеют потребление электроники в несколько раз меньше, чем лучшие из разработанных сложных микросхемных реализаций ЭПРА. Например, широко распространенная микросхема полумостового драйвера IR-2153 при стандартной схеме включения [7] потребляет от сети не менее 3 Вт при использовании МОП-транзисторов IRF-720 и более 6 Вт при использовании IRF-840. Это связано с потреблением по цепи бутсреального конденсатора (термин введен фирмой-разработчиком драйвера - "International Rectifier"), управляющего открыванием "верхнего ключа" - транзистора высокого потенциала [7]. Использованная нами транзисторная схема [3,6] имела собственное потребление менее 0,5 Вт. Если предположить, что в КФЛ коэффициент преобразования высокочастотной (ВЧ) электрической мощности в видимое излучение составляет 80 Лм/Вт, то для лампы с потреблением от сети электрической мощности 15 Вт с транзисторной схемой ЭПРА [3,6] светоотдача будет составлять 77 Лм/Вт и световой поток – 1160 Лм, а для драйвера на МС IR-2153 с ключами на транзисторах IRF-840 - соответственно 48 Лм/Вт и 720 Лм. Таким образом, для маломощных КФЛ использование сложной микросхемной реализации не всегда целесообразно.

В КФЛ используется дутовой ртутный разряд низкого давления с самокалиящимися катодами. Давление ртути - порядка 10 Па, давление буферного газа (обычно аргон) ~ 100...500 Па.

Если принять максимальный поток излучения спектральных линий ртутного разряда равным 100%, то для отдельных спектральных линий он составляет: для УФ линии ($\lambda=184.9$ нм) – 13%; для УФ линии ($\lambda=253.7$ нм) – 78%; для синей линии ($\lambda=435.8$ нм) – 3%; для всех остальных линий вместе взятых (зеленая, желтая, фиолетовая) – 6%.

Если не рассматривать потери на накал электродов, то вклад различных механизмов потерь мощности в положительном столбе ртутного разряда в зависимости от давления буферного газа в разрядной трубке можно представить в графической форме. Для ртутного разряда при буферном газе аргоне и токе разряда 1 А это представлено на рис.1, взятом из [8]. По оси абсцисс отложено давление газа в трубке. Линия 5 соответствует чисто ртутному разряду при давлении ртути $P_{Hg}=10$ Па. По оси ординат отложены доли каждого типа потерь.

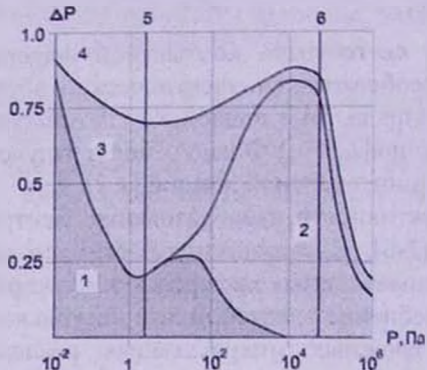


Рис. 1. Относительный вклад различных механизмов потерь мощности в положительном столбе ртутного разряда в зависимости от давления буферного газа при токе разряда 1 А; 1 - потери на стенках; 2 - потери на нагрев газа и электродов; 3 - потери на выход резонансного излучения; 4 - потери на выход нерезонансного излучения; 5 – сплошная линия соответствует $P_{Hg}=10$ Па; 6 – линия соответствует лампе типа дуговая ртутная люминесцентная (ДРЛ)

Из рис.1 видно, что потери на стенках (область 1) велики только при малых давлениях газа, когда концентрация нейтральных атомов мала и возбужденные атомы достигают стенок.

Обычно введение инертного газа объясняют уменьшением распыления электродов и облегчением зажигания. Но при введении инертного газа уменьшается также длина свободного пробега электронов и резко снижается температура электронов T_e . Об этом будет сказано ниже. Пока же отметим, что при увеличении давления газа потери на стенках уменьшаются.

Потери на нагрев газа (область 2, рис.1) с увеличением давления буферного газа возрастают и при давлении 10^4 Па составляют 75...80%, а при давлении буферного газа ~ 10^2 Па - 35%. Доля резонансного излучения (область

3) уменьшается с 40 до 25% (но это расчетное уменьшение, связанное только с уменьшением T_e). Ниже показано, что существуют и другие механизмы, повышающие долю резонансного излучения при увеличении давления. Доля нерезонансного излучения (область 4) уменьшается с 30 до 20%.

Таким образом, для увеличения эффективности люминесцентных ламп, в том числе и КФЛ, надо уменьшить области 1 и 2 и увеличить область 3.

Как уже отмечалось выше, введение инертного газа уменьшает длину свободного пробега и резко снижает температуру электронов T_e . Поэтому для поддержания того же тока необходимо увеличить концентрацию электронов n_e и градиент потенциала E . При этом чем больше n_e и E , тем больше n_m , т.е. концентрация возбужденных атомов ртути, способных излучать.

Чем меньше длина свободного пробега, тем больше вероятность соударения метастабильного атома ртути с электроном по сравнению с вероятностью диффузии к стенкам трубки и тем меньше уход энергии из разряда к стенкам, т.е. тем больше возбужденных атомов остается в разряде.

С ростом тока начинает возрастать роль ступенчатых процессов $6^3P_{0,1,2} \rightarrow 6^1P_1$, что приводит к росту УФ светового потока; для КФЛ это экспериментально подтверждено в [5]. Одновременно растет отношение световых потоков $\Phi(185)/\Phi(254)$, где $\Phi(185)$ – удельный световой поток излучения положительного столба на длине волны 185 нм, $\Phi(254)$ – для 254 нм.

В положительном столбе ионизируются и излучают только атомы ртути, исключение составляют прикатодные области, где за счет быстрых электронов ионизируется также инертный газ. Таким образом, добавление инертного газа влияет также на прикатодные явления. Расчеты [9] показали, что для 40-ваттной люминесцентной лампы в положительном столбе 2/3 излучения $\Phi(254)$, 2/3 излучения видимого зеленого триплета и 3/4 излучения группы УФ линий 365 нм обусловлены ступенчатыми переходами через уровни 6^3P . Переизлучение приводит к 70-кратному увеличению продолжительности жизни на метастабильном уровне 6^3P_1 (превышает 10^{-3} с).

Из [10] следует, что на частоте модуляции разрядного тока 1 кГц – $n_e < 10\%$, а на более высоких частотах модуляции $n_e \approx \text{const}$. При этом усредненная за период колебаний величина n_e приблизительно в 1,5 раза больше, а T_e незначительно меньше, чем на постоянном токе [10].

Дальнейшего увеличения вероятности соударений, а значит, и уменьшения нагрева стенок можно добиться, используя акустоплазменное взаимодействие (АПВ) [3,4,6].

На рис. 2 [6] приведены температурные характеристики российской лампы СКЛЭН мощностью 15 Вт и изготовленной на базе ее стеклянной колбы в ИППФ НАН лампы с акустоплазменным взаимодействием СКЛ-АРМ.

Из рисунка видно, что при одной и той же подводимой мощности лампа с АПВ имеет меньший нагрев стеклянного баллона во всех частях.

Разрядную трубку можно рассматривать также как акустический резонатор. При питании разрядной трубки переменным током в ней

возбуждаются акустические моды [6.11]. Эти моды приводят к созданию акустической решетки внутри разрядной трубки. Акустические колебания, в свою очередь, воздействуют на разряд, который их создал. Это приводит к тому что плазма в разрядной трубке переходит в новое – акустоплазменное состояние

Изменения в акустоплазме могут быть настолько значительными, что возможны акустоплазменные фазовые переходы по аналогии с термодинамическим фазовым переходом газ-жидкость [12].

При определенных условиях АПВ приводит к уменьшению градиента T , по радиальному сечению трубы. Из-за уменьшения поглощения в газе увеличивается доля УФ излучения, которое достигает люминофора.

АПВ приводит к увеличению излучения интеркомбинационной линии 254 нм. При уширении на акустической решетке высовчивание из интеркомбинационной линии увеличивается, т.е. увеличивается доля резонансного излучения (область З, рис.1).

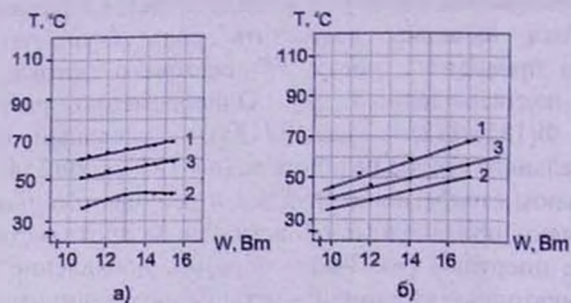


Рис.2. Температурные характеристики ламп в зависимости от потребляемой мощности: а - российская лампа СКЛЭН, 15 Вт; б - СКЛ-АР; 1 - Т катода; 2 - Т холодной зоны; 3 - Т середины лампы

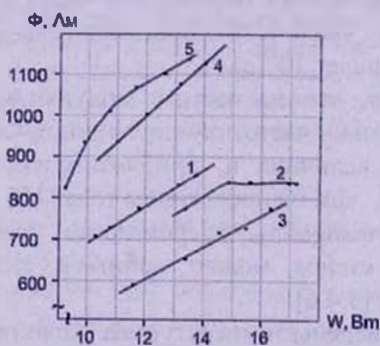


Рис.3. Зависимость интегрального светового потока от потребляемой мощности для КФЛ различных производителей [6]: 1 - PhilipsEcoton (Hol.), 15 Вт; 2- Sylvania (USA), 11 Вт; 3 - Silverstar (China), 23 Вт; 4 - СКЛЭН (Россия), 15 Вт; 5 - СКЛ-АРМ, 15 Вт

В [6.13] показано, что в результате АПВ КФЛ может значительно повысить светоотдачу.

Из рис. 3 следует, что для обеспечения интегрального светового потока 900 Лм, соответствующего стандарту потребляемой КФЛ мощности 15 Вт, для лампы Philips надо затратить 15 Вт, для российской лампы СКЛЭН – 10,5 Вт, для разработанной СКЛ-АРМ – 9,6 Вт.

Таким образом, лампа СКЛ-АРМ обеспечивает тот же стандартный световой поток, потребляя в 1,5 раза меньшую мощность, чем лампа Philips.

Следует отметить, что лампа СКЛЭН, используемая в этих измерениях, имела параметры, превосходящие среднестатистические, поскольку была отобрана в качестве примера лучших российских ламп.

Рассмотрим преобразование люминофором УФ излучения в видимый свет.

Разработка в 80-е годы КФЛ стала возможной только в результате создания в конце 70-х годов высокостабильных узкополосных люминофоров (УПЛ), легированных редкоземельными металлами. Они могут работать при более высоких плотностях облучения, чем в стандартных люминесцентных лампах, без старения люминофора. Это позволило значительно уменьшить диаметр разрядной трубы.

УПЛ дают излучение, сосредоточенное в узких полосах спектра: синей (450 нм), зеленой (540 нм) и красной (610 нм).

Из-за малого диаметра разрядной трубы увеличивается плотность облучения линией 185 нм, а излучение синей линии ртути настолько увеличивается, что очень часто синий люминофор излишен, и необходимый цветовой тон получается при использовании только двух УПЛ: зеленого (543 нм) и оранжево-красного (612 нм).

Разные фирмы используют различные по составу люминофоры.

В [14] отмечено, что лампы со стандартным галофосфатным люминофором имеют плохое или удовлетворительное качество цветопередачи, независимо от цветовой температуры, лампы с трехполосным люминофором - хорошее качество цветопередачи при любых цветовых температурах (в области 2700...6500 K), а лампы с пятиполосными люминофорами - отличную цветопередачу даже при цветовой температуре 3000...4000 K.

Ниже приведены исследованные нами спектры излучения видимого света люминофорами в КФЛ нескольких фирм.

КФЛ СКЛЭН-15Вт (Россия), теплого света (цветовая температура $T_{цв}=3000 K$) – небольшой пик в синей области с $\Delta\lambda \approx 5 \cdot 10^{-10} m$; полоса в сине-зеленой области с $\Delta\lambda \approx 60 \cdot 10^{-10} m$; сильная полоса в зеленой области с $\Delta\lambda \approx 60 \cdot 10^{-10} m$; сильная линия в оранжево-красной области с $\Delta\lambda \approx 100 \cdot 10^{-10} m$; красная линия с $\Delta\lambda \approx 30 \cdot 10^{-10} m$; в ИК области излучение люминофора очень малое.

КФЛ PHILIPS Ecoton-15W (Hol.), теплого света ($T_{цв}=3000 K$) – полоса в зеленой области $\Delta\lambda \approx 100 \cdot 10^{-10} m$; сильная полоса в желто-зеленой области ($\lambda \sim 550 nm$) $\Delta\lambda \approx 100 \cdot 10^{-10} m$; сильная полоса в красной области $\Delta\lambda \approx 200 \cdot 10^{-10} m$; в ИК области (800...1000 nm) излучение люминофора существенно.

КФЛ фирм Юго-Восточной Азии 9...23 Вт. дневного света ($T_{ш}=6300 K$) – имеют различные полосы в видимой области, но для всех ламп характерна большая доля излучения в ИК области.

Исследование светоотдачи ламп показало, что она связана с величиной ИК компоненты спектра: чем меньше ИК компонента, тем выше светоотдача. Именно этим объясняется, что лампы фирм Юго-Восточной Азии имеют светоотдачу значительно меньше, чем лампы фирм Европы и Америки [13].

Наш мониторинг показал, что за последнее десятилетие ситуация не изменилась, за исключением случаев, когда страны Юго-Восточной Азии используют российские и европейские люминофоры (например, КФЛ "Космос").

Таким образом, в статье обобщен десятилетний опыт исследования КФЛ. Показано, что для получения высокой светоотдачи необходимо: иметь в виду, что не все электронные компоненты и их сочетания, рекомендуемые в литературе, могут обеспечить минимум потребляемой мощности; учитывать и использовать акустоплазменное взаимодействие в ртутном разряде; использовать оптимальные люминофоры с минимумом излучения в ИК области.

СПИСОК ЛИТЕРАТУРЫ

1. Рохлин Г.Н. Разрядные источники света. 2-е издание. - М.: Энергоатомиздат, 1991. – 720 с.
2. Lister G.G., Lawler J.E., Lapatovich W.P., Godyak V.A. The Physics of discharge lamps // Rev. of Modern Phys. – April, 2004. - Vol.76. - P.541-598.
3. Манляян А.Л., Геворкян С.А., Саркисян С.К. Особенности высокочастотных источников питания люминесцентных ламп // Вестник-76 ГИУА. – 2009. - Т. 1. №1. - С.253-257.
4. Геворкян С.А., Есаян А.М., Манляян А.Л., Саркисян С.К. Управление параметрами разряда в компактных флуоресцентных лампах // Вестник ГИУА(II). Сер.Моделирование, оптим., управ. - Ереван, 2009. - Вып.12, том 1. - С.131-137.
5. Геворкян С.А. Исследование ультрафиолетовой компоненты излучения разряда в компактных флуоресцентных лампах // Вестник ГИУА(II): Сборник научных и методич. статей. – Ереван, 2010. – Т.2. N 1. - С.147-151.
6. CONTROL of PLASMA PARAMETERS by ACOUSTIC WAVES. ISTC Project A-196.2. - Yerevan, 2003.
7. Каталоги фирмы International Rectifier, USA.
8. Грановский В.Л. Электрический ток в газе. Установившийся ток. - М.: Наука, 1971. – 543 с.
9. Kenty C. Radiation from the discharge of mercury // J.Appl.Phys. -1950. - Vol.21. - P.1809-1815.
10. Федоренко А.С. Экспериментально-расчетные исследования характеристик положительного столба разряда и совершенствование люминесцентных ламп: Дис ... к.т.н. - М.,1980. – 301 с.
11. Галечян Г.А., Мкртчян А.Р. Акустоплазма. - Ереван: Anara, 2005. – 350 с.
12. Мкртчян К.С. Об управлении свойствами низкотемпературной газоразрядной плазмы акустическими колебаниями: Дис ... к.ф. - м.н. - Ереван, 2005. – 105 с.
13. Plasma Fluorophor Energy-Saving Lamps / A.R. Mkrtyan, A.S. Abrahamyan, K.A. Abrahamyan, S.A. Gevorgyan et al // XIII Int. Conf. on Gas Disch. Applications. - Glasgow, 3-8 September, 2000. - Vol.2. - P.855-859.
14. Spectrum – Каталог ламп GE Lighting.

ГИУА (П). Материал поступил в редакцию 10.04.2010.

Ա.Ա. ԳԵՎՈՐԳՅԱՆ, Ա.Լ. ՄԱՅԻԼՅԱՆ

ԿՈՄՊԱԿՏ ՖԼԵՇՈՒՐԵՍՑԵՆՏԱՅԻՆ ԼԱՍՊԵՐԻ ՄՈԽԱՏՎՈՒԹՅԱՆ ՄԵԾԱՑՄԱՆ
ՈՒՂԻՆԵՐԸ

Ընդհանրացված է ավանդական շիկացման լամպերին փոխարինող տասնամյա կոմպակտ ֆլուորեսցենտային լամպերի հետազոտման փորձը: Ցույց է տրված, որ բարձր լուսատվություն ստանալու համար անհրաժեշտ է օգտագործել ակուստապլազմային փոխազդեցությունը, ինֆրակարմիք տիրուվրում ճառագայթման փոքր մասով լուսմինաֆորներ և էլեկտրաէներգիայի քիչ սպառումով էլեկտրոնային դրայվերներ:

Առանցքային բառեր. ֆլուորեսցենտային լամպեր, ակուստոպլազմային փոխազդեցություն, լուսատվություն, լուսմինաֆորներ, էլեկտրոնային դրայվերներ:

S.A. GEVORGYAN, A.L. MAYILYAN

WAYS OF INCREASING THE FLUORESCENT LAMP LUMINOUS EMITTANCE

The ten-year experience of investigating the compact fluorescent lamps substituting the traditional incandescent lamps is generalized. It is shown that to receive a high luminous emittance, it is necessary to use the acoustic and plasma interaction in the infrared range, luminophors with small radiation and electronic drivers with small power consumption.

Keywords: fluorescent lamp, acoustic and plasma interaction, luminophors, electronic drivers, emittance.

Б.М. МАМИКОНЯН, С.С. КАРАПЕТЯН, В.Г. МУРАДЯН

ПЬЕЗОЭЛЕКТРИЧЕСКИЙ ДАТЧИК СЕЙСМИЧЕСКИХ УСКОРЕНИЙ

Разработан пьезоэлектрический датчик-акселерометр для компьютерной регистрации и анализа сейсмической информации. Акселерометр предназначен для сейсмического мониторинга высоких плотин больших водохранилищ. Основные характеристики акселерометра: пределы измерения ускорений - $0 \dots 10 \text{ м/с}^2$; частотный диапазон - $0.2 \dots 50 \text{ Гц}$; длина соединительного кабеля - 500 м ; основная погрешность - не более 5% ; динамический диапазон - 70 дБ ; температурный диапазон эксплуатации - от -30 до $+50^\circ\text{C}$. Представлены электрическая схема датчика с предусилителем, произведены выбор и расчёт их параметров.

Ключевые слова: измерение, датчик, акселерометр, сейсмическое ускорение, преобразователь, пьезозлемент, чувствительность, динамический диапазон.

Пьезоэлектрические датчики-акселерометры широко применяются в системах регистрации и анализа сейсмических колебаний для преобразования в электрический сигнал ускорения этих колебаний. Ключевые эксплуатационные требования, предъявляемые к этим датчикам, определяются наиболее существенными характеристиками и параметрами измеряемых сейсмических сигналов. В настоящей работе рассмотрена задача разработки пьезоэлектрического акселерометра для использования в информационно-измерительной системе сейсмического мониторинга высоких плотин гидроэнергетических сооружений. Система осуществляет непрерывное слежение, обнаружение и регистрацию сейсмических событий в цифровом и графическом виде. Требуемые основные характеристики акселерометра:

- пределы измерения ускорений: $0 \dots 10 \text{ м/с}^2$;
- частотный диапазон: $0.2 \dots 50 \text{ Гц}$;
- длина соединительного кабеля: 500 м ;
- основная погрешность: не более 5% ;
- динамический диапазон: не менее 70 дБ ;
- температурный диапазон эксплуатации: $-30 \dots +50^\circ\text{C}$.

Точность преобразования пьезодатчиком (ПД) сейсмического ускорения в электрический сигнал определяется сигналом смещения нуля, погрешностью полной шкалы (или чувствительности), нелинейностью коэффициента преобразования, поперечной чувствительностью, а также температурным и временным дрейфом этих параметров. Смещение нуля и чувствительность

акселерометра при нормальных условиях корректируются при изготовлении и калибровке на вибростенде с образцовым измерителем ускорения. Поперечная чувствительность характеризует "способность" датчика преобразовывать в электрический сигнал ускорение, направленное под углом 90° к измерительной оси датчика. У идеального акселерометра поперечная чувствительность равна нулю, у разрабатываемого - должна быть не более $\pm 2\%$ от номинальной чувствительности.

В основу разрабатываемого акселерометра положена традиционно используемая конструкция с инерционной массой и подвесной пружиной, создающей предварительное сжатие пьезоэлемента (ПЭ) вдоль чувствительной оси [1]. С целью выбора ПЭ произведен сравнительный анализ выпускаемых промышленностью пьезоэлектрических материалов. Большинство практически важных пьезоэлектрических материалов синтезируются (ниобат лития LiNbO_3 , пьезокерамика, пьезополимеры). Кристаллы LiNbO_3 выращиваются ориентированно вдоль определенных кристаллографических осей для приема продольных или поперечных акустических волн. Пьезокерамики (поликристаллические сегнетоэлектрики) после их поляризации в электрическом поле обладают устойчивыми и хорошо выраженным пьезоэлектрическими свойствами. Наиболее широко распространенными являются пьезокерамики группы цирконата-титаната свинца (ЦТС). К пьезополимерам относятся прежде всего поливинилиденфторид (ПВДФ) и сополимеры на его основе. ПЭ из этих материалов выпускают в виде пленок толщиной от 10 мкм до 1,5...2 мм, поляризованных по толщине. В табл. 1 приведены основные характеристики упомянутых пьезоэлектрических материалов.

В результате сравнительного анализа в качестве чувствительного элемента в разработке использован биморфный ПЭ из пьезокерамического материала общего назначения ЦТС-19, который обладает достаточной чувствительностью и обеспечивает работу преобразователя в температурном диапазоне до $200\ldots 250^{\circ}\text{C}$ [2]. Биморфный ПЭ составлен из двух идентичных пластин в виде шайб с размерами: внешний диаметр $D = 25$ мм, внутренний диаметр $d = 8$ мм, толщина $h = 2$ мкм.

Применение биморфных ПЭ позволяет вдвое увеличить полезный сигнал практически при одном и том же уровне шумов. Пластины соединены последовательно-согласно. Расчетным путем определены внутреннее сопротивление и емкость одной пластины: $C_0 = 5090 \text{ пФ}$, $R_0 = 10^9 \text{ Ом}$. Из-за большой длины соединительного кабеля выбрана нетрадиционная схема преобразователя ускорение-напряжение: ПЭ подключен ко входу усилителя напряжения (вместо традиционно используемого усилителя заряда [2]), который вмонтирован непосредственно внутри ПД. Во избежание искажений выходного напряжения предусилителя при передаче по соединительному кабелю к выходу предусилителя подключен преобразователь напряжение-ток, также вмонтированный в ПД. В результате по соединительному кабелю передается выходной токовый сигнал ПД, поступающий в пункте регистрации

сейсмоколебаний на преобразователь ток-напряжение, на выходе которого подключены АЦП и регистрирующее устройство – персональный компьютер. Выходные кодовые сигналы АЦП вводятся в компьютер и обрабатываются с помощью специальной программы.

Таблица 1

Пьезо-электрик	Основные параметры некоторых пьезоэлектриков				
	Относ. диэл. прониц. ϵ , ед.	Плотность, ρ , $10^3 \text{ кг} \cdot \text{м}^{-3}$	Пьезомодуль, $d_{33} \cdot 10^{-12}$ КН	Модуль упругости, $E \cdot 10^9$ Н \cdot м $^{-2}$	Тангенс угла диэл. потерь (в слабых полях), $tg\delta$
	ϵ_0				
Кварц	4,5	2,65	2,3	80	-
ТБ-1	1500	5,3	100	-	0,02
ТБК-3	1200	5,3	83,3	90-100	0,02
ТБКС	450	5,2	50	100-125	0,02
ЦТС-13	1100	7,3	283	-	-
ЦТС-19	1750	7,5	330	70	0,028
ЦТС-19М	2200	7,5	430	70	0,02
ЦТС-36	670	7,7	220	-	0,03
НЦТС-2	5700	7,8	650	-	0,03
ЦТСНВ-1	2250	7,3	400	64	0,02
PZT-2 (США)	990	7,6	152	86	0,05
PZT-4 (США)	1300	7,5	389	80	0,04
PZT-5Н (США)	3400	7,5	593	60	0,02
P6A (Япония)	1300	-	80	-	-
RХЕ-4 (ФРГ)	1500	7,65	265	-	0,058
RХЕ-5 (ФРГ)	1750	7,6	365	-	0,02

Благодаря такому техническому решению практически исключается влияние соединительного кабеля на метрологические характеристики сейсмометра. В качестве АЦП использована многофункциональная плата аналого-цифрового преобразования типа JIA-20USB, предназначенная для IBM PC/AT совместимых компьютеров, подключаемая непосредственно на шину USB [3]. Использованы серийные микросхемы с напряжением питания $\pm 15 \text{ В}$. Параметры электронной схемы выбраны таким образом, что при изменении ускорений в пределах $0 \dots 10 \text{ м/с}^2$ на входе АЦП напряжение постоянного тока меняется в пределах $0 \dots 10 \text{ В}$.

Усилитель напряжения (рис. 1) выполнен по схеме неинвертирующего усилителя на дифференциальном операционном усилителе (ОУ) с полевыми транзисторами на входе типа OPA131UA. Данная микросхема отличается высоким выходным сопротивлением (дифференциальное входное сопротивление $10^{10} \Omega$), низкими уровнями входного напряжения смещения (не более $1 \mu V$), входных токов ($5 nA$, который сохраняется во всем диапазоне входного синфазного напряжения и допустимом диапазоне напряжения питания), низким уровнем шумов: среднеквадратичное значение напряжения шумов, приведенное ко входу при $U_{in} = 15 V$, не превышает $16 \mu V/\sqrt{Hz}$ в полосе частот 0-100 Hz, высокими динамическими параметрами (скорость нарастания выходного напряжения $10 V/\mu s$). ОУ имеет внутреннюю частотную коррекцию, обеспечивающую устойчивую работу при любых режимах отрицательной обратной связи; температурный диапазон эксплуатации от $-40^{\circ}C$ до $+85^{\circ}C$ [4, 5].

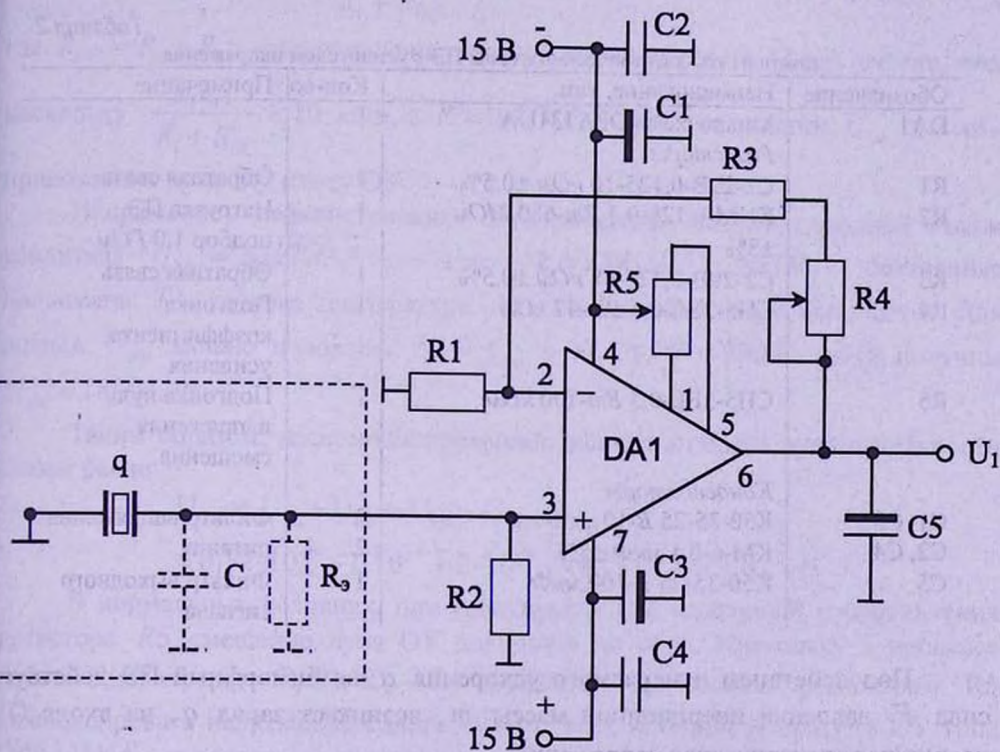


Рис. 1. Электрическая схема ПЭ с предусилителем напряжения

Типы и значения элементов схемы представлены в табл. 2. ПЭ изображён совместно со своей эквивалентной емкостью $C = C_0/2 = 2545 \text{ пФ}$ (последовательное соединение пьезопластин; входная емкость ОУ не более 1 пФ) и эквивалентным сопротивлением R_s , которое учитывает сопротивление пьезопластин ($2R_0$), поверхностное сопротивление пластин и входное сопротивление прямого входа ОУ. В качестве нагрузки ПЭ включён резистор $R_s = 1.0 \text{ ГОм}$. В результате расчёта получено значение эквивалентного сопротивления нагрузочной цепи ПЭ $R = R_s // R_s = 0.4 \cdot 10^9 \text{ Ом}$. Постоянная времени этой цепи (время, за которое заряд на конденсаторе спадает или возрастает в e раз): $\tau = RC = 1.018 \text{ с}$, которая определяет минимальную измеряемую частоту входного сигнала ПД: $f_{\min} = 1/2\pi\tau = 0.156 \text{ Гц}$, что удовлетворяет требованиям разработки.

Таблица 2
Компоненты электрической схемы ПЭ с усилителем напряжения

Обозначение	Наименование, тип	Кол-во	Примечание
DA1	Микросхема OPA131UA	1	
	<i>Резисторы</i>		
R1	C2-29В-0.125-10 кОм $\pm 0.5\%$	1	Обратная связь
R2	КИМ-0.125-0.5 Вт-680 МОм $\pm 5\%$	1	Нагрузка ПЭ, подбор 1.0 ГОм
R3	C2-29В-0.125-68 кОм $\pm 0.5\%$	1	Обратная связь
R4	СП5-2ВБ-0.5 Вт-47 кОм	1	Подгонка коэффициента усиления
R5	СП5-2ВБ-0.5 Вт-100 кОм	1	Подгонка нуля напряжения смещения
	<i>Конденсаторы</i>		
C1, C3	K50-35-25 В-10 мкФ	2	Фильтр напряжения питания
C2, C4	КМ-6-0.1 мкФ $\pm 5\%$	2	
C5	K50-35-25 В-100 мкФ	1	Фильтр выходного сигнала

Под действием измеряемого ускорения a на биморфный ПЭ действует сила F давления инерционной массы m , возникает заряд q , на входе ОУ появляется электрическое напряжение

$$U = \frac{2q}{C} = \frac{2d_{33}F}{C} = \frac{2d_{33}ma}{C}, \quad (1)$$

которое усиливается в K_1 раз: $U_1 = K_1 \cdot U = \left(1 + \frac{R_3 + R_4}{R_1}\right) U$.

Минимальный уровень измеряемого ускорения a_{\min} , обнаруживаемого ПД, можно оценить из равенства минимального напряжения на ПЭ напряжению электрических шумов схемы, то есть её порогом чувствительности. Здесь определяющими являются собственный шум, смещение и сдвиг нуля ОУ, напряжение найквистовских электрических шумов входной цепи в полосе пропускаемых частот. Все эти факторы вызывают аддитивные погрешности, которые являются систематическими. Оценим их значения.

Приведённый ко входу собственный шум ОУ (среднеквадратичное значение) в частотном диапазоне ПД ($0,2 \dots 50 \text{ Гц}$) будет: $U_{\text{ш}} = 16 \cdot 10^{-9} \sqrt{50} = 0,12 \text{ мкВ}$. Входное напряжение смещения нуля ОУ: $U_{\text{см}} = 1 \text{ мВ}$. Напряжение смещения нуля, обусловленное входными токами ОУ, определяется по формуле

$$U_{\text{оо}} = R \cdot i_+ - \frac{R_1 R_{\text{OC}}}{R_1 + R_{\text{OC}}} \cdot i_- \approx R \cdot i_+ = 0,4 \cdot 10^9 \cdot 5 \cdot 10^{-12} = 2 \text{ мВ},$$

где $R_{\text{OC}} = R_3 + R_4$ - сопротивление цепи обратной связи ОУ. Здесь учтено, что, поскольку $\frac{R_1 R_{\text{OC}}}{R_1 + R_{\text{OC}}} < 10 \text{ кОм}$, а $R = 0,4 \cdot 10^9 \text{ Ом}$, то напряжение $U_{\text{оо}}$ целиком приложено к прямому входу ОУ.

Напряжение найквистовских электрических шумов входной цепи усилителя $U_{\text{пп}} = 2\sqrt{kT\Delta f}$, где $k = 1,38 \cdot 10^{-23} \text{ Дж/К}$ – постоянная Больцмана, T - рабочая температура, Δf - полоса регистрируемых частот. Для оценки $U_{\text{пп}}$ можно положить $\Delta f = f_{\text{max}} = 50 \text{ Гц}$, $T = 300 \text{ К}$, тогда получим $U_{\text{пп}} = 18,2 \text{ мкВ}$.

Таким образом, нескомпенсированное значение порога чувствительности схемы равно

$$\begin{aligned} U_{\text{0Н}} &= U_{\text{ш}} + U_{\text{см}} + U_{\text{оо}} + U_{\text{пп}} = \\ &= 0,12 \cdot 10^{-6} + 1 \cdot 10^{-3} + 2 \cdot 10^{-3} + 18,2 \cdot 10^{-6} = 3,02 \text{ мВ}. \end{aligned}$$

В нормальных условиях, при градуировке ПД, подгонкой сопротивления резистора $R5$ смещение нуля ОУ доводится до нуля. Поскольку в процессе работы параметры R , $R1$, R_{OC} не меняются, то можно резистором $R5$ компенсировать напряжение сдвига нуля от всех источников сразу (в ОУ типа OPA131UA посредством резистора $R5$ можно компенсировать входное напряжение сдвига до 20 мВ). Однако шумы остаются. К тому же в нормальных условиях существующими государственными стандартами допускается изменение температуры окружающей среды в пределах $+25 \pm 5 {}^\circ\text{C}$, что вызывает температурный дрейф напряжений $U_{\text{см}}$ и $U_{\text{оо}}$. В результате появляется паразитный входной сигнал:

$$\Delta U_T = \left(\frac{\partial U_{\text{in}}}{\partial T} + \frac{\partial U_{\text{out}}}{\partial T} \right) \Delta T = \left(\frac{\partial U_{\text{in}}}{\partial T} + R \cdot \frac{\partial I}{\partial T} \right) \Delta T.$$

Для ОУ типа OPA131UA максимальное значение $\frac{\partial U_{\text{in}}}{\partial T} = \pm 8 \text{ мВ/град}$, а при изменении температуры от $+25^{\circ}\text{C}$ до $+30^{\circ}\text{C}$ изменение входного тока составляет $\Delta I_a / 5 \text{ град} = 0.25 \text{ нА}$ [4], в результате получаем $\Delta U_T = 8 \cdot 10^{-6} \cdot 5 + 0.4 \cdot 10^9 \cdot 0.25 \cdot 10^{-12} = 0.14 \text{ мВ}$. Таким образом, реальное значение порога чувствительности ПД будет

$$U_0 = U_{\text{in}} + U_{\text{in}} + \Delta U_T = 0.16 \text{ мВ.}$$

Следовательно, минимальное значение действующей силы, которое может чувствовать датчик, следует из формулы (1):

$$F_{\text{min}} = m a_{\text{min}} = U_0 \cdot C / 2d_{33} = 6 \cdot 10^{-4} \text{ Н.}$$

Учитывая, что по требованиям разработки $a_{\text{max}} = 10 \text{ м/с}^2$, определяем динамический диапазон измеряемых ускорений:

$$D_s = 20 \lg \frac{a_{\text{max}}}{a_{\text{min}}} = 20 \lg \frac{a_{\text{max}}}{a_{\text{min}}} = 20 \lg \frac{10m}{6 \cdot 10^{-4}} \geq 70 \text{ дБ.}$$

откуда следует $m \geq 0.19 \text{ кг}$. Принимая во внимание, что в паспортных данных пьезоматериалов значения пьезомодуля относятся к режиму холостого хода, с некоторым запасом выбрано значение инерционной массы $m = 0.2 \text{ кг}$. Максимальный сигнал, возникающий при этом на входе усилителя при максимальном значении измеряемого ускорения $a_{\text{max}} = 10 \text{ м/с}^2$, следует из формулы (1): $U_{\text{max}} = 520 \text{ мВ}$. Подгонкой сопротивления резистора $R4$ (рис. 1) на выходе усилителя устанавливается напряжение $U_1 = 5 \text{ В}$, чему соответствует значение коэффициента усиления $K_y \approx 10$.

Основной динамической характеристикой акселерометра является полоса пропускания по уровню -3 дБ . Амплитудно-частотная (АЧХ) и фазочастотная (ФЧХ) характеристики определяются при действии на ПД синусоидальной силы $F_m \sin \omega t$, на гранях каждой пьезопластины возникают заряды $q = Q_m \sin \omega t = d_{33} F_m \sin \omega t$. Мгновенный пьезоток $i = dq/dt = d_{33} \omega F_m \cos \omega t$, а его комплексное значение $\dot{I} = j\omega d_{33} \dot{F}$. Выходное напряжение ПД будет

$$\dot{U}_1 = 2\dot{I} \frac{R(1/j\omega C)}{R+1/(j\omega C)} \cdot K_y = \frac{2d_{33} \dot{F} K_y}{C} \cdot \frac{j\omega RC}{1+j\omega RC}. \quad (2)$$

Как видно из полученного выражения, амплитуда U_{im} выходного напряжения и сдвиг фаз φ между выходным напряжением и измеряемой силой зависят от частоты ω действующей на ПЭ силы:

$$U_{im} = \frac{2d_{33}F_m K_y}{C} \cdot \frac{\omega RC}{\sqrt{1+\omega^2 R^2 C^2}} = K_0 \cdot F_m \cdot \frac{\omega RC}{\sqrt{1+\omega^2 R^2 C^2}} = K \cdot F_m; \quad (3)$$

$$\varphi = \frac{\pi}{2} + \operatorname{arctg} \omega RC, \quad (4)$$

где $K_0 = \frac{2d_{33}K_y}{C}$ – номинальный коэффициент преобразования ПД;
 $K = K_0 \cdot \frac{\omega RC}{\sqrt{1+\omega^2 R^2 C^2}}$.

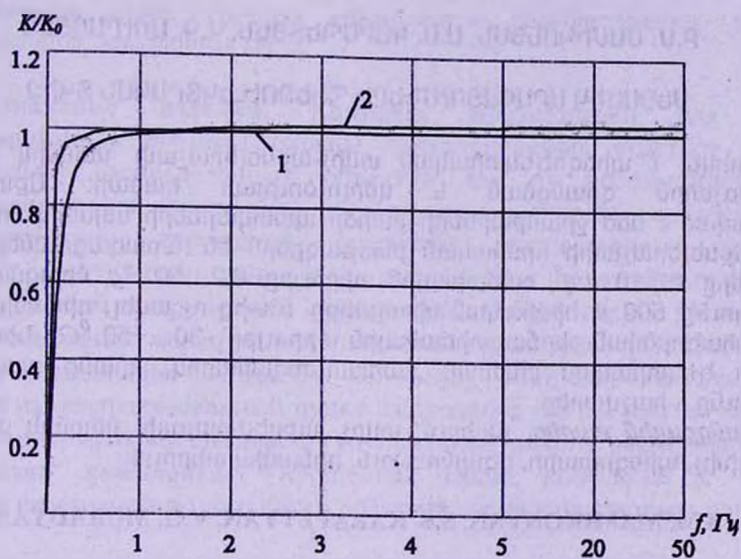


Рис. 2. Амплитудно-частотная характеристика акселерометра

Построена АЧХ ПД в относительных единицах (рис. 2), где кривая 1 – теоретическая характеристика, кривая 2 – экспериментальная. Из (3) и (4) следует, что АЧХ и ФЧХ имеют частоту среза (нижний предел частоты) $\omega_0 = 1/RC$ ($f_0 = 1/2\pi RC$). При этой частоте входного сигнала ($\omega = \omega_0$) спад АЧХ (т.е. уменьшение уровня выходного сигнала) равен 3 dB, а фазовый угол уменьшается на 45° . По полученным выше значениям параметров ПД

$f_0 = 0.156 \text{ Гц}$, что подтверждается экспериментально и удовлетворяет требованиям разработки.

СПИСОК ЛИТЕРАТУРЫ

1. Левшина Е. С., Новицкий П. В. Электрические измерения физических величин. – Л.: Энергоатомиздат, 1983. – 320 с.
2. Шарапов В. М., Мусиенко М. П., Шарапова Е. В. Пьезоэлектрические датчики. Под ред. В. М. Шарапова. – М.: Техносфера, 2006. – 632 с.
3. LA-20USB. Многофункциональная плата аналогово-цифрового преобразования для IBM PC/AT совместимых компьютеров на шину USB / <http://centeradc.ru/produkcija/nizkochastotnye-platy-sbora-dannyy-s-la-20usb>.
4. Руководство по выбору усилителей. – Texas Instruments. – 2006. – 44 с.
5. Нефедов А. В. Интегральные микросхемы и их зарубежные аналоги: Справочник. Том 2. – М.: ИП РадиоСофт, 1999. – 640 с.

ГИУА (П). Гюмрийский филиал. Материал поступил в редакцию 06.10.2010.

Բ.Ս. ՄԱՄԻԿՈՆՅԱՆ, Ս.Ս. ԿԱՐԱՊԵՏՅԱՆ, Վ.Գ. ՄՈՒՐԱԴՅԱՆ

ՍԵՅՍՄԻԿ ԱՐԱԳԱՑՈՒՄՆԵՐԻ ՊԻԵԶՈԷԼԵԿՏՐԱԿԱՆ ՏՎԻՀ-ԱՐՑԵԼԵՐԱՉԱՓԻ ՄԵԽԱՆԻԿԱ

Մշակվել է պիեզոէլեկտրական տվիչ-արցելերաչափի սեխմիկ տեղեկույթի համակարգչային գրանցման և վերլուծության համար: Արսելերաչափը նախատեսված է մեծ ջրամբարների բարձր պատվարների սեխմիկ մոնիթորինգի համար: Արսելերաչափի հիմնական բնութագրերն են արագացումների չափման սահմանները $0...10 \text{ м/}^2$, հաճախային տիրույթը $0,2...50 \text{ Гц}$, միացման մալուխի երկարությունը 500 մ, հիմնական սխալանքը 5%-ից ոչ ավել, դինամիկ տիրույթը 70 դԲ, շահագործման ջերմաստիճանային տիրույթը $-30...+50^\circ\text{C}$. Ներկայացված են տվիչի էլեկտրական սխեման նախառութեղարարով, դրանց պարամետրերի ընտրությունը և հաշվարկը:

Առանձքային բառեր. չափում, տվիչ, արցելերաչափ, սեխմիկ արագացում, կերպափոխչ, պիեզոտարր, գգայնություն, դինամիկ տիրույթ:

B.M. MAMIKONYAN, S.S. KARAPETYAN, V.G. MURADYAN

THE PIEZOELECTRIC SENSOR FOR SEISMIC ACCELERATIONS

A piezoelectric sensor-accelerometer for computer registration and seismic information analysis is developed. The accelerometer is aimed for seismic monitoring high dam of big water-storage basins. The basic characteristics of the accelerometer are acceleration measurement boundary $0...10 \text{ m/s}^2$, frequency range $0.2...50 \text{ Hz}$, connecting cable length 500 m, the basic error no more than 5%, dynamic range 70 dB, temperature range of exploitation from -30 to +50 °C. An electric circuit of sensor with preamplifier and selection and calculation of their parameters are presented.

Keywords: measurement, sensor, accelerometer, seismic acceleration, converter, piezoelectric cell, sensitivity, dynamic range.

Р. М. МАРТИРОСЯН, А. Г. ГУЛЯН, А. А. АБРАМЯН, Р. Г. СИМОНЯН,
Г. А. ПИРУМЯН, О. Ж. СЕВОЯН, А. А. САНОЯН

АВТОМАТИЗИРОВАННЫЙ ОХРАННЫЙ КОМПЛЕКС АРЦАХ-М1

Представлена автоматизированная охранная система, предназначенная для защиты территориально распределенных объектов. Указаны преимущества и перспективность применения подобных систем для решения специальных задач охраны, где требуются скрытность установки, оперативность изменения контролируемого рубежа и быстроразвертываемость. Оповещение о нарушении передается на централизованный пункт наблюдения (до 30 км), а также на носимый приемник группы оперативного реагирования (до 3 км) по одному из 640 цифровых препрограммированных радиоканалов.

Ключевые слова: средства обнаружения, радиопередатчик, радиоканал, радиоретранслятор, электронная карта.

Назначение изделия. Комплекс предназначен для создания автоматизированной системы охраны контролируемых участков местности территориально распределенных объектов как от несанкционированного проникновения людей (групп лиц), так и от автотранспортных средств.

Обнаружение нарушений (вторжений) осуществляется посредством применения средств обнаружения (СО), построенных на различных физических принципах (магнитометрических, сейсмических, обрывных) и расположенных на путях возможных маршрутов следования нарушителей [1]. Информация о нарушении немедленно передается по каналу ультракоротких волн (УКВ) радиосвязи на централизованный пункт наблюдения (ЦПН) или же на носимый радиоприемник, которым снабжается группа оперативного реагирования.

Состав комплекса. Упрощенная схема комплекса с указанием примерных расстояний по дальности действия элементов системы приведена на рис.1.

Комплекс состоит из набора нескольких типовых элементов:

- малогабаритный радиопередатчик сигналов тревоги (РСТ) в комбинации с одним из СО: сейсмическим, магнитным или обрывным;
- носимый приемник (НП) для приема и отображения сигналов тревоги;
- ЦПН - на основе персонального компьютера (ПК) со встроенным радиоприемным устройством и специальным программным обеспечением (ПО);
- многоканальный радиоретранслятор (МРР) для увеличения дальности связи.

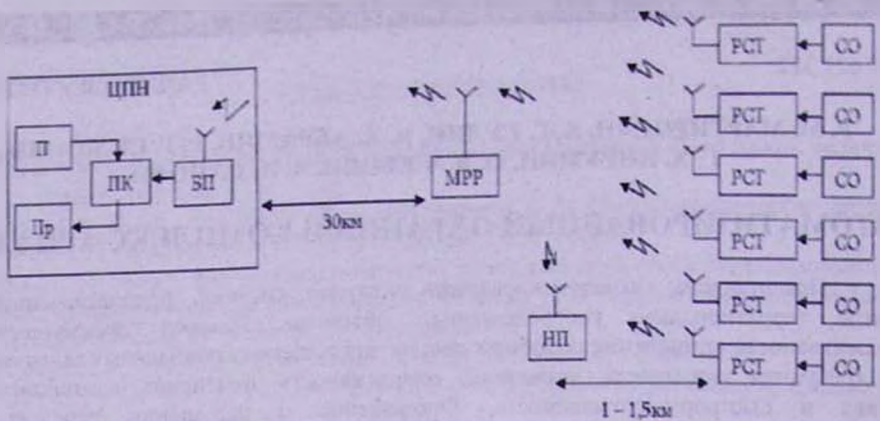


Рис. 1. Схема дислокации комплекса

Ниже приведено краткое описание элементов и устройств, входящих в комплекс.

Сейсмический датчик (рис.2) предназначен для регистрации малых колебаний грунта и соответствующего извещения.

Технические данные:

Дальность обнаружения:

• пешехода	до 30 м
• легкой техники	до 100 м
• тяжелой техники	до 200 м
Спектр колебаний	0,1...10 Гц
Коэффициент усиления	до 60 дБ
Ток покоя	50 мкА
Напряжение питания	7,5...10 ВDC
Вес	230 г

Магнитометрический датчик (рис.3) предназначен для регистрации возмущений магнитного поля Земли, вызванного присутствием металлического предмета.

Технические данные:

Дальность обнаружения:	до 50 м
Мощность, потребляемая в ждущем режиме	2 мВт
Амплитуда выходного сигнала	5 ВDC
Длительность выходного сигнала	5 с
Размеры	25x55x85 мм ³
Вес	120 г

Датчик обрыва провода (рис.4) предназначен для фиксации нарушения границы охраняемого рубежа обрывом микропровода.

Технические данные:

Длина обрывного провода	до 100 м
Диаметр обрывного провода	0,05 мм
Ток покоя	20 мкА
Напряжение питания	7,5...10 ВDC
Габариты	53x53x36 мм ³
Вес	150 г



Рис.2. Сейсмический датчик

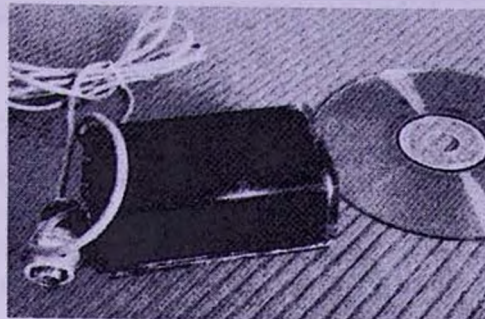


Рис.3. Магнитометрический датчик

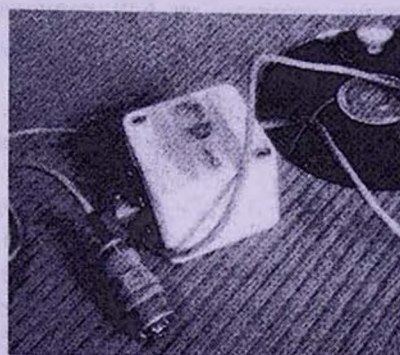


Рис.4. Датчик обрыва провода

Радиоизвещатель сигнала тревоги (РСТ) (рис.5). РСТ совместно с любым из датчиков СО выполняет задачу обнаружения факта вторжения с передачей сигнала тревоги по радиоканалу на НП, ЦПН или ретранслятор. При размещении на местности устройство устанавливается скрытно в грунт на глубину до 10 см, за исключением передающей антенны, представляющей собой четвертьволновый штырь из стального провода диаметром 1 мм, что обеспечивает практически полную визуальную маскируемость передатчика (рис.5).

В целях увеличения дальности связи с высокой помехозащищённостью и при передаче пакета используется сверточное кодирование (Convolution Coding) с одним из видов Манчестерского кодирования [2]. Для проверки целостности пакета данных использован алгоритм CRC 32. При передаче сигналов тревоги, в целях исключения потерь связи в условиях сильных естественных или умышленных радиопомех, предусмотрены режим многократной передачи сообщений через программно-задаваемый интервал времени и режим последующей обработки принимаемого сигнала путем мажорирования.

РСТ предназначен для обнаружения факта вторжения с передачей сигнала тревоги по радиоканалу.

Технические данные:

Длительность передачи сигнала	0,2 с
Частотный диапазон	138...154 МГц
Передаваемая мощность (регулируемая)	до 3-х Вт
Количество радиоканалов	640
Питание	4x700 мА/ч
Габариты	114x90x82 мм
Вес	500 г

Предназначение носимого приемника (рис.6): прием, извещение, декодирование, отображение каждого из 640 радиоканалов и сохранение в архиве последних 10-ти извещений.

Технические данные:

Диапазон рабочих	-20...+ 55 °C
Питание	сменная батарея 2x700
мА/ч	
Габариты	150x74x40 мм ³
Вес	490 г

Носимый приемник служит для приема и отображения сигналов тревоги от средств обнаружения, а также для обеспечения работы в полевых условиях. Он также может быть применен при монтаже и пусконаладке устройств комплекса. В рабочем режиме НП декодирует и выдает на дисплей извещение от любого СО, расположенного на рубеже охраны (в пределах допустимой дальности радиосвязи).

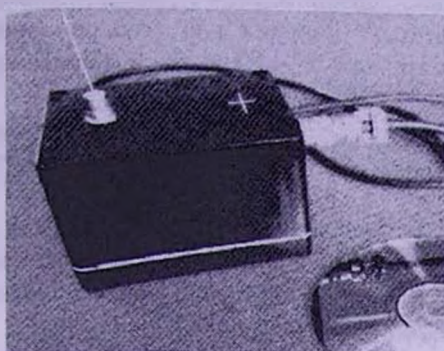


Рис.5. Радиоизвещатель сигнала тервоги (РСТ)

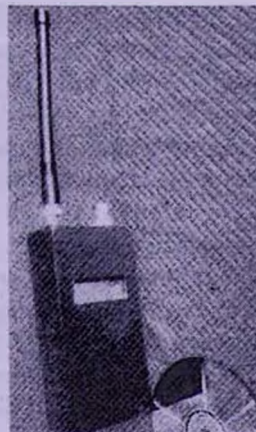


Рис.6. Носимый приемник

Многоканальный радиоретранслятор (МПР) (рис.7) предназначен для приема и ретрансляции радиосигналов из зоны расположения РСТ.

Технические данные:

Чувствительность канала приема	-120 dBm
Уровень излучения	до 5 Вт
Программируемые каналы	640
Частотный диапазон	138...154 МГц
Питание	12 В, 10 А/ч
Габариты	320x220x150 мм ³
Вес	16 кг
Рабочая температура	-30...+55 °C

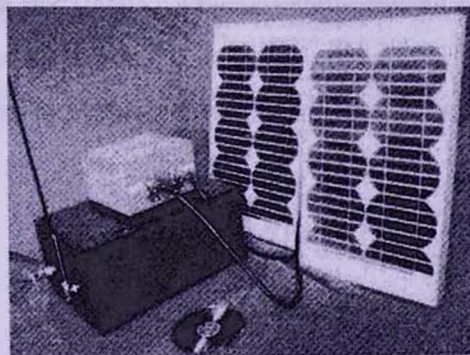


Рис.7. Многоканальный радиоретранслятор (МПР)

MPP служит для приема и ретрансляции радиосигналов из зоны расположения РСТ до пунктов приема, в качестве которых могут быть ЦПН, другой МПР или НП. МПР относится к классу автономных устройств и может длительное время не обслуживаться, если есть условия для своевременной автоматической подзарядки встроенной батареи от электросети, солнечной батареи или другого источника питания.

Центральный пункт наблюдения (ЦПН) является станционной частью комплекса и фактически представляет собой автоматизированное рабочее место (АРМ) оператора, работающее непрерывно в круглосуточном режиме и обеспечивающее прием и обработку поступивших по радиоканалу извещений о нарушениях, а также контрольных сообщений о состоянии связи [3]. Основу АРМ оператора составляет ПК со встроенным в его процессорный блок радиоприемным устройством и специальным программным обеспечением.

Программное обеспечение комплекса функционирует на платформе Microsoft Windows XP Professional и обеспечивает:

- создание и иллюстрацию на экране монитора ПК электронной карты дислокации отдельных узлов комплекса по систематизированным адресам;
- отображение периферийных узлов на электронной карте местности;
- контроль состояния и параметров датчиков;
- декодирование, регистрацию и архивацию принятых сообщений с указанием адреса датчика в реальном масштабе времени.

На рис.8 и 9 приведены снимки с экрана монитора с изображениями электронной карты местности, где квадратиками отражены установленные СО, привязанные к координатам карты. Представлен также пример страницы архивированной информации. Поступление принятого сообщения о тревоге сопровождается звуком и световым сигналом.

В таблице представлены результаты сравнительного анализа характеристик комплекса «Арцах-М1», изготовленного в ИРФЭ НАН РА с максимально близкими по назначению современными аналогичными системами американского и российского производства «EMIDS» и «Радиобарьер»-МФ соответственно.

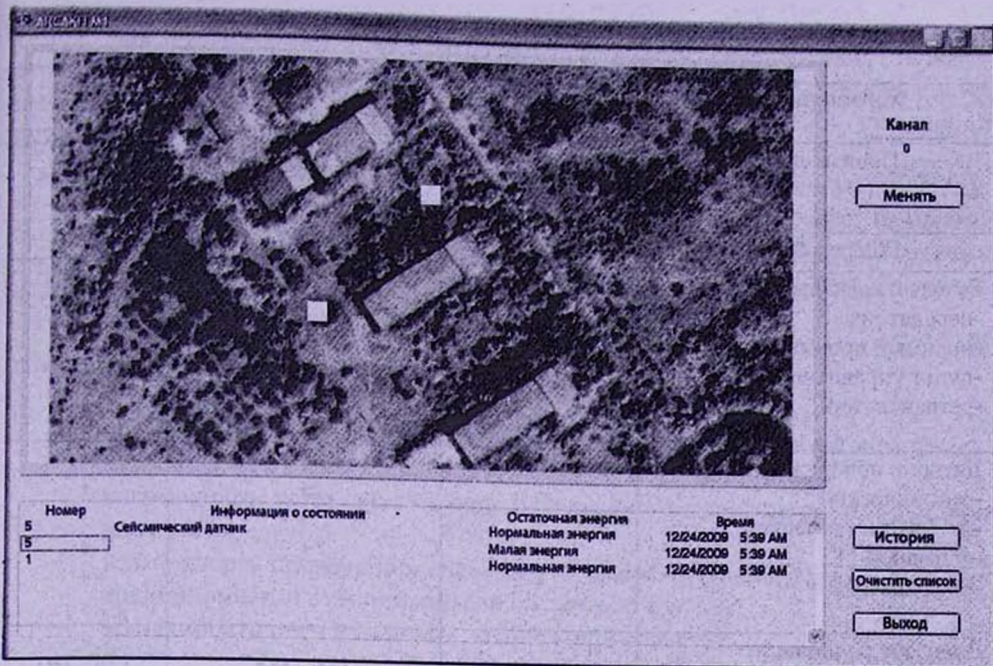


Рис.8. Электронная карта местности

Load Database			
Номер	Информация о состоянии	Остаточная энергия	Время
5	Датчик обрывной проволоки	Нормальная энергия	12/24/2009 6:05 AM
9	Датчик обрывной проволоки	Малая энергия	12/24/2009 6:05 AM
5	Датчик обрывной проволоки	Нормальная энергия	12/24/2009 6:05 AM
3	Датчик обрывной проволоки	Малая энергия	12/24/2009 6:05 AM
9	Датчик обрывной проволоки	Нормальная энергия	12/24/2009 6:05 AM
9	Датчик обрывной проволоки	Нормальная энергия	12/24/2009 6:05 AM
0	Сейсмический датчик	Нормальная энергия	12/24/2009 6:06 AM
4	Сейсмический датчик	Малая энергия	12/24/2009 6:06 AM
9	Датчик обрывной проволоки	Малая энергия	12/24/2009 6:06 AM
9	Сейсмический датчик	Нормальная энергия	12/24/2009 6:06 AM
5	Сейсмический датчик	Нормальная энергия	12/24/2009 6:06 AM
4	Датчик обрывной проволоки	Нормальная энергия	12/24/2009 6:06 AM
7	Датчик обрывной проволоки	Малая энергия	12/24/2009 6:06 AM
8	Сейсмический датчик	Нормальная энергия	12/24/2009 6:06 AM
4	Датчик обрывной проволоки	Малая энергия	12/24/2009 6:06 AM
2	Сейсмический датчик	Малая энергия	12/24/2009 6:06 AM
1	Датчик обрывной проволоки	Нормальная энергия	12/24/2009 6:06 AM
2	Сейсмический датчик	Нормальная энергия	12/24/2009 6:07 AM

Рис.9. Архивированная информация

Характеристики	«EMIDS»	«Радиобарьер»-НПФ	«Арцах-М1»
Производитель	«Qual-Tron,inc» США	«ПОЛЮС-СТ» РФ	ИРФЭ НАН Армения
Год разработки	1995г.	2005г.	2008г.
Базовый комплект:			
-передатчик	+	+	+
-носимый приемник	+	+	+
-пульт управления	+	+	+
-ретранслятор	+	+	+
Датчики обнаружения			
-сейсмический	+	+	+
-магнитометрический	+	+	+
-обрывной	+	+	+
-инфракрасный	+	-	+
Диапазон радиочастот МГц	138...174	433...435	138...174
Число программируемых радиоканалов связи	640, 1600, 1920	3-5	640
Интервал каналов, кГц	25, 5, 6,25	?	25
Дальность передачи (км) от заглубленного в земле передатчика до:			
-носимого приемника	1	0,5	1,5
-пульта оператора	3	1,5	3
-между ретранслятором и пультом оператора	до 10	до 7	до 20
Ориентировочная стоимость комплекса в составе передатчиков с датчиками (10шт), носимого приемника, ретранслятора, средств сбора и обработки информации в SUSA	22000	28000	18500

Заключение. Комплекс относится к классу сравнительно новых и стремительно развивающихся так называемых быстроразвертываемых систем, имеющих автономное питание и осуществляющих передачу сигнала по радиоканалу.

Особенно перспективно применение таких систем для защиты рубежей в условиях горной местности, где сильная изрезанность рельефа и наличие скальных пород могут практически исключить возможность монтажа стационарной системы и прокладки протяженных кабельных линий связи и электропитания.

Основные отличия быстроразвертываемых систем как класса от традиционных систем охраны периметров:

- малое время установки элементов системы на местности;
- возможность быстрого изменения конфигурации элементов комплекса в зависимости от изменения обстановки;
- возможность установки на неподготовленной в инженерном отношении местности;
- возможность применения системы как самостоятельно, так и совместно с традиционными стационарными системами охраны;
- возможность осуществления технической разведки.

СПИСОК ЛИТЕРАТУРЫ

1. Юшин А.М. Цифровые микросхемы для электронных устройств. – М.: Высшая школа, 1993.
2. Оппенгейм А., Шафер Р. Цифровая обработка сигналов. – М.: Мир цифровой обработки, 2006.
3. Прокис Джон. Цифровая связь. – М.: Радио и связь, 2000.

Институт радиофизики и электроники НАН РА.. Материал поступил в редакцию 11.07.2000.

Ռ.Մ. ՄԱՐՏԻՐՈՍՅԱՆ, Ա.Գ. ՂՈՒՅԱՆ, Ա.Ա. ԱԲՐԱՀԱՄՅԱՆ, Ռ.Հ. ՍԻՄՈՆՅԱՆ,
Հ.Ա. ՓԻՐՈՒՄՅԱՆ, Օ.Զ. ՍԵՎՈՅԱՆ, Ա.Ա. ՍԱՆՈՅԱՆ

ՂՄԿՄԱՆ ԱՎՏՈՍԱՏԱՑՎԱԾ ԴԱՍՍԱԼԻՐ «ԱՐՏՍԱԽ-Մ1»

Ներկայացված է տարածքային բաշխվածությամբ տեղամասերի պաշտպանության ավտոմատ հսկման համալիր: Ցույց է տրված նման համալիրների կիրառման հեռանկարները հսկման հատուկ խնդիրների դեպքում, եթե պահանջվում են համալիրի հանգույցների տեղակայման բացնվածություն, հսկման սահմանագծի օպերատիվ վերածևափոխություն և տեղաբաշխման արագություն: Խախտումն արձանագրող ահազանգը 640 թվանշային վերածրագրավորվող ռադիոռուղիներից մեկով հաղորդվում է ազդանշանի ընդունման կենտրոնակայան (մինչև 30 կմ), ինչպես նաև օպերատիվ խճի դյուրակիր ընդունիչին (մինչև 3 կմ):

Առանձգային բառեր. հայտնաբերման միջոցներ, ռադիոհաղորդիչ, ռադիոռուղի, ռադիովերահաղորդիչ, էլեկտրոնային քարտեզ:

R.M. MARTIROSYAN, A.G. GHULYAN, A.A. ABRAHAMIAN, R.H. SIMONYAN,
H.A. PIRUMIAN, O.ZH. SEVOYAN, A.A. SANOVAN

AUTOMATED GUARD COMPLEX “ARTSAKH-M1”

An automated security system meant for securing territorially allocated objects is presented. The advantages and perspectives of applying such a system for solving special problems of security where setup security, efficiency of controlled border changing and quick deployment are required. Notification on violation is transferred to the centralized observation point (up to 30 km), as well as to the receiver of the operational reaction group (up to 3 km) one by one from 640 digital reprogrammable radio channels.

Keywords: detection facilities, radio transmitter, radio channel, radiotranslator, electronic map.

Э.П. АШИЯНЦ

НЕСТАЦИОНАРНОЕ ЛАМИНАРНОЕ ТЕЧЕНИЕ ВЯЗКОЙ ЖИДКОСТИ В КРУГЛОЙ ЦИЛИНДРИЧЕСКОЙ ТРУБЕ

Исследуется замедленное и ускоренное напорное ламинарное течение жидкости в круглой цилиндрической трубе. Используя уравнение Навье-Стокса, получены аналитические зависимости, в которых влияние конвективного члена отражается в явном виде.

Ключевые слова: разгон жидкости, скоростной напор, коэффициент затухания.

Исследование нестационарных процессов в напорных системах, возникающих при движении вязких жидкостей, необходимо для их надежного проектирования. В инженерной практике приходится сталкиваться с ламинарным режимом течения при движении в трубах нефти, керосина, смазочных масел и других жидкостей с повышенной вязкостью.

Математические модели течений вязких жидкостей несколько отличаются от моделей идеальных жидкостей. Достаточно полное представление об изменении структуры ламинарного течения можно получить, используя дифференциальное уравнение Навье-Стокса. Например, авторы работ [1,2], интегрируя указанные уравнения, рекомендуют зависимости, с помощью которых определяются гидравлические параметры ламинарного нестационарного движения. Недостатком этих зависимостей является то, что в них влияние скоростного напора или не учитывается, или же его трудно установить. Кроме того, дискуссионным является полученное в указанных зависимостях значение показателя степени при экспоненте затухания.

Целью работы является исследование структуры ламинарного течения в круглой цилиндрической трубе, возникающего при замедленном и ускоренном движении вязкой несжимаемой жидкости, с помощью аналитических зависимостей, в которых влияние скоростного напора отражается в явном виде.

Рассмотрим сначала замедленное движение вязкой жидкости на некотором участке горизонтальной трубы (рис. 1), возникающее под действием внезапно созданной постоянной разности давлений ($\Delta H = H_0$) на концах рассматриваемого участка.

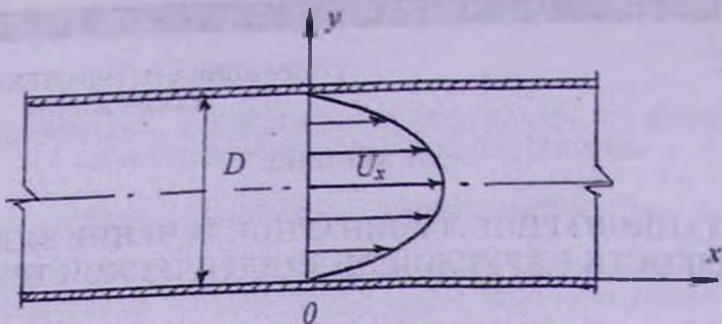


Рис. 1. Расчетная схема участка трубы

Для решения задачи используется уравнение Навье-Стокса, которое для плоскопараллельного движения ($U_y = U_z = 0$) имеет вид [3]

$$\frac{\partial U_x}{\partial t} + U_x \frac{\partial U_x}{\partial x} = -\frac{1}{\rho} \frac{\partial P}{\partial x} + \frac{\mu}{\rho} \frac{\partial^2 U_x}{\partial y^2}, \quad (1)$$

где U_x - горизонтальная составляющая скорости течения жидкости; x - продольная координата низа трубы (рис.1); y - вертикальная ордината; P - давление жидкости в трубе; ρ - плотность жидкости; μ - динамическая вязкость; t - текущее время.

В уравнении (1) слагаемое $U_x \frac{\partial U_x}{\partial x}$ отражает влияние скоростного напора на нестационарный процесс. В случае аналитического решения задачи влияние этого слагаемого приходится учитывать приближенно. В работе [4] оно заменяется выражением $2RU_x$, где $2R = \sqrt{2gH_0}/l$, g - ускорение свободного падения, l - длина рассматриваемого участка трубы. В настоящей работе выражение $\sqrt{2gH_0}/l$ обозначено коэффициентом k .

При постоянном перепаде давления на концах рассматриваемого участка трубы выражение $\frac{1}{\rho} \frac{\partial P}{\partial x}$ можно заменить и представить его в виде gH_0/l . С учетом указанных обозначений уравнение (1) примет вид

$$\frac{\partial U_x}{\partial t} + kU_x = -\frac{gH_0}{l} + \nu \frac{\partial^2 U_x}{\partial y^2}, \quad (2)$$

где ν – кинематическая вязкость.

При стационарном ламинарном течении жидкости распределение местных скоростей по диаметру трубы имеет вид [3]

$$U_x(y,0) = \frac{8V_c}{D^2} (Dy - y^2), \quad (3)$$

где D – диаметр трубы; V_c – средняя в живом сечении скорость течения жидкости.

Из (3) определяются те ординаты y_1 и y_2 , при которых скорость U_x равна V_c . Такими ординатами являются значения $y_1=0,146D$ и $y_2=0,854D$.

Выражение (3) используется в качестве начального условия при интегрировании уравнения (2), а граничные условия определяются исходя из того обстоятельства, что у стенок трубы ($y=0$ и $y=D$) скорость течения равна нулю:

$$U_x(0,t) = 0, \quad U_x(D,t) = 0. \quad (4)$$

Интегрируя уравнение (2) методом Фурье при условиях (3) и (4), получается зависимость вида

$$U_x(y,t) = \frac{64V_c}{\pi^3} \sum_{n=1}^{\infty} \frac{1}{(2n-1)^3} \left(\exp \left[t \left(-k - \frac{v(2n-1)^2 \pi^2}{D^2} \right) \right] \right) \times \\ \times \sin \frac{(2n-1)\pi y}{D} - \frac{4gH_0}{l\pi} \sum_{n=1}^{\infty} \frac{1}{(2n-1) \left[k + \frac{v(2n-1)^2 \pi^2}{D^2} \right]} \times \\ \times \left\{ 1 - \exp \left[t \left(-k - \frac{v(2n-1)^2 \pi^2}{D^2} \right) \right] \right\} \sin \frac{(2n-1)\pi y}{D}. \quad (5)$$

Распределение местных скоростей течения по диаметру трубы (рис.2), построенных с помощью (5) при некоторых значениях t и y , показывает, как происходит изменение профиля скоростей в трубе при замедленном движении. При вычислениях приняты следующие численные значения расчетных параметров: $v = 85 \cdot 10^{-7} \text{ м}^2/\text{с}$, $D = 0,05 \text{ м}$, $H_0 = 0,17 \text{ м}$, $l = 50 \text{ м}$, $V_c = 0,31 \text{ м}/\text{с}$, $k = 0,0365 \text{ л}/\text{с}$.

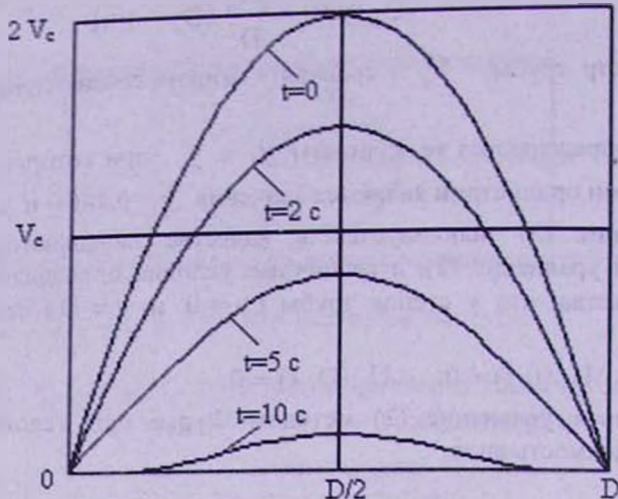


Рис.2. Изменение распределения скоростей при замедленном движении жидкости в трубе

Рассмотрим нестационарный процесс, возникающий при разгоне вязкой жидкости в трубопроводе из состояния покоя и перехода ее в стационарный режим движения. В этом случае начальные и граничные условия при интегрировании уравнения (2) будут иметь вид

$$U_x^p(0, y) = 0, \quad U_x^p(0, t) = 0 \text{ и } U_x^p(D, t) = 0. \quad (6)$$

При указанных условиях интеграл уравнения (2) будет иметь вид

$$U_x(y, t) = \frac{4gH_0}{\ln} \sum_{n=1}^{\infty} \frac{1}{(2n-1) \left[k + \frac{v(2n-1)^2 \pi^2}{D^2} \right]} \times \\ \times \left\{ 1 - \exp \left[t \left(-k - \frac{v(2n-1)^2 \pi^2}{D^2} \right) \right] \right\} \sin \frac{(2n-1)\pi y}{D}. \quad (7)$$

Из (7) видно, что продолжительность существования переходного процесса зависит от численного значения выражения $k + \frac{v\pi^2}{D^2}(2n-1)^2$, где коэффициент k отражает влияние конвективного члена $U_x \frac{\partial U_x}{\partial x}$ в уравнении (1) и $\frac{v\pi^2(2n-1)^2}{D^2}$ - влияние вязкости жидкости и диаметра трубы.

На рис.3 показаны графики функции (7), построенные при различных значениях переменных y и t вышеуказанных численных значениях расчетных параметров.

Как видно из графиков, значение скорости течения жидкости максимально при $y=D/2$, а при $y_1=0,146D$ и $y_2=0,854D$ оно стремится к средней в живом сечении трубы скорости V_c .

Следует отметить, что в случае использования квазистационарной модели движения жидкости зависимость изменения средней скорости течения от времени имеет вид гиперболического тангенса [3]. В этом случае продолжительность переходного процесса получается меньше, чем при расчетах по полученной зависимости (7), которая имеет вид экспоненциальной функции.

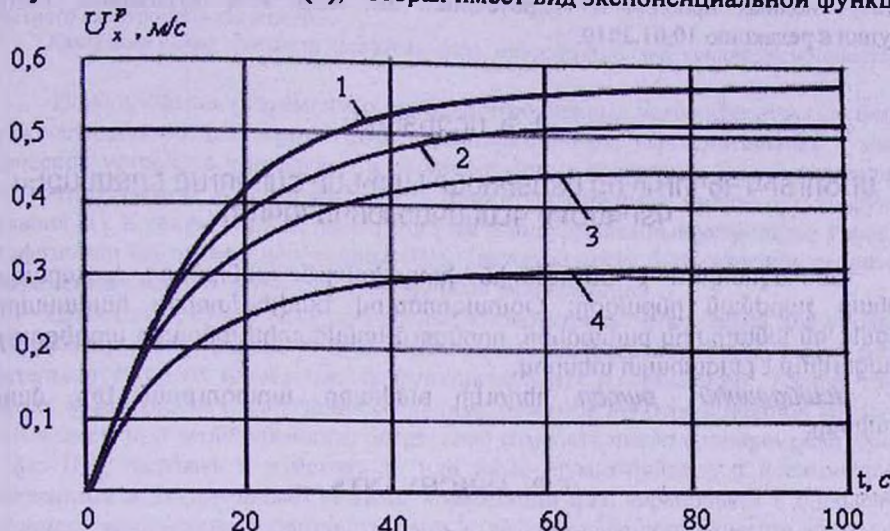


Рис.3. Зависимость $U_x^p = f(t)$ при: 1 - $t = 0,5D$; 2 - $y=0,33D$; 3 - $y = 0,25D$; 4 - $y=0,146D$

Однако при этом величина средней в живом сечении трубы скорости движения при $t \rightarrow \infty$ совпадает с численным значением V_c , определяемым по формуле Пуайзеля-Гагена [3].

Таким образом, расчеты показывают, что при исследовании ламинарного движения вязкой жидкости учет влияния конвективного члена в уравнении Навье-Стокса обязателен.

СПИСОК ЛИТЕРАТУРЫ

1. Попов Д.Н. Нестационарные гидромеханические процессы. – М.: Машиностроение. 1982. – 240 с.
2. Громека И.С. К теории движения жидкости в узких цилиндрических трубках. – М.: Изд-во АН СССР, 1952.
3. Альтшталь А.Д., Животовский, Иванов Л.П. Гидравлика и аэродинамика. – М.: Стройиздат, 1987. – 414 с.
4. Ашмянц Э.П. Общее аналитическое решение задачи разгона жидкости в трубопроводе // Известия НАН РА и ГГУА. Сер. ТН. - 2007. - Т. LX. №4. - С. 728-731.

Институт водных проблем и гидротехники им. акад. Н.В. Егназарова. Материал поступил в редакцию 10.01.2010.

Ե.Պ. ԱՇԿՅԱՆՏ

ՍԱԾՈՒՅԹԻԿ ՀԵՂՈՒԿԻ ՈՉ ՍՏԱՑԻՈՆԱՐ ԼԱՍԻՆԱՐ ԸՆՐԺՈՒՄԸ ԾՐՁԱՍՄԵՎ
ԿՏՐՎԱԾՔԻ ԳԼԱԽԱԿԱՆ ԽՈՂՈՎԱԿՈՒՄ

Հետազոտվում է ճնշումային խողովակում դանդաղող և արագացող լամինար շարժման ընթացքը: Օգտագործելով Նավե-Ստոքսի հավասարումը՝ ստացվել են անալիտիկ բանաձևեր, որոնցում կոնվեկտիվ անդամի ազդեցությունը արտացոլվում է բացահայտ տեսքով:

Առանցքային բառեր. հեղուկի թափառք, արագության էջը, մարման գործակիցը:

E.P. ASHCHYANTS

NON-STATIONARY LAMINAR FLOW OF VISCOSITY LIQUID IN ROUND CYLINDRICAL PIPELINE

Slow and accelerated enforced laminar flow of liquid in a round cylindrical pipeline is studied. Using Navye-Stoks equation the analytical dependences in which the influence of convective member is reflected in a real form are obtained.

Keywords: liquid distance, ram action, damping coefficient.

В.Ш. АРУТЮНЯН, П.А. ШИРИНЯН

МИКРОКОНТРОЛЛЕРНОЕ МНОГОРЕЖИМНОЕ УСТРОЙСТВО УПРАВЛЕНИЯ ШЕСТИФАЗНЫМ ШАГОВЫМ ДВИГАТЕЛЕМ

Представлены схемы подключения, таблицы переключения фаз и управления шестифазным шаговым двигателем при различных (симметричном и несимметричном, однополярном и двуполярном, шеститактном и двенадцатитактном) режимах коммутации фаз. Предложено микроконтроллерное управление всеми этими режимами, а также управление всей системой дискретного электропривода в целом.

Ключевые слова: шаговый двигатель, фаза, микроконтроллер, усилитель мощности.

Использование современных микроконтроллерных устройств открыло большие возможности для создания различных радиоэлектронных, вычислительных и электротехнических устройств управления и регулирования с достаточно малыми габаритами, весом, потребляемой электроэнергией, а также повышенной надёжностью функционирования [1]. К таким устройствам относятся и многорежимные устройства управления многофазными шаговыми двигателями (ШД), которые могут быть успешно реализованы на современных микроконтроллерах различных модификаций.

Известные работы [2,3] по использованию микроконтроллеров для управления ШД посвящены обеспечению одного из возможных режимов коммутации фаз, что свидетельствует об их ограниченных функциональных возможностях. Между тем, как известно, возможность обеспечения различных режимов непосредственной коммутации фаз позволяет, при необходимости, оперативно изменять число одновременно включённых фаз ШД, задавать и изменять те или иные (симметричные и несимметричные, однополярные и двуполярные) режимы коммутации фаз, варьировать в определённых диапазонах величинами единичного шага и результирующего момента на валу ШД, частотой приёмистости и общей потребляемой энергией.

В зависимости от имеющихся технических возможностей (наличие соответствующих источников питания и ключевых усилителей мощности), а также исходя из особенностей соединения между собой фаз выпускаемых ШД, выходную силовую часть предлагаемой системы управления шестифазным ШД можно реализовать двумя равносильными способами.

При первом способе (рис. 1) используются два разнополярных источника питания $+V_1$ и $-V_2$ с общей заземлённой точкой, а для коммутации каждой из фаз – по два ключевых усилителя мощности, соединённых последовательно между собой и источниками питания. При этом фазы ШД подключаются между средними точками соединения каждой пары усилителей и общей нулевой шиной системы.

При втором способе (рис. 2) используются только один источник питания $+V_1$ и шесть мостовых усилителей мощности, в диагоналях которых подключаются соответствующие фазные обмотки ШД.

На рис. 3–6 приведены номограммы векторов результирующих моментов в различных режимах коммутации фаз шестифазного ШД.

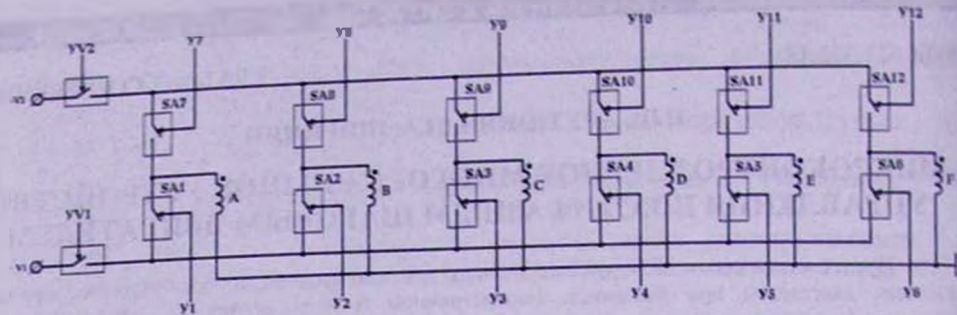


Рис.1. Схема подключения фаз ШД с двумя источниками питания

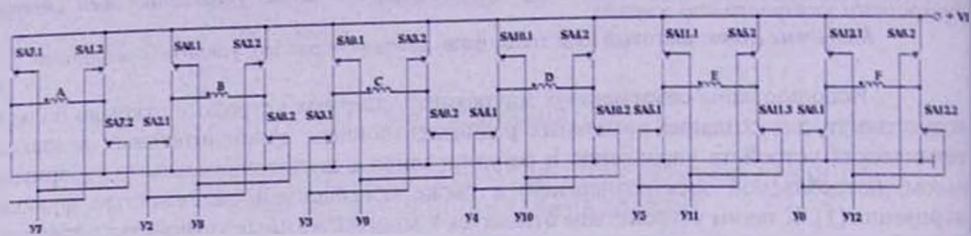


Рис.2. Схема подключения фаз ШД с одним источником питания

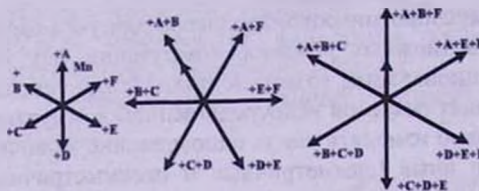


Рис.3. Шеститактные симметричные однополярные режимы

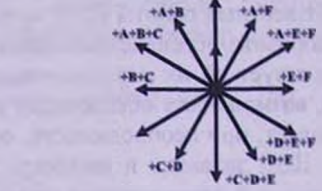


Рис.4. Двенадцатитактный несимметричный однополярный режим

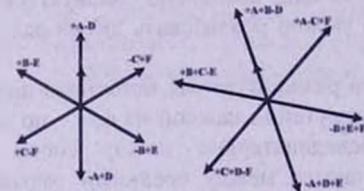


Рис.5. Шеститактные симметричные двухполлярные режимы

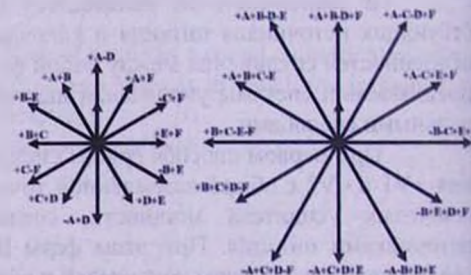


Рис.6. Двенадцатитактные симметричные двухполлярные режимы

В табл. 1-4 приведены коды управления многорежимным устройством управления шестифазным ШД при различных наиболее оптимальных шеститактных и двенадцатитактных, симметричных и несимметричных, однополярных и двуполярных режимах коммутации фаз.

Таблица 1

Шеститактные симметричные однополярные режимы

Режим	№ такта	У1	У2	У3	У4	У5	У6	У7	У8	У9	У10	У11	У12	Порядок переключения фаз
		А	В	С	Д	Е	Ф	-А	-В	-С	-Д	-Е	-Ф	
1	1	1	0	0	0	0	0	0	0	0	0	0	0	+A
	2	0	1	0	0	0	0	0	0	0	0	0	0	+B
	3	0	0	1	0	0	0	0	0	0	0	0	0	+C
	4	0	0	0	1	0	0	0	0	0	0	0	0	+D
	5	0	0	0	0	1	0	0	0	0	0	0	0	+E
	6	0	0	0	0	0	1	0	0	0	0	0	0	+F
	7	1	1	0	0	0	0	0	0	0	0	0	0	+A+B
2	1	0	1	1	0	0	0	0	0	0	0	0	0	+B+C
	2	0	0	1	1	0	0	0	0	0	0	0	0	+C+D
	3	0	0	0	1	1	0	0	0	0	0	0	0	+D+E
	4	0	0	0	0	1	1	0	0	0	0	0	0	+E+F
	5	0	0	0	0	1	1	0	0	0	0	0	0	+A+F
	6	1	0	0	0	0	1	0	0	0	0	0	0	
3	1	1	1	1	0	0	0	0	0	0	0	0	0	+A+B+C
	2	0	1	1	1	0	0	0	0	0	0	0	0	+B+C+D
	3	0	0	1	1	1	0	0	0	0	0	0	0	+C+D+E
	4	0	0	0	1	1	1	0	0	0	0	0	0	+D+E+F
	5	1	0	0	0	1	1	0	0	0	0	0	0	+A+E+F
	6	1	1	0	0	0	1	0	0	0	0	0	0	+A+B+F

Таблица 2

Двенадцатитактный несимметричный однополярный режим

Режим	№ такта	У1	У2	У3	У4	У5	У6	У7	У8	У9	У10	У11	У12	Порядок переключения фаз
		А	В	С	Д	Е	Ф	-А	-В	-С	-Д	-Е	-Ф	
1	1	1	1	0	0	0	0	0	0	0	0	0	0	+A+B
	2	1	1	1	0	0	0	0	0	0	0	0	0	+A+B+C
	3	0	1	1	0	0	0	0	0	0	0	0	0	+B+C
	4	0	1	1	1	0	0	0	0	0	0	0	0	+B+C+D
	5	0	0	1	1	0	0	0	0	0	0	0	0	+C+D
	6	0	0	1	1	1	0	0	0	0	0	0	0	+C+D+E
	7	0	0	0	1	1	0	0	0	0	0	0	0	+D+E
	8	0	0	0	0	1	1	0	0	0	0	0	0	+D+E+F
	9	0	0	0	0	0	1	1	0	0	0	0	0	+E+F
	10	1	0	0	0	0	1	1	0	0	0	0	0	+A+E+F
	11	1	0	0	0	0	0	1	0	0	0	0	0	+A+F
	12	1	1	0	0	0	1	0	0	0	0	0	0	+A+B+F

Функциональная схема микроконтроллерного многорежимного управления шестифазным ШД представлена на рис.7. В ней в качестве микроконтроллера может быть использован, например, AT89C41CC03 семейства Intel-MCS51 с программным обеспечением для данного конкретного случая на языке Ассемблер.

Таблица 3
Шеститактные симметричные двуполярные режимы

Режим	Номер та- кта	У1	У2	У3	У4	У5	У6	У7	У8	У9	У10	У11	У12	Порядок переключения фаз
		A	B	C	D	E	F	-A	-B	-C	-D	-E	-F	
1	1	1	0	0	0	0	0	0	0	0	1	0	0	+A-D
	2	0	1	0	0	0	0	0	0	0	0	1	0	+B-E
	3	0	0	1	0	0	0	0	0	0	0	0	1	+C-F
	4	0	0	0	1	0	0	1	0	0	0	0	0	-A+D
	5	0	0	0	0	1	0	0	1	0	0	0	0	-B+E
	6	0	0	0	0	0	1	0	0	1	0	0	0	-C+F
2	1	1	1	0	0	0	0	0	0	0	1	0	0	+A+B-D
	2	0	1	1	0	0	0	0	0	0	0	1	0	+B-C+E
	3	0	0	1	1	0	0	0	0	0	0	0	1	+C+D-F
	4	0	0	0	1	1	0	1	0	0	0	0	0	-A+D+E
	5	0	0	0	0	1	1	0	1	0	0	0	0	-B+E+F
	6	1	0	0	0	0	1	0	0	1	0	0	0	+A-C+F

Таблица 4

Двенадцатитактные симметричные двуполярные режимы

Режим	Номер та- кта	У1	У2	У3	У4	У5	У6	У7	У8	У9	У10	У11	У12	Порядок переключения фаз
		A	B	C	D	E	F	-A	-B	-C	-D	-E	-F	
1	1	1	0	0	0	0	0	0	0	0	1	0	0	+A-D
	2	1	1	0	0	0	0	0	0	0	0	0	0	+A+B
	3	0	1	0	0	0	0	0	0	0	0	1	0	+B-E
	4	0	1	1	0	0	0	0	0	0	0	0	0	+B+C
	5	0	0	1	0	0	0	0	0	0	0	0	1	+C-F
	6	0	0	1	1	0	0	0	0	0	0	0	0	+C+D
	7	0	0	0	1	0	0	1	0	0	0	0	0	-A+D
	8	0	0	0	1	1	0	0	0	0	0	0	0	+D+E
	9	0	0	0	0	1	0	0	1	0	0	0	0	-B+E
	10	0	0	0	0	1	1	0	0	0	0	0	0	+E+F
	11	0	0	0	0	0	1	0	0	1	0	0	0	-C+F
	12	1	0	0	0	0	1	0	0	0	0	0	0	+A+F
2	1	1	1	0	0	0	1	0	0	0	1	0	0	+A+B-D+F
	2	1	1	0	0	0	0	0	0	0	1	1	0	+A+B-D-E
	3	1	1	0	0	0	0	0	0	1	0	1	0	+A+B+C-E
	4	0	1	1	0	0	0	0	0	0	0	1	1	+B+C-E-F
	5	0	1	1	1	0	0	0	0	0	0	0	1	+B+D+C-F
	6	0	0	1	1	0	0	1	0	0	0	0	1	-A+C+D-F
	7	0	0	0	1	1	1	1	0	0	0	0	0	-A+C+D+E
	8	0	0	0	1	1	0	1	1	0	0	0	0	-A-B+D+E
	9	0	0	0	0	1	1	0	1	0	0	0	0	-B+E+D+F
	10	0	0	0	0	1	1	1	0	1	1	0	0	-B-C+E+F
	11	1	0	0	0	0	1	1	0	0	1	0	0	+A-C+E+F
	12	1	0	0	0	0	0	1	0	0	1	1	0	+A-C-D+F

Аппаратурные ресурсы микроконтроллера распределены следующим образом:

P3.2 - вход запроса внешнего прерывания (INT0) - установка скорости переключения ШД; P3.3 - вход запроса внешнего прерывания (INT1) - установка режима работы ШД; P1.6 - разрешение включения источника +V1; P1.7 - разрешение включения источника - V2; P0.6 - разрешение ввода параметров ШД; P0.7 - выбор схемы включения ШД; P3.4 - однократный/циклический (0-цикл, 1 - однократный); P3.5 - пуск; P3.6 - реверс (0-прям., 1-обрат.); P2 -порт ввода параметров режима; P0.0...5, P1.0...5 - порты вывода кода управления ШД; R5 - счетчик текущего числа шагов ШД.

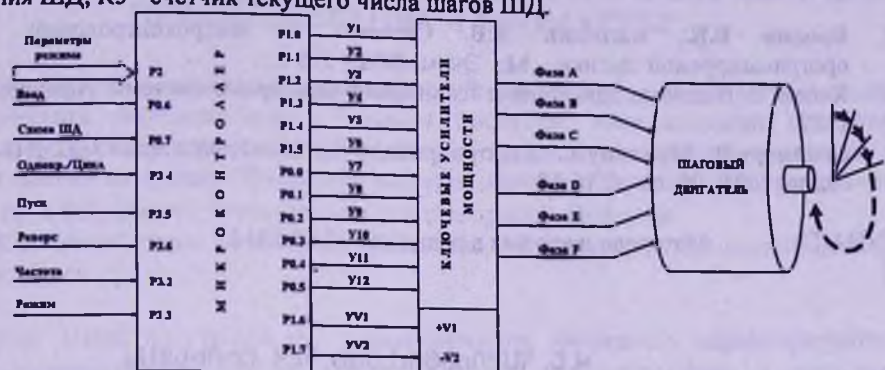


Рис.7. Функциональная схема микроконтроллерного многорежимного управления шестифазным ШД

Описание алгоритма программы. Алгоритм управляющей программы приведен на рис.8. Управляющие коды тактов и число тактов каждого режима ШД заносятся в программную память (ROM) микроконтроллера в виде таблицы. Каждый код имеет размер слова (2 байта).



Рис.8. Алгоритм программы управления ШД

Таким образом, разработанное микроконтроллерное устройство для много-режимного управления шестифазным шаговым двигателем обеспечивает все возможные оптимальные режимы коммутации фаз, а также позволяет формировать все общесистемные команды управления дискретным электроприводом в целом.

СПИСОК ЛИТЕРАТУРЫ

1. Бродин В.Б., Катинин А.В. Системы на микроконтроллерах и БИС программируемой логики. - М.: Эком, 2002.- 398 с.
2. Кенио Т. Шаговые двигатели и их микропроцессорные системы управления. - М., 1987.- 200 с.
3. Секриеру В., Мунтику Е. Электропривод с шаговым двигателем ДШ5Д1МУЗ.- М.: Радио, 2005.- № 12.- С.16-18.

ГУИА(П). Материал поступил в редакцию 10.05.2010.

Վ.Շ. ՀԱՐՈՒԹՅՈՒՆՅԱՆ, Պ.Հ. ՇԻՐԻՆՅԱՆ

ԿԵՑՓԱԹՈՒՅԹ ՔԱՅԼԱՅԻՆ ԾԱՐԺԻՉԻ ՄԻԿՐՈԿՈՍՏՐՈՒԵՐԱՅԻՆ
ԲԱԶՄԱՍՈՒԺԴԻՄԱՅԱՅԻՆ ՂԵԿԱՎԱՐՄԱՆ ՍԱՐՔ

Ներկայացված են վեցփաթույթ քայլային շարժիչի փաթույթների միացման սխեմաները, դրանց փոխանցատման և զեկավարման աղյուսակները զանազան սիմետրիկ և ոչ սիմետրիկ, միաքանչեղական և երկբևեռ, վեցտակտային և տասներկուտակտային փոխանցատման ռեժիմներում։ Առաջարկված է միկրոկոնտրոլերային զեկավարում՝ փաթույթների փոխանցատման այդ բոլոր ռեժիմների, ինչպես նաև ամբողջ համակարգի համար։

Առանցքային բառեր. քայլային շարժիչ, փաթույթ, միկրոկոնտրոլեր, հզորության ուժեղարար։

V.Sh. HARUTYUNYAN, P.H. SHIRINYAN

MULTIPLER MODE CONTROL OF SIX-PHASE STEPPER MOTOR BY MICROCONTROLLER

Connection diagrams the table of switching and guidance of six-phase phases stepper motor drive are presented at various modes of symmetrical and with unsymmetrical, unipolar and two-polar, six and twelve steps modes of phases switching. Microcontroller guidance of all these modes, and also guidance of all system of the discrete electric drive as a whole is proposed.

Keywords: stepmotor, phase, microcontroller, simulator, power amplifier.

Н.В. ГЕВОРКЯН

АВТОНОМНАЯ БИОГАЗОВАЯ УСТАНОВКА С ИМПУЛЬСНЫМ ПЕРЕМЕШИВАНИЕМ БИОМАССЫ

Приводится принцип построения биореактора с импульсным управлением для пневматического перемешивания раствора биомассы. Использование аналого-импульсного преобразователя позволяет задавать время перемешивания и останова в широком диапазоне времен. Интенсифицируется процесс сбраживания и практически устраняется в биореакторе температурная неоднородность биомассы.

Ключевые слова: биогазовая установка, биореактор, аналого-дискретный, преобразователь.

Как известно, процессы перемешивания биомассы характеризуются двумя основными факторами: эффективностью перемешивания и расходом энергии. По мере приведения жидкости в движение работа все больше затрачивается на преодоление внутренних сопротивлений в жидкости (трения, вихревые движения, удары жидкости о стекки и т. д.) [1].

Недостатки механических мешалок: малая интенсивность перемешивания густых и вязких жидкостей и значительный расход энергии. В отличие от механического способа пневматическое перемешивание не требует сложных приспособлений, что особенно важно для малогабаритных биогазовых установок [2].

В разработанной автономной биогазовой установке (рис.1) при помощи трубопровода 2 (обратного контура), в котором установлен насос 4, вырабатываемый в биореакторе биогаз 11 подается через вентиль 6 в барботер 8, далее биомасса 10 перемешивается по всему объему.

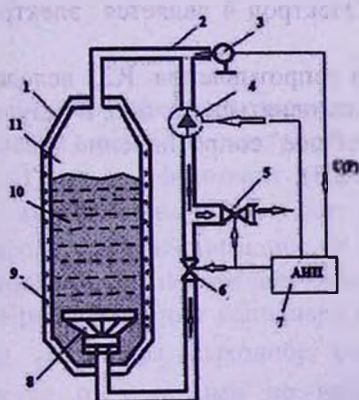


Рис.1. Биореактор с импульсным управлением для пневматического перемешивания раствора биомассы: 1-корпус биореактора, 2 – трубопровод обратного контура, 3- датчик давления, 4 - насос, 5 - вентиль для подачи биогаза в газгольдер, 6- вентиль обратной связи ферментатора, 7- аналого-импульсный преобразователь (АИП), 8 - барботер, 9 - нагреватель, 10 - раствор биомассы, 11 - биогаз

Для формирования и подачи последовательностей импульсов использован АИП (рис.2) на основе аналого-дискретного преобразователя (АДП) [3].

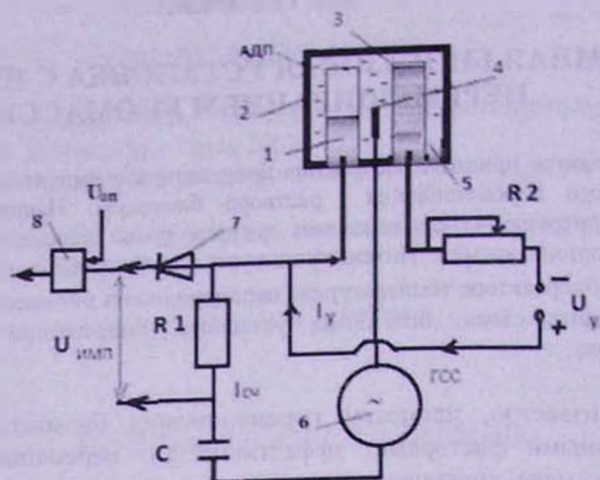


Рис. 2. Аналого-импульсный преобразователь: 1, 5 - капилляры с ртутными электродами управления, 2 - корпус АДП, 3 - раствор электролита, 4 - электрод считывания, R1 - сопротивление в цепи считывания, R2 - сопротивление для установки сигнала управления, 6 - генератор синусоидальных сигналов, 7 - диод, 8 - дифференциальное реле

АИП состоит из схемы управления и считывания. Схема управления состоит из ртутных электродов 1 и 5. Электрод 1 находится в капилляре и заполнен частично электролитом и ртутью, а электрод 5 представляет собой капилляр, полностью заполненный ртутью. Электрод 4 является электродом считывания.

Ток управления I_u задается при помощи сопротивления R_2 , вследствие массопереноса капилляр электрода 1 начинает заполняться ртутью, в результате длина столба электролита в капилляре и общее сопротивление в цепи считывания линейному закону уменьшаются (рис.3).

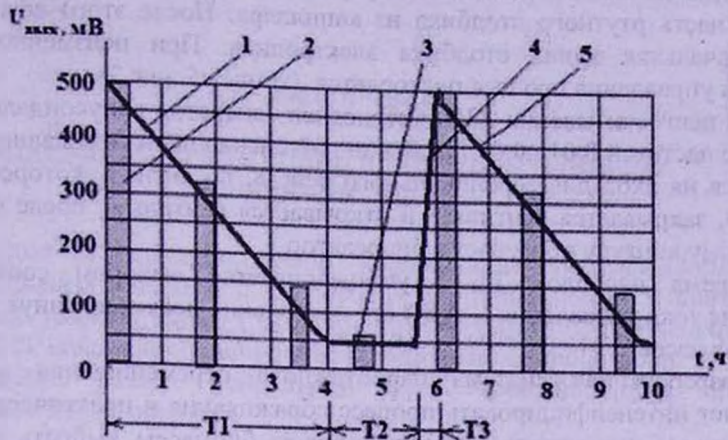


Рис. 3. Аналоговый сигнал АДП (1) и последовательность амплитуд импульсов (2-3) на выходе АИП: 1, 5 - аналоговые сигналы, 2 - амплитуда импульса, 3 - минимальная амплитуда импульса, 4 - кривая дискретизации сигнала, Т1 - время линейного изменения выходного сигнала, Т2- время постоянного значения выходного сигнала (процесс образования ртутного мениска), Т3- время дискретизации выходного сигнала

Выходной сигнал АДП в период времени Т1 изменяется в соответствии с выражением [4]

$$R(t) = \frac{1}{\chi_{\text{зл}} \cdot S_k^2} \cdot \left[K_{\text{зл}} \cdot \int_0^t I dt + 0.76 \cdot K_{\text{рас}} \cdot S_k \cdot \sqrt{S_k} \right], \quad (1)$$

$$K_{\text{зл}} = \frac{\eta \cdot A_{\text{Hg}}}{z \cdot F \cdot \gamma_{\text{Hg}}}, \quad (2)$$

где $K_{\text{рас}}$ - коэффициент растекания, зависящий от конфигурации перехода от капилляра с ртутным электродом к общему объему, заполненному электролитом ($K_{\text{рас}} \leq 1$); η - коэффициент выхода по току электрохимической реакции; A_{Hg} и γ_{Hg} - атомный вес и плотность ртути; z - валентность ионов, участвующих в электрохимической реакции; F - число Фарадея; $\chi_{\text{зл}}$ - электропроводность электролита; S_k - поперечное сечение капилляра; I - ток управления.

При заполнении капилляра ртутью и дальнейшем образовании мениска на торце капилляра выходное сопротивление $R(t)$ и, соответственно, $U_{\text{вых}}$ остаются постоянными по величине (период Т2) до тех пор, пока силы

натяжения мениска образованного ртутного шара не извлекут его, а вместе с ним и часть ртутного столбика из капилляра. После этого восстанавливается первоначальная длина столбика электролита. При неизменной полярности сигнала управления процесс повторяется (кривая 5, рис.3).

В цепи считывания АИП установлен генератор синусоидальных сигналов (ГСС) с частотой 0.01...0.03 Гц. Выходной сигнал цепи считывания через диод 7 подается на вход дифференциального реле 8, по сигналу которого включается насос 4, закрывается вентиль 5 и открывается вентиль 6, после чего биогаз по обратному контуру поступает в биореактор.

Время периодов Т1-Т3 устанавливается выбором соответствующего значения тока управления I_1 АДП (от нескольких десятков минут до нескольких десятков часов).

Разработанная система барботажного перемешивания в биореакторе позволяет интенсифицировать процесс сбраживания и практически устранить в биореакторе температурную неоднородность биомассы, выбрать длительность и частоту перемешивания в течение суток.

СПИСОК ЛИТЕРАТУРЫ

1. Веденеев А.Г., Маслов А.Н. Строительство биогазовых установок: Краткое руководство.-М.:Евро, 2006.-28 с.
2. Kazarian E., Gevorkyan N. System for hashig of the Biomass in Bioreactor of Biogas installation // Lraber-76 SEUA. V .I- Yerevan, 2009. - P.271-275.
3. Kazarian Ernest W., Ali Nader W., Khachatryan Rafael G. Measuring Information Complex of Data Gathering of Solar Collectors for the System of Automatic Design // Heinz Schulz Biogas-praxis. - Estec 2005 Freiburg. - P. 286-290.
4. Ղազարյան Է.Վ., Սարգսյան Ա.Հ. Այլընտրանքային էներգիայի աղբյուրներ: Ուսումնական ձեռնարկ. -Եր.:Ճարտարագետ, 2008.-105 էջ:

ГИУА (П). Материал поступил в редакцию 11.06.2010.

Ն.Վ. ԳԵՎՈՐԳՅԱՆ

ԿԵՆՍԱԳԱԶԻ ԻՄՊՈՒԼՍԱՅԻՆ ԽԱՌՏՈՒՄՈՎ ԱՎՏՈՆՈՄ ԿԵՆՍԱԳԱԶԻ ՍԱՐՔ

Դիտարկված է կենսագազի սարք՝ կենսառեակտորում կենսազանգվածի լիսառնման հաճակարգ պնևմատիկ եղանակով, որն իրագործվում է բարերարերի օգնությամբ, ինչի շնորհիկ աճում է կենսազանգվածի խմորման ինտենսիվացումը. և բարելավվում են կենսագազի սարքի տեխնոլոգիական ցուցանիշները:

Առանցքային բառեր. կենսագազի սարք, կենսառեակտոր, դիսկրետ-ստրամաբանական փոխակերպիչ:

N.V. GEVORGYAN

AUTONOMOUS BIOGAS PLANT WITH A PULSE MIXING BIOMASS

The principle of the bioreactor with impulse control for pneumatic stirring the solution of the biomass is given. Using the analog-to-pulse converter allows you to set the mixing time and stop in a wide range of time. The process of fermentation is intensified and the temperature homogeneity of the biomass is practically eliminated in the bioreactor.

Keywords: biogas installation, bioreactor, analog-discrete converter.

ՎՐՈՒՅՐ ՍԱՐԳԱՅԱՆԸ 75 ՏԱՐԵԿԱՆ Է



Լրացավ տեխնիկական գիտությունների դոկտոր, պրոֆեսոր Երևանի ճարտարապետության և շինարարության պետական համալսարանի «Դիդրոջինարարություն, ջրային համակարգեր և հիդրոլեկտրակայաններ» ամբիոնի վարիչ Վրույր Սարգսյանի ծննդյան 75-ամյական, մանկավարժական գործունեության 50 տարին: Վ. Սարգսյանը ծնվել է 1935թ. դեկտեմբերի 27-ին: 1954 թվին ավարտելով Երևանի թիվ 45 դպրոցը՝ ընդունվել է Հայկական գյուղատնտեսական ինստիտուտի հիդրոմելիորացիայի ֆակուլտետը, որն ավարտել է 1959 թ. և ստացել հիդրոտեխնիկ-ճարտարագետի որակավորում: 1959-62թթ. աշխատել է Հիդրոտեխնիկայի և մելիորացիայի հայկական գիտահետազոտական ինստիտուտում:

1962-65թթ. Վ. Սարգսյանը սովորել է Մոսկվայի ջրամատակարարման, կոյուղու, ինժ. հիդրոերկրա-

բանության և հիդրոտեխնիկայի համամիութենական գիտահետազոտական ինստիտուտի ասպիրանտուրայում, որն ավարտելուց հետո աշխատել է Մոսկվայի միութենական ջրային տնտեսության «Հիդրոնախագիծ» գիտահետազոտական նախագծային ինստիտուտում, որպես խմբի ղեկավար և գլխավոր մասնագետ: Այստեղ նա մասնակցել է մի շարք կարևոր օբյեկտների նախագծմանը, նորմատիվային փաստաթղթերի մշակմանը, կազմակերպել հետազոտական-փորձարարական արդյունքների մշակումը հաշվիչ մեթենաների օգնությամբ և այլն:

1969-82թթ. Վ. Սարգսյանն աշխատել է Մոսկվայի «ВНИИВОДГЕО» ինստիտուտի հատուկ հիդրոտեխնիկական կառուցվածքների լաբորատորիայում, որտեղ զբաղվել է ժող. տնտեսության համար շատ կարևոր՝ արդյունաբերության ռադիոակտիվ թունավոր թափոնների թաղման և վնասազերծման հիմնահարցի լուծմամբ: Վ. Սարգսյանը մշակել է Երկրի կեղևի խորը շերտերում այդ նպատակով պահեստարանների ստեղծման և դրանց հիդրոդինամիկական հաշվարկման մեթոդներ: Այդ և այլ ուսումնասիրությունների արդյունքների հիմք վրա նա գրել է իր դրվագական աստեղահոսությունը:

Վ. Սարգսյանի կողմից առաջարկվել են դիֆ. հավասարումների համակարգեր, որոնցով բնութագրվում են միմյանցից խտությամբ և մածուցիկությամբ տարրերվող հեղուկների ծակուլեն միջավայրում շարժման օրինաչափությունները: Այդ հավասարումների լուծման արդյունքները ակադեմիկոսներ Սեղովի, Տիխոնովի, Կոչինայի ներկայացմամբ տպագրվել են ԽՍՀՄ Գիտությունների ակադեմիայի «Զեկույցներում»:

Դաշվի առնելով ռադիոակտիվ թափոնների տրոհումից ջերմաստիճանի բարձրացման վտանգը՝ 1976-77թթ. Վ. Սարգսյանի մասնակցությամբ մշակվել է նաև դրանց ջերմային ռեժիմի կանխագուշակումը:

Գիտության և տեխնիկայի պետական կոմիտեի հանձնարարությամբ Վ. Սարգսյանը 1977-82թթ. մասնակցել է Եվրոպական և Սիբիրի ջրային ռեսուրսների վերբաշխման հետ կապված հարցերի լուծմանը:

1982թ. Երևանի Պոլիտեխնիկական ինստիտուտի հրավերով Վ.Սարգսյանը տեղափոխվել է Երևան և անցել գիտամանկավարժական աշխատանքի: Նրա ակտիվ մասնակցությամբ ինստիտուտում կազմակերպվեց «Գրունտների մեխանիկա, հիմքեր և հիմնատակեր» ամբիոնը, որի հետ 2006թ է.թորմաջանի առաջարկությամբ միավորվեցին «Դիդրոտեխնիկական շինարարություն» և «Ջրամատակարարում և ջրահեռացում» ամբիոնները: Ամբիոնում Վ.Սարգսյանի ղեկավարությամբ տարվում են բազմաբնույթ գիտական և ուսումնամեթոդական աշխատանքներ:

1985-87թ. Հայաստանի ջրային տնտեսության նախարարության առաջարկությամբ Մասիսի շրջանում կատարվել են Երևանի մակերևույթի նստվածքների որոշման փորձարարական և տեսական ուսումնասիրություններ՝ պայմանավորված ստորգետնյա ջրերի հորիզոնի իջեցման հետեւ:

1989թ. Նախարարների խորհրդի որոշմամբ Վ.Սարգսյանի ղեկավարությամբ մերողական մեծ օգնություն է ցույց տրվել մասնագետներին՝ տեղանքի հետազոտական աշխատանքների բարձր մակարդակով կատարելու և ջրածածկումից հիմքերը պաշտպանելու համար: 1990թ. Պետշինի «Ինժնախագիծ» ինստիտուտի առաջարկությամբ Լենինական (Գյումրի) քաղաքի տարածքում ստորգետնյա ջրերի հորիզոնի իջեցման ուղղությամբ կատարվել են հետազոտություններ, որոնք հանարավորություն են տալիս մեծացնել կարուցվածքների սեյսմակայունությունը: Աղետի գոտում ակտիվ և պարբերաբար աշխատանք կատարելու համար Վ.Սարգսյանը 1989թ. արժանացել է ԽՄՀՍ Պետշինի պատվոգրի:

Պրոֆ. Վ.Սարգսյանը գիտության հմուտ կազմակերպիչ է: Նրա ղեկավարությամբ բազմաթիվ ասպիրանտներ և հայցորդներ պատրաստել են իրենց թեկնածուական, իսկ երկու գիտության թեկնածու՝ դոկտորական ատենախոսությունները: Վ.Սարգսյանի հոդվածները պարբերաբար տպագրվում են ԳԱ «Զեկույցներում» և «Տեղեկագրերում»:

Պրոֆ. Վ.Սարգսյանը ճանաչված մասնագետ է ջրային ռեսուրսների, երկրամեխանիկայի և երկրահիդրոմեխանիկայի ասպարեզներում, նրա գոչին են պատկանում 250-ից ավելի գիտական աշխատանքներ, հոդվածներ ու մենագրություններ, տպագրված Սոսկվայի և Հանրապետության հրատարակչություններում: Դրանց մի մասը բարգնանված է արտերկրում:

1971թ. Վ.Սարգսյանը մենագրությունը արժանացել է Ժողովրդական տնտեսության նվաճումների համամիութենական ցուցահանդեսի արժաք մեդալի:

Պրոֆ. Վ.Սարգսյանը գեկուցումներով հանդիսավոր աշխատանքներում և գիտաժողովներում շրային ռեսուրսների, տեսական և կիրառական երկրահիդրոմեխանիկայի զանազան հարցերի վերաբերյալ:

Տեխնիկական գիտ. դոկտոր, պրոֆեսոր Վ.Սարգսյանը խոշոր ներդրում ունի տեսական և կիրառական երկրահիդրոմեխանիկայի և երկրամեխանիկայի ասպարեզներում: Նա գիտության այդ ասպարեզը հարստացրել է առաջնակարգ գիտական նշանակություն ունեցող արդյունքներով պատրաստել է բազմաթիվ գիտական կաղդեր: Վ.Սարգսյանը երեք միջազգային կազմակերպությունների և 77 տեսական և կիրառական մեխանիկայի ազգային կոմիտեի, մի շարք նախարարությունների և ինստիտուտների խորհրդների, ինչպես նաև 030 և 055 գիտական մասնագիտացված խորհրդների, ԳԱԱ-ի «Տեղեկագրի» (տեխնիկական գիտություններ) խմբագրական կոլեգիայի անդամն է:

Տեղեկագրի խմբագրական կոլեգիան շնորհավորում է գործընկերոջ 75-ամյակը և ցանկանում հետագա բեղմնագոր աշխատանք.

ԲՈՎԱՆԴԱԿՈՒԹՅՈՒՆ

ՄԵՐԱՅԻՆ Ա.Գ., ԿԱՐՄՊԵՏՅԱՆ Գ.Խ., ՊԵՏՐՈՍՅԱՆ Ա.Ա., ՄԵՐԱՅԻՆ Ա.Ա.	359
Միւսավառն յակածֆուկալ Փուելազութերի խաչում ՄԵՐԳՅԱՆ Լ.Ե., ՍԿՎԱՆՄՈՂՅԱՆ Վ.Ս., ՋՈՎՃԱՆԻՍՅԱՆ Ա.Ա.,	
ԸՆԴՀԱԶՄՈՒՅՆ Վ.Ս.	
ՊՊՆՉԻ ԵԿ ԵՐԿԱԹԻ ՔԱՍԱՏԵՐ ԿՈՐՉՈՒՄ Mo/Fe/Cu/S ԽՏԱՆԵՅԻԹԻՑ ՋԻԴՐՈԳԼՈՐԱՅԻՆ ՏԱՐՐԱԼՈՒԾԱՆ ԵՂԱՆԱԿՈՎ ԳԵՂՂԱԿՅԱՆ Զ.Ա., ՊԵՏՐՈՍՅԱՆ Բ.Կ., ԳԵՂՂԱԿՅԱՆ Կ.Տ., ԻՄՐԱՅԵԼՅԱՆ Ո.Կ ՍԱԳՆԵԶԻՌՈՒՄ ՋԻԴՐՈՍԻԼԻԿԱՆԱՅԻՆ ԱՊԱՐՆԵՐԻ ՋԻՍՍ ՎՐԱ ԶՐԱԿՎՅՈՒՆ ԿԱՊԱԿՑԱՆՅՈՒԹԻ ՍՏԱՑՈՒՄ ՄՄՐՈՒԽՅԱՆ Ո.Զ., ԸԱՍԱՅՅԱՆ Ե.Ո.	366 372
ԶԵԿ-ԵՐՐՈՒՄ ԼԱԿՎՐԿԱՅԻՆ ՎԱԿՈՒՈՒՄԻ ՈՐՈՇՄԱՆ ՄԵԹՈԴԻ ՄԵԱԿՈՒՄ ՀԱՅՎԱ ԱՈՆԵԼՈՎ ԿՈՆԴԵՆՍԱՏՈՐԻ ԼԵՐԳԻՆ ՄԱԿԵՐԵՎՈՒՅԹԱՆԵՐԻՆ ՆԱՏՎԱԾՔԱԳՈՅՑԱՅՄԱՆ ԴԻՆԱՄԻԿԱՆ	379
ԵՂԻԱԶՄՈՒՅՆ Լ.Կ., ՍԱՖԱՐՅԱՆ Վ.Ս., ԿԱՐՄԻՆԱՅԻՆ Լ.Դ.,	
ՀԱՐՈՒԹՅՈՒՆՅԱՆ Ա.Ս.	
ՋՈՐԴՅՈՒՆԱԿԱՆ ՀԱՐԹՈՒԹՅԱՆ ՄԵԶ ԴԱՍԱԿՈՐՎԱԾ ՀԱՐՈՒՐԴԱՄԵՐՈՎ ԵՌԱՖԱԿ ԳԾԻ ԷԼԵԿՏՐԱԿԱՆ ԴԱԵՏԻ ՔԵՏԱԶՈՆՈՒՄ ԲՈՒԻՆԱՅՅԱՆ Դ.Ա., ԷԼԲԱԿՅԱՆ Ս.Ֆ.	386
ԶԵՐԱՎԱՅԻՆ ԷՆԵՐԳԻՅԱՆԱԿԱՐԳՈՒՄ ԱԾԽԱՏՈՂ ԶԵԿ-Ի ՆԵՐԿԱՅԱՆԱՅԻՆ ՈԵԺԻՄՆԵՐԻ ՕՊՏԻՄԱՑԱՑՈՒՄ ԳԵՎՈՐԳՅԱՆ Ս.Ա., ՄԱՅԻԼՅԱՆ Ա.Լ.	394
ԿՈՄՊԱԿՏ ՖԼԵՅԻՌԵՖԵՐԵՆԱՅԻՆ ԼԱՄՊԵՐԻ ԼՈՒՍԱՎՈՒԹՅԱՆ ՄԵԾԱՑՄԱՆ ՈՐՈՇՆԵՐԸ ՄԱՄԻԿՈՎՅԱՆ Բ.Մ., ԿԱՐՄՊԵՏՅԱՆ Ա.Ա., ՄՈՒՐՈՅԱՆ Վ.Գ.	403
ՄԵՅԱՄԻԿ ԱՐԱԳԱՑՈՒՄՆԵՐԻ ՊԻԵԶՈԵԼԵԿՏՐԱԿԱՆ ՏՎԻՉ ՄԱՐՏԻՐՈՍՅԱՆ Ո.Ա., ԴՄԴՅԱՆ Ա.Գ., ԱԲՐԱՅԱՆՅԱՆ Ա.Ա., ՄԻԽՈՅՅԱՆ Ո.Դ., ՓՈՐՈՒԽՅԱՆ Դ.Ա., ՄԵՎՈՅՅԱՆ Օ.Ժ., ԱՍԼՈՅՅԱՆ Ա.Ա.	410
ԴԱԿԱՄԱՆ ԱԿՏՈՍԱՏԱՑՎԱԾ ԴԱՍԱԼԻՐ «ԱՐՑԱԽ-Մ1» ԱԾԳԻՒՅՈՒՆ Է.Դ.	419
ՄԱԾՈՒՅԻԿ ՋԵՂՈՒԿԻ ՈՉ ՍԱՏԳԻՈՆԱՐ ԼԱՄԻՆԱՐ ԾԱՐԺՈՒՄԸ ԾՐՁԱՍՏԵՎ ԿՏՐԿԱԾՔԻ ԳԼԱՍԱԿԱՆ ԽՈՂՈՎԿԱԿՈՒՄ ԴԱՐՈՒԹՅՈՒՆՅԱՆ Վ.Ը., ԾԻՐԻՆՅԱՆ Պ.Դ.	429
ՎԵՑՓԱԹՈՒՅԹ ՔԱՅԼԱՅԻՆ ԾԱՐԺԻՉԻ ՄԻԿՐՈԿՈՆՏՐՈՒԼԵՐԱՅԻՆ ԲԱԶԱՄԱՆԵԺԻՄՆԵՐԻ ԴԵԿԱԿԱՐՍԱՆ ՍԱՐՔ ԳԵՎՈՐԳՅԱՆ Վ.Կ.	435
ԿԵՆՍԱԳԱԶԻ ԻՄՊՈՒԼՍԱՅԻՆ ԽԱՌՆՈՒՄՈՎ ԱԿՏՈՆՈՒՄ ԿԵՆՍԱԳԱԶԻ ՍԱՐՔ ... ՄԵՐԳՅԱՆ Վ.Ս.	441
ԾԱՆԴՅԱՆ 75-ԱՄՅԱԿԻ ԿԱՊԱԿՑՈՒԹՅԱՄԲ ԾԱՆԴՅԱՆ 75-ԱՄՅԱԿԻ ԿԱՊԱԿՑՈՒԹՅԱՄԲ	446

СОДЕРЖАНИЕ

АГБАЛЯН С.Г., КАРАПЕТЯН Г.Х., ПЕТРОСЯН А.А., АГБАЛЯН А.С.	
КОМПАКТИРОВАНИЕ ИЗНОСОСТОЙКИХ АНТИФРИКЦИОННЫХ ПОРОШКОВЫХ МАТЕРИАЛОВ	359
САРГСЯН Л.Е., НАВАСАРДЯН В.С., ОГАНЕСЯН А.М., ШАХНАЗАРЯН В.А.	
СОВМЕСТНОЕ ИЗВЛЕЧЕНИЕ МЕДИ И ЖЕЛЕЗА ИЗ Mo/Fe/Cu/S КОНЦЕНТРАТА МЕТОДОМ ГИДРОХЛОРНОГО ВЫЩЕЛАЧИВАНИЯ	366
ГЕОДАКЯН Д.А., ПЕТРОСЯН Б.В., ГЕОДАКЯН К.Т., ИСРАЕЛИЯН Р.В.	
ПОЛУЧЕНИЕ ВОДОСТОЙКОГО ВЯЖУЩЕГО НА ОСНОВЕ ГИДРОСИЛИКАТНЫХ ПОРОД МАГНИЯ	372
МАРУХЯН В.З., ШАМАМЯН Е.Р.	
РАЗРАБОТКА МЕТОДА ОПРЕДЕЛЕНИЯ ОПТИМАЛЬНОГО ВАКУУМА НА ТЭС С УЧЕТОМ ДИНАМИКИ НАКИПЕОБРАЗОВАНИЯ НА ВНУТРЕННИХ ПОВЕРХНОСТЯХ КОНДЕНСАТОРА	379
ЕГИАЗАРЯН Л.В., САФАРЯН В.С., КАРАХАНИЯН Л.О., АРУТЮНЯН А.С.	
ИССЛЕДОВАНИЕ ЭЛЕКТРИЧЕСКОГО ПОЛЯ ТРЕХФАЗНОЙ ЛИНИИ С ПАСПОЛОЖЕННЫМИ В ГОРИЗОНТАЛЬНОЙ ПЛОСКОСТИ ПРОВОДАМИ	386
БУРНАЧЯН Г.А., ЭЛБАКЯН М.Ф.	
ОПТИМИЗАЦИЯ ВНУТРИСТАНЦИОННЫХ РЕЖИМОВ ТЭЦ, РАБОТАЮЩЕЙ В ТЕПЛОВОЙ ЭНЕРГОСИСТЕМЕ	394
ГЕВОРКЯН С.А., МАИЛЯН А.Л.	
ПУТИ УВЕЛИЧЕНИЯ СВЕТООТДАЧИ КОМПАКТНЫХ ФЛУОРЕСЦЕНТНЫХ ЛАМП	403
МАМИКОНЯН Б.М., КАРАПЕТЯН С.С., МУРАДЯН В.Г.	
ПЬЕЗОЭЛЕКТРИЧЕСКИЙ ДАТЧИК СЕЙСМИЧЕСКИХ УСКОРЕНИЙ	410
МАРТИРОСЯН Р. М., ГУЛЯН А. Г., АБРАМЯН А. А., СИМОНЯН Р. Г., ПИРУМЯН Г. А., СЕВОЯН О. Ж., САНОЯН А. А.	
АВТОМАТИЗИРОВАННЫЙ ОХРАННЫЙ КОМПЛЕКС АРЦАХ-М1	419
АШИЯНЦ Э.П.	
НЕСТАЦИОНАРНОЕ ЛАМИНАРНОЕ ТЕЧЕНИЕ ВЯЗКОЙ ЖИДКОСТИ В КРУГЛОЙ ЦИЛИНДРИЧЕСКОЙ ТРУБЕ	429
АРУТЮНЯН В.Ш., ШИРИНЯН П.А.	
МИКРОКОНТРОЛЛЕРНОЕ МНОГОРЕЖИМНОЕ УСТРОЙСТВО УПРАВЛЕНИЯ ШЕСТИФАЗНЫМ ШАГОВЫМ ДВИГАТЕЛЕМ	435
ГЕВОРКЯН Н.В.	
АВТОНОМНАЯ БИОГАЗОВАЯ УСТАНОВКА С ИМПУЛЬСНЫМ ПЕРЕМЕШИВАНИЕМ БИОМАССЫ	441
САРКИСЯН В.С.	
К 75-ЛЕТИЮ СО ДНЯ РОЖДЕНИЯ	446

CONTENTS

AGHBALYAN S.G., KARAPETYAN G.X., PETROSYAN A.A..	
AGHBALYAN A.S.	
COMPACTION WEARPROOF ANTIFRACTIONAL POWDER MATERIALS	359
SARGSYAN L.YE., NAVASARDYAN V.S., HOVHANNISYAN A.M., SHAHNAZARYAN V.Z.	
THE JOINT RECOVERY OF COPPER AND IRON FROM Mo Fe Cu S CONCENTRATE BY THE METHOD OF HYDROCHLORIDE LEACHING	366
GEODAKYAN J.A., PETROSYAN B.V., GEODAKYAN K.T., ISRAELYAN R.V.	
WATER-RESISTANT CLUSTER OBTAINING BASED ON HYDROSILICATE ROCKS OF MAGNESITE	372
MARUKHYAN V.Z., SHAMAMYAN Y.E.R.	
A METHOD FOR DEFINING THE OPTIMAL VACUUM DEVELOPMENT IN TPP DUE TO SCALE FORMATION DYNAMICS ON INNER SURFACES OF CONDENSER	379
YEGHIAZARYAN L.V., SAFARYAN V.S., KARAKHANYAN L.H., HARUTYUNYAN A.S.	
RESEARCH OF ELECTRIC FIELD OF A THREE-PHASE LINE WITH THE WIRES LOCATED IN A HORIZONTAL PLANE	386
BURNACHYAN H.A., ELBAKYAN M.F.	
OPTIMIZATION OF INTERNAL MODES OF TPP OPERATING IN THERMAL POWER SYSTEM	394
GEVORGYAN S.A., MAYILYAN A.L.	
WAYS OF INCREASING THE FLUORESCENT LAMP LUMINOUS EMITTANCE	403
MAMIKONYAN B.M., KARAPETYAN S.S., MURADYAN V.G.	
THE PIEZOELECTRIC SENSOR FOR SEISMIC ACCELERATIONS	410
MARTIROSYAN R.M., GHULYAN A.G., ABRAHAMYAN A.A., SIMONYAN R.H., PIRUMYAN H.A., SEVOYAN O.ZH., SANOVAN A.A.	
AUTOMATED GUARD COMPLEX "ARTSAKH-MI"	419
ASHCHYANTS E.P.	
NON-STATIONARY LAMINAR FLOW OF VISCOSITY LIQUID IN ROUND CYLINDRICAL PIPELINE	429
HARUTYUNYAN V.Sh., SHIRINYAN P.H.	
MULTIPLEMODE CONTROL OF SIX-PHASE STEPPER MOTOR BY MICROCONTROLLER	435
GEVORGYAN N.V.	
AUTONOMOUS BIOGAS PLANT WITH A PULSE MIXING BIOMASS	441
VRUYR SARGSYAN	
ON THE 75-TH ANNIVERSARY OF BIRTH	446